

Damjan DONEV

“VIDIN GRAD”, STRATIGRAPHIC EXCAVATIONS 19/20: ANOTHER CONTRIBUTION TO THE SETTLEMENT TOPOGRAPHY

Клучни зборови: урбана топографија, систематски рекогносцирања и ископувања, Повардарие, Антика

Key words: urban topography, ceramic surveys and excavations, the Vardar, Classical antiquity

Апстракт: Систематските рекогносцирања на површинските керамички наоди на локалитетот Видин Град од 2013 година загатнаа неколку значајни прашања во однос на топографскиот развој на оваа античка населба. Единствениот начин да се одговори на овие прашања беше да се направи увид во стратиграфијата на одделните населбински тераси. Целта на оваа студија е да ги претстави резултатите од стратиграфските ископувања на овој локалитет, превземени во 2019 и 2020 година. Од општа методолошка гледна точка, овие ископувања откриваат во колкава мера наодите од површинскиот слој ја отсликуваат стратиграфијата на одреден дел од населбата. Посредно, тие се податливи и за веројатноста наоди од најстарите населбински етапи да бидат застапени помеѓу површинскиот материјал. Овие истражувања дадоа и значаен придонес кон осознавањето на топографскиот развој на античката населба на локалитетот Видин Град. Новите сознанија за населбинската динамика на овој локалитет накусо се проследени во контекст на регионалните тенденции во урбаниот развој и административните поделби во текот на римската епоха.

Abstract: The systematic ceramic survey at the site of Vidin Grad carried out in 2013 opened a number of interesting questions about the history of this ancient settlement. Some of these issues could only be responded to by understanding the stratigraphy of individual settlement terraces. This paper reports on the results of the stratigraphic excavations at Vidin Grad, undertaken in 2019 and 2020. From a methodological point of view, these excavations have shed light on the extent to which the ceramic finds in the top-soil horizon are representative of the underlying stratigraphy. This also has bearing on the chances of finding evidence of early occupation horizons on the surface of multiperiod sites. From a substantive point of view, the data gathered in the course of these excavations are an important contribution to our understanding of the evolution of the topography of this settlement. This is briefly discussed against the background of the known regional developments in the urban geography and administrative divisions during the Roman period.

Вовед

Во 2013 година на локалитетот Видин Град кај село Водоврати беа изведени детални рекогносцирања на просторот на населбата и непосредната околина. Притоа беа собрани над 10 000 фрагменти керамика по правилни мрежни единици од речиси сите парцели врз кои се протега локалитетот. Меѓу другото, обработката на овој материјал загатна некои интересни прашања за историјата и развојот на оваа населба.¹ Дистрибуцијата на

Introduction

In 2013, the site of Vidin Grad and its immediate surroundings were surveyed systematically and in great details. Approximately 10 000 ceramic fragments were collected by regular grid units that covered nearly all land parcels within the area of this site. The processing and preliminary studies of this material raised many interesting problems surrounding the ancient settlement at Vidin Grad, including a few that are directly relevant to its history and topography.¹ The distribution of certain fabric groups or broader ceramic categories, which can be dated to broad but discrete chronological periods (e.g., Hellenistic, but

¹ За местоположбата на локалитетот и детален извештај од ова истражување, види Донев 2019.

¹ For the location of this site and a detailed report of the on-site survey, see Donev 2019.

одредени типови керамика и фактурни групи, кои може да се сместат во потесни хронолошки рамки, укажуваше дека населбата достигнала најголем обем во раните фази од своето постоење, додека во подоцните фази нејзината површина се намалила, за повторно да го достигне стариот обем во последната фаза од своето живеење. Одредени периоди, како доцнохеленистичкиот или раноцарскиот, се мошне слабо застапени во корпусот собрани наоди, што пак посочува кон можноста оваа населба да немала континуиран развој од раната до доцната Антика, како што првично се претпоставуваше.

Ова се несомнено драгоцените податоци за историјата и топографскиот развој на оваа населба, но нивното толкување е далеку од едноставно. Сепак се работи за површински материјал за кој може само да се претпоставува колку реално ја одразува стратиграфијата на оваа населба. Впрочем, еден од најповторуваните приговори во однос на вредноста на површинскиот материјал како граѓа е дека тој ретко ги содржи остатоците од најстарите населбински хоризонти. Колку може да сме сигурни во датирањето на почетоците на оваа населба врз основа на оваа граѓа? И дали отсуството на наоди од постарите фази помеѓу површинските наоди е сигурен показател за отсуство на населбински хоризонти на дадените локации или пак наодите од овие епохи останале запечатени под подоцните градежни хоризонти? Како посебен проблем се наметна малубројноста на наодите кои може да се датираат барем со приближна точност, односно во дискретни хронолошки периоди. Најголемиот дел од наодите може да се припишат на локалната керамичка продукција, која доста бавно еволуирала низ вековите и може да се датираат само во многу груби временски рамки, на пример од крајот на Железното време до крајот на Хеленизмот. Карактерот на локалните глини и технологијата на производство – главните одредници на одликите на керамичките фактури – не се менувале во чекор со археолошките и историските периодизации. Оттука не може со сигурност да се утврди дали слабата застапеност на одредени епохи во површинскиот материјал е резултат на прекини во постоењето на населбата или го одразува отежнатиот пристап до одредени категории керамика што ние лесно ги препознаваме како карактеристични за одредени периоди.²

Веќе при обработката на собраните наоди и анализите на нивната распространетост стана јасно дека би било мошне корисно да се направи увид во стратиграфијата во различни делови од

not Hellenistic to Roman) suggested that the settlement had reached its maximum extent in its early phases and declined afterwards, before experiencing another expansion towards the end of its existence. Some periods, like the Late Hellenistic or the Early Imperial (Augustan to Severan) are poorly represented in the surface record, which made us question the initial assumption that this settlement was continuously occupied from the end of the Iron Age until the end of Antiquity.²

These are doubtless precious data about the history and topographic development of this settlement, but their interpretation is not as straightforward as it seems.³ It is all too easy to forget that these observations are made on surface collections that do not necessarily reflect the local stratigraphy accurately. After all, the most common objection against the validity of systematic surveys raised by scholars that work in this region is that material from lower strata is rarely, if ever, represented in the top-soil. How certain is the dating of the earliest phase of this site, based on the surface collections? Can the absence of early material on the surface be taken as unequivocal evidence of decline or abandonment or is this perhaps the result of local taphonomic factors? Another cause for concern is the low number of finds that can be assigned to discrete time periods. The great majority of the ceramic finds collected from Vidin Grad were produced locally. Because the local ceramic production evolved at a very slow pace, the great majority of finds can only be dated to very broad chronological periods, e.g., Iron Age to Hellenistic or Roman to Late Roman. The properties of local clay do not change, and changes in the firing technology or the recipe for the paste – the principle determinants of the physical appearance of ceramics – do not coincide with conventional archaeological and historical periodization. Because of these circumstances, it is impossible to decide if the absence of categories readily associated with certain time-periods marks episodes of abandonment or diminished supply of these products.⁴

By the time the study of the surface collections was nearing its end, it became clear that the only way

² The end of the Iron Age in the Vardar Valley is dated to the late 6th century BC and coincides with the Late Archaic period in the Aegean. The period between the end of the Iron Age and the Hellenistic period is referred to as Early Antiquity or the proto-historic period; Mitrevski 2003.

³ The difficulties of interpreting survey results have been debated ever since the introduction of this method of fieldwork in the Mediterranean, see Keller, Rupp 1983; for a synthesis of the problems surrounding the interpretation of surveys of complex, multiperiod sites, see Bintliff 2012.

⁴ Millett 1991.

² Millett 1991.

населбата. Се надеваме дека со ваквиот пристап, не само што ќе успееме да дојдеме до пореална проценка за репрезентативноста на собраниот површински материјал, туку и дека ќе ја разјасниме релативната хронологија на одредени фактурни групи за кои не можевме да најдеме јасни паралели. Во таа насока, во текот на 2019 и 2020 година беа отворени вкупно 16 сонди со димензии од 2 на 2 или 2 на 4 метри, на различни делови од населбата.³ Целта на овој труд е да ги претстави резултатите од овие ископувања пред стручната јавност и да направи кус осврт врз некои од прашањата што произлегоа од интензивното рекогносцирање на теренот во 2013 година.

Во првиот дел од трудот ќе биде направен приказ на разместеноста на сондите, методологијата на работа и карактерот на локалните седименти. Во следното поглавје ќе бидат прикажани резултатите од ископувањата по сонди, со посебен акцент на распределбата на керамичките наоди по слоеви. За да не се преоптоварува текстот со сувопарни податоци, висинските вредности на одделни слоеви и појави или нивните димензии, ќе бидат наведени само онаму каде што е неопходно за појасно да се долови откриената ситуација. Вниманието ќе биде главно насочено кон распределбата на групи наоди по сонди и слоеви. Каталог на поединечни наоди ќе биде објавен во друга пригода. Во последното поглавје, како заклучок, ќе направиме синтеза на сознанијата добиени од сондажните ископувања и ќе се обидеме да ги поврземе со резултатите од рекогносцирањата од 2013 година. Ќе видиме дека со поставувањето на овие две граѓи не е така едноставно, од повеќе причини. Па сепак, комбинираниите резултати од овие истражувања даваат солидна основа за носење посигурни и покатегорични заклучоци за историјата и топографскиот развој на античката населба кај локалитетот Видин Град.

³ Овие ископувања беа изведени во склоп на проектите “Микротопографија на ВидинГрад – стратиграфски ископувања 19” и “Микротопографија на Видин Град – стратиграфски ископувања 20”, поддржани од Министерството за Култура во склоп на националната програма. Проектот е наз.г. Институт за Археолошки Истражувања – Скопје, а со нив раководеше авторот на овој текст. Во ископувањата зедоа учество: м-р Перо Синадиновски, Антонио Китанов, Јовица Ристов, дипломирани археолози, Панче Даљев и Кирил Иванов, фотограф. На ова место најсрдечно му благодарам на Министерството за финансиската под ршка, како и на учесниците во истражувањето за нивната несебична помош и заложба.

to check the validity of the results of the systematic survey is to look into the stratigraphy at different parts of the settlement. The gains of this approach were supposed to be twofold. It was going to contribute to the validation and interpretation of the surface record and its representativeness of the subsurface layers in particular, and it was going to help in clarifying the relative chronology of the fabric groups for which parallels were lacking. To this end, in 2019 and 2020, 16 trenches of 2 by 2 or 2 by 4 meters were opened in different parts of the settlement.⁵ The aim of this study is to present the results of these excavations and revisit some of the questions that arose from the intensive ceramic survey of Vidin Grad.

The first part of this paper describes the distribution of the trenches, the excavation method and the general characteristics of the local sediments. The main section deals with the results of the excavations by trenches, with a special emphasis on the stratigraphy and the distribution of ceramic groups and fabrics by layers. I shall refrain from frequent references to elevation values and coordinates. These shall be referred to only insofar as they illuminate the relationships between layers and their associated features. A catalogue of finds shall be published separately. This paper is mostly concerned with the distribution of various groups of finds and ceramic assemblages by layers and across the excavated area. The concluding section includes a synthesis of the results of these two campaigns of excavations and their implications for the interpretations of the settlement topography, based on the intensive survey in 2013. We shall see that, for various reasons, it is not east to combine the survey and excavation results. Nevertheless, taken together, these data permit us to advance more confident conclusions about the history and topographic evolution of this settlement. In conclusion, I shall also call attention to the trends in the settlement geography of the wider region of the continental Balkans during Antiquity and compare them to those observed at Vidin Grad.

⁵ These excavations were carried out within the frames of the projects, “ The Microtopography of Vidin Grad - test-pit excavations 19” and “The Microtopography of Vidin Grad - test-pit excavations 20”. Both projects were supported by the Ministry of Culture as part of the annual national program. These were projects of the civic organization, Institute for Archaeological Research-Skopje and were directed by the author of this report. The following people took part in the excavations: MA Pero Sinadinovski, BA Antonio Kitanov, BA Jovica Ristov, Panche Daljev and the photographer Kiril Ivanov. I would like to express here my gratitude to the Ministry of Culture for the financial support and to the participants in these excavations, for their unwavering help and endeavors.

Разместеност на сондите, метод на работа и основни одлики на седиментите

Бидејќи една од главните цели на истражувањата од 2019 и 2020 година беше да се проверат резултатите од интензивното рекогносцирање на теренот, најлогично ќе беше сондите да се постават во рамките на квадратната мрежа поставена во 2013 година. Тоа ќе ни овозможеше непосредна споредба на материјалот собран од површинскиот слој со оној добиен од потповршинските слоеви. Меѓутоа, речиси целата површина која беше вклучена во рекогносцирањата по мрежни единици тековно се обработува. Ваквите услови на површината се повољни за интензивни рекогносцирања, но не и за сондажни ископувања. За да избегнеме ископување на испретурени археолошки слоеви, беше одлучено сондите да се постават на терен што не се обработувал во поблиското минато, а кој е сепак во непосредна близина на мрежните единици поставени во 2013 година.⁴ Се покажа дека ниту овој пристап не е секогаш применлив, било поради тоа што необработуваните делови од теренот се во голем дел под густа вегетација и се тешко пристапни, било поради тоа што состојбата на теренот се сменила откако било поднесено барањето за дозвола. Сепак успеавме да ги поставиме повеќето сонди во непосредна близина на рекогносцираните површини и, што е можеби поважно, да обезбедиме покриеност врз различни делови од локалитетот.

Сондите I и II, истражени во 2019 година, беа поставени врз јужната, односно централна тераса од локалитетот. (Мапа 1) Сонда I беше поставена во североисточниот агол на К.П. 96, непосредно до квадратните мрежи 1 и 1, од каде што беше собран поголемо количество предримски материјал. Сонда II беше отворена на К.П. 91, крај источниот раб од централната тераса – претпоставениот плоштад. Тука, помеѓу површинскиот материјал доминираат наоди од римската и доцноримската епоха. Сондите III и IV, XV и XVI беа поставени во делот од источното подградие на населбата. На овој простор во текот на рекогносцирањата беше регистрирана просечна концентрација на наоди, па остана нејасно дали и овој дел од теренот бил дел од населбата или пак овој материјал потекнува од отпадни јами или можеби, растурени гробови. Сондите III и IV беа поставени на К.П. 133, покрај хипотетичкиот пат

⁴ Како што ќе видиме подолу, ова е една од причините што ја усложнува споредбата помеѓу наодите собрани во текот на сондажните ископувања со оние собрани од површината.

The distribution of trenches, the method of excavation and the basic properties of local sediments

Because one of the immediate goals of the test-pit excavations of 2019 and 2020 was to validate or, rather, complement the results of the intensive ceramic survey, the most logical way to proceed would have been to excavate within the frames of the survey grids. Thus, a direct comparison between the finds contained in the surface and subsurface layers would have been possible. However, because the entire area covered by the grid survey is ploughed every year, it was necessary to modify the initial strategy. Whereas cultivated fields provide ideal conditions for survey archaeology, they are often ill-suited for excavations, especially excavations in which the goal is to record and collect material from undisturbed subsurface reservoirs.⁶ In order to avoid the risk of excavating overturned layers with mixed contents, it was decided to place the trenches on land that has not been ploughed recently, but keep close proximity to the survey grids.⁷ Even this compromised approach was not easily put in practice, either because of the very dense vegetation outside the plough-zone or changes in land-use that have taken place after the permit had been obtained. Nevertheless, in the end it was possible to open most trenches close to the survey grids and, more importantly, to secure coverage of different parts of this site.

Test-pits I and II, excavated in 2019, are located on the southern and central terraces of the hill. (Map 1) Test-pit I is located in the northeast corner of cadastral parcel 96, a few meters east of survey grids 1 and 2, both of which yielded large quantity of pre-Roman material. At the time of the survey, this parcel was overgrown with tall grasses and young scrubs, but by the start of the excavations, it had been ploughed, but not sown. Test-pit II was opened on cadastral parcel 91, by the eastern edge of the central terrace – the supposed public square of this settlement. The surface material collected from the neighbouring parcels is dominated by finds datable to the Late Roman or broadly to the Roman imperial period, but the material from grid 4 included large collections of Hellenistic-Roman and pre-Roman finds. Test-pits III, IV, XV and XVI are placed in the hypothetical settlement *extramuros*, just outside the eastern outer wall of Vi-

⁶ Of course, from a methodological point of view, the effect of the plough is surely worth exploring, see Ammerman 1985; we sincerely hope to explore the relationships between surface and subsurface material more systematically in the coming years.

⁷ Surely, this was one of the factors that thwarted the dialogue between these two data-sets.

што водел низ источната порта на населбата, на 20 до 30 метри од источниот сид.⁵ Сондите XV и XVI беа отворени на пониската тераса, на К.П. 132, на 50-тина метри од десниот брег на Видин Дол. Целта на овие сонди беше да се испита дали населбата се протегала сè до брегот на Видин Дол. Остатокот од сондите беа отворени на највисоките тераси на населбата. Сондите V и VI беа поставени во јужниот дел од К.П. 102, на местото каде што терасниот сид лачно завива кон внатре. На површината од овој дел од локалитетот доминира доцноримскиот материјал, иако од одредени мрежни единици беа собрани и раноантички или хеленистички наоди. Сондите VII до XIV беа отворени на најзападната тераса од населбата, на К.П. 103, бранета од западниот бедем. Тоа што речиси половина од вкупниот број сонди беа концентрирани на оваа парцела се должи на карактерот на откриената ситуација, за што се зборува подолу во текстот.

Со ваквата разместеност на сондите беа направени пресеци на стратиграфијата на близу половина од терасите врз кои се протегала населбата. Остануваат непокриени двете северни тераси, како и потегот помеѓу внатрешното и надворешното источно обидие. Повеќето од парцелите што го покриваат овој простор се во приватна сопственост и нивното истражување ќе зависи од добрата волја на сопствениците на земјиштето. Меѓутоа, веќе од оваа гледна точка станува извесно дека за да се состави комплетна слика за топографскиот развој на населбата на “Видин Град“ ќе биде неопходно да се изведат сондажни ископувања и на изоставените делови од локалитетот.

Основна цел на преземените сондажни ископувања беше да се собере движен материјал од засебни археолошки хоризонти и целини, односно контексти. Контекстите што содржеа недвижни остатоци, како јами или сидови, беа разоткривани во целост само во одредени случаи. Примарно беше целосно да се истражат археолошките слоеви, односно да се допре до стерилен слој. Со цел да се обезбеди поголема контрола при ископите, во првата сезона од истражувањата, работите беа најпрвин концентрирани на една половина од сондите. На овој начин се здобивавме со пресек на стратиграфијата во останатата половина од сондата. Штом се најдеше на конкретна ситуација, ископувањата се прошируваа врз целата површина од сондата, а неистражената половина се ископуваше по слоеви. Ваквиот пристап помогна поединечните откопи да останат во рамките

din Grad. The density of surface material on these parcels was close to the district average and it proved impossible to decide in a nonarbitrary way if the surface finds are derived from subsurface reservoirs, be it house-floors, rubbish pits or graves, or from material originally discarded beyond the limits of the settlement. Test-pits III and IV are located on cadastral parcel 133, by the hypothetical road that entered the settlement through the eastern gate and 20 to 30 meters from the line of the eastern outer wall.⁸ Test-pits XV and XVI are positioned on the terrace below, at cadastral parcel 132, about 50 meters from the right bank of the Vidin Dol. The last couple of trenches are located away from the area surveyed in 2013, but their aim was to check if the settlement spread to the banks of the Vidin Dol. The rest of the test-pits are located on the highest, western hill terraces. Test-pits V and VI were placed in the southern end of cadastral parcel 102, at the point at which the terrace wall makes a peculiar u-shaped turn. The great majority of the surface finds in this area, covered by grids 8 and 9, date to the Late Roman period, but there are also clusters of Late Iron Age to Early Hellenistic material. Test-pits VII to XIV were opened up on the highest terrace of the settlement, cadastral parcel 103, defended by the western wall. The large concentration of trenches on this terrace is related to the character of the situation discovered in test-pit VIII, discussed later in this report.

This series of test-pits probed the stratigraphy on nearly one half of the terraces occupied by the ancient settlement at Vidin Grad. Only the two northern terraces and the area between the inner and the outer eastern wall were left out. Most of the cadastral parcels that fall in this area are private property and they cannot be excavated without the consent of their owners. Of course, until stratigraphic excavations are carried out on these terraces, the picture of the topographic evolution of this settlement will stay incomplete. However, the data collected during the last two seasons of excavations is sufficient to answer the questions posed in the introduction to this paper.

The primary goal of these test-pit excavations was the collection of material from discrete archaeological contexts or layers. Contexts that contained non-movable features, like walls or pits, were fully unearthed only in certain cases. Our main concern was to excavate the cultural layers down to bedrock. In order to secure greater control during the excavations, at the beginning, work was limited to the eastern halves of the trenches. The resulting cross-sections gave us a clear idea of the stratigraphy in the

⁵ За планот на површинските архитектонски остатоци на Видин Град, в. Донеv 2020.

⁸ For the plan of the architectural surface remains, see Donev 2020a.

на посебни слоеви, но ја усложнува обработката на наодите, односно спојувањето на материјалот и контекстите што им припаѓаат на исти слоеви и на различни половици од сондата. Со оглед на плитката и релативно воедначена стратиграфија, следната сезона ископувањата беа наеднаш изведени на целата површина од сондите.

Откриените профили или основи беа документирани фотограметриски и со помош на овие орто-фотографии беа исцртани скици во размер. Техничката документација беше направена во ГИС програма, каде орто-фотографиите беа регистрирани во државен координатен систем. Фотографиите од профилите беа регистрирани во релативна координатна мрежа, со нулта точка во долниот лев агол. ГИС програмата овозможува не само ефективен визуелен приказ на откриените појави, туку и нивна квантитативна анализа. Сите пронајдени наоди може да се поврзат со одреден контекст или слој со прецизни координати, димензии и висински вредности, што пак овозможува директна споредба помеѓу одделните контексти. Со ова, ГИС програмата се наметнува како мошне корисно средство за документација и анализа на резултатите од археолошки ископувања, без разлика дали се работи за сондажни или систематски истражувања на поголеми површини.⁶

Општо гледано може да се каже дека ситуацијата со потповршинските слоеви на “Видин Град“ не ги исполни во целост очекувањата од ова истражување. Во најголем дел од сондите, горните слоеви се испретурани од обработката на земјиштето или пак се развлечени и деформирани под дејство на природната ерозија. Релативно затворени контексти беа констатирани само во долните слоеви во две или три сонди. Фрагментите керамика се ситни и не се составуваат, и по квалитетот одвај да се разликуваат од површинскиот материјал. Најчесто пониските хоризонти биле или пресечени при подоцни интервенции или искористени за нивелација на почвата при новите градежни фази. Со исклучок на две јами, речиси и да не се најде на целосно затворени контексти. Само во неколку случаи беше можно да се издвои ниво на субструкција, но не се најде на сочувано подно ниво. Ваквата состојба во голема мера ја доведува во прашање целисходноста на применетиот метод на работа, од причини што материјалот од одделни слоеви е измешан. Сепак, деталната обработка на наодите покажа дека,

⁶ За очекување е дека развивањето на 3Д ГИС модули уште повеќе ќе го унапреди значењето на оваа технологија за археолошката наука. За примена на ГИС во археолошки ископувања, види примери кај Tripchevich, Wernke 2010; Roosevelt et al. 2015.

unexcavated half of the trenches. Once a fixed feature was discovered that continued beyond the cross-section, the excavations were extended over the unexcavated halves. This preview of the stratigraphy in the unexcavated halves of the trenches ensured that the finds from different deposits were kept in separate baskets, even if it was not possible to recognize every deposit visible on cross-sections in the course of the excavations. The downside of this approach is that it complicates the merging of finds and contexts that belong to same layers but to different halves of the trenches. Because it was soon realized that the stratigraphy in the majority of the trenches is fairly shallow and uniform, in the second season, the entire surface was excavated at once.

Rectified photographs were made of the plans and cross-sections and these were later used to produce scaled drawings. This operation was carried out in GIS. The orthophotographs of plans were registered in the national coordinate system, whereas the photographs of cross-sections were registered using a non-Earth projection, with point zero in the lower left corner. GIS does not only guarantee effective data visualization, but offers a wide range of possibilities for quantitative analysis. All finds discovered in the course of the excavations can be assigned to a specific context or layer defined by coordinates and elevation values and these can be readily compared to each other. The experience of these excavations has underscored the utility of GIS as a tool for data-management and analysis in archaeological excavations, irrespective of their scope and character.⁹

In general, the condition of the subsurface deposits at Vidin Grad did not entirely fulfil our expectations from this project. In the majority of the trenches, the layers that lie close to the surface are either heavily disturbed by ploughing or degraded and partly washed away by land erosion. The ceramic material is tiny and worn, and hardly differs from the surface finds. Only in the lower horizons in two or three trenches did we come across intact, secondary deposits. In most of the trenches, the early building horizons have either been cut by the foundations of later buildings or levelled to prepare the ground for the new building phase. With the exception of one or two pits, there were no other closed deposits. Only in a few cases was it possible to observe substruction levels, but the associated floors were missing. Obviously, the poor state of preservation of the subsurface

⁹ Predictably, the development of 3D modules for GIS will further increase the usefulness of this technology for archaeological excavations, Van Leusen, Nobles 2018; for examples of GIS applications in archaeological excavations, see Tripchevich, Wernke 2010; Roosevelt et al. 2015.

и покрај тоа што со ретки исклучоци не беше пронајден хронолошки еднороден материјал, бројната застапеност на одредени категории правилно варира од слој до слој. Накусо, наодите од подоцните епохи се видно позастапени во горните хоризонти, додека оние од пораните епохи, претежно се застапени во подлабоките слоеви. Благодарение на оваа околност, и со голема помош на материјалот собран од малкуте недопрени слоеви, повеќето издвоени фактурни групи беа датирани во груби временски рамки.

Оваа распределба на наодите по слоеви има и пошироко методолошко значење. Додека наодите кои биле депонирани во горните хоризонти исклучително ретко се сретнуваат во долните слоеви, материјалот депониран во најстарите периоди на оваа населба редовно е застапен во површинските слоеви, макар со мал број ситни и излижани фрагменти. (Табела 1) Се разбира, ова се противи на тврдењата дека површинскиот слој не ги содржи остатоците од најстарите културни хоризонти. Не е јасно во колкава мера оваа законитост е специфична само за овој локалитет или важи и за останатите повеќеслојни локалитети сместени на обработлива површина. Првичен впечаток е дека тешко може да се генерализира, дури и на ниво на поединечни локалитети. Добро сочувано подно или субструкциско ниво секако дека може да го запечати материјалот од постарите хоризонти и овој да не биде застапен помеѓу површинскиот материјал. Но во случајот на Видин Град, честото присуство на постар материјал во почвениот хоризонт до одреден степен ја потврдува валидноста на резултатите добиени при интензивното рекогносцирање на теренот. Мал број на постари наоди на површината е сигурен индикатор за постоењето на постара фаза на живеење, дури и ако истата не е сочувана како засебен археолошки хоризонт. Од друга страна, нивното отсуство помеѓу површинските наоди може, но и не мора да значи дека на дадената локација нема постари населбински хоризонти. Експерименталните истражувања во Калабрија изведени пред речиси 40 години, покажале дека површинскиот материјал содржи само помеѓу 5 и 10% од наодите содржани во рецентниот хоризонт.⁷ Тоа значи дека шансите да се најде наоди од постари хоризонти на површината на повеќеслојни локалитети во кој било даден момент и од која било локација се мошне мали. Единствен начин да се надмине овој проблем е да се собира големо количество површински наоди од поголеми површини во рамките на локалитетите.⁸ Во оваа смисла, сондажните

record poses a formidable obstacle to the underlying aim of this project and questions the adequacy of the chosen method of fieldwork. After all, it was hoped that stratigraphic excavations would bring to light uncontaminated ceramic assemblages. Nevertheless, although chronologically homogenous deposits were rare, the preliminary study of the excavated material revealed a repetitive pattern in the distribution of individual ceramic categories across layers. Finds that are contemporary to the period of formation of the deposits represent at least two thirds of all material contained in these deposits. On the other hand, residual finds and intrusions rarely represent more than the 10-15% of the total ceramic corpus contained in one layer. Although disturbed, most of the horizons have retained their chronological imprint. This has at least helped in dating individual layers to concrete time periods. Finally, the few relatively intact deposits found in the lower strata, have proven invaluable to our efforts to define the typical ceramic assemblage of the earliest phases of this settlement.

The variable frequencies of individual ceramic categories across cultural layers also have a broader, methodological relevance. Whereas the ceramic categories that predominate in the upper horizons are almost completely absent from the lower strata, given that these are undisturbed, the early material is regularly represented in the surface layer, even if by a few worn fragments. (Table 1) Usually, intrusions are more ubiquitous than residuals, but they are not as dispersed as the latter. Obviously, these observations speak against the widespread belief that the topsoil does not contain remains from the lower cultural strata. This regularity is based on a small number of observations and it is unclear if it is specific to this particular site or it can apply to most multiperiod settlements located in the modern ploughzone. In view of the large number of factors involved in the shaping of the archaeological record, it is impossible to generalize even at the level of individual sites. It is readily conceivable that a well-preserved floor or substructure can seal off finds from earlier phases of occupation and render them underrepresented or even absent from the surface layer. However, leaving aside a few exceptional cases – for example, sites at which the earlier phases have been buried under thick fluvial or loess deposits – this scenario is unlikely to affect the entire surface of the site. In the case of Vidin Grad at least, the presence of a small number of early finds on the surface can be taken as solid evidence of the existence of a contemporary phase of occupation at that spot, even if it is not preserved as a discrete layer on the trench profile. On the other hand, the absence of early material among the surface collections does not necessarily mean that the location was uninhabited in the corresponding time-period. Experiments with

⁷ Ammerman 1985.

⁸ Bintliff 2013.

	I_e	I_s	II_e	II_w	IV_sw	V_s	V_n	VII	XI_s	XII	XIII
% вкупниот број на наоди	9.75%	10.15%	17.85%	8.65%	7.80%	13.50%	5.80%	28.40%	6.90%	17.65%	54.15%
% предримски наоди	12.50%	23.07%	8.00%	2.30%	50.00%	14.80%	12.50%	56.00%	0.00%	16.65%	15.38%

Табела 1: процент од вкупниот број на наоди содржани во рецентниот слој и процент од сите предримски наоди содржани во рецентниот слој

	I_e	I_s	II_e	II_w	IV_sw	V_s	V_n	VII	XI_s	XII	XIII
% of total	9.75%	10.15%	17.85%	8.65%	7.80%	13.50%	5.80%	28.40%	6.90%	17.65%	54.15%
% of pre-Roman	12.50%	23.07%	8.00%	2.30%	50.00%	14.80%	12.50%	56.00%	0.00%	16.65%	15.38%

Table 1: the percentage of the total ceramic record contained in the top-soil and the percentage of pre-Roman finds in the top-soil

истражувања целосно ја исполнија замислата да претставуваат своевиден тест за систематските рекогносцирања на локалитетот од 2013.

Падинскиот карактер на теренот, локалните климатски одлики и интензивната обработка на земјиштето условиле умерена до засилена ерозија на земјиштето во околината на локалитетот и воопшто, во северниот крај од Тиквешката Котлина.⁹ На оние локации кои не биле населени или не се оформил археолошки слој, почвениот хоризонт со моќност од 15-20 см е директно натслоен врз геолошкиот субстрат, кој пак е главно претставен со црвени глинци или со слабо консолидирани конгломерати и бречи. На оние места врз кои постоеле градби, помеѓу овие два слоја се оформил културен слој чија моќност варира од 20-тина см до речиси 2 метра, во зависност од долготрајноста на градбите и нивниот карактер. Земјената матрица најчесто е фина и правлива, и содржи малку природен камен. Нејзината боја варира од светлокафена или сивкаста во горните до светлоцрвена или портокалова во долните слоеви, без разлика на конкретната стратиграфија. Без специјализирани седиментолошки испитувања не може да се објасни ваквата законитост. Во секој случај, извесно е дека црвеникавата боја доаѓа од богатството на локалните глини со железни оксиди или со фелдспар. Со оглед на тоа што бојата на седиментите од долните хоризонти тешко се разликува од бојата на локалната карпа, во повеќето сонди беше неопходно да се направи уште еден до два откопа на дел од површината, за да може со сигурност да се констатира висината на стерилниот слој. Ваквиот пристап стана уште понеопходен откако стана јасно дека најстарите населбински хоризонти во голем број на случаи се сочувани единствено во јами или природни дупки, под нивото на стерилниот слој. На прв поглед се чини

⁹ Радовановиќ 1924.

plough-soil assemblages have demonstrated that the surface record includes only between 5 and 10% of the corpus of finds in the top-soil.¹⁰ Thus, the chances of coming across surface evidence of early phases of occupation at any given time are indeed low and the only way of mitigating this problem is to collect large quantities of surface finds, over large areas of the site.¹¹

Because of the hilly terrain, the local climate and intensive cultivation, the surroundings of Vidin Grad and the wider Tikveš Basin are prone to soil erosion.¹² On locations that were not occupied in the past or at which cultural layers have not formed, an underdeveloped, 15-20 cm-thick soil horizon overlies the local bedrock, represented by reddish clay or poorly consolidated sedimentary rocks, conglomerates and breccias. At occupied locations, these two layers are separated by archaeological deposits, the thickness of which ranges from 20 cm to 2 meters, depending on the character and the longevity of occupation. The archaeological sediments have a fine, clayey texture. Their colour varies from bright, greyish-brown in the upper horizons, to pale red or orange in the lower, irrespective of the concrete stratigraphic sequence. This regularity cannot be explained without specialized sedimentological studies. It can merely be observed that the reddish colour of the sediments from the lower strata is related to the composition of the local clays and, more precisely, the presence of iron oxides or feldspar. Because of their colour and texture, the lowest cultural layers are not easily distinguished from the local geological substrate. Therefore, it was often necessary to cut into the sterile surface to ensure that the excavations have reached bedrock. This

¹⁰ Ammerman 1985.

¹¹ Bintliff 2013.

¹² Radovanović 1924; it proved impossible to find a more recent synthesis of the environmental conditions in this micro-region.

дека локалната земјена матрица добро ги конзервира коскените и метални наоди, иако сосема малиот број на пронајдени метални артефакти фрла сомнеж врз оваа констатација.

Извештај од истражувањето по сонди

Источно подградие, сонди III, XV и XVI

Во ниту една од овие сонди не беше констатиран културен хоризонт. Во сите три сонди слојот ситнозрнести или слабо консолидирани седиментни карпи се појави веќе на третиот откоп или на релативна длабочина од 20 до 25 см. Во слабо развиениот почвен хоризонт ретко се јавуваат поголеми блокови камен, можеби донесени секундарно на овие локации, а артефакти речиси и да нема.

Источно подградие, сонда IV

Во сонда IV, сместена на само околу 25 метри југоисточно од сонда III и 28 метри јужно од сонда XV, се откри многу побогата стратиграфија. Всушност, во североисточната половина од оваа сонда, ситуацијата одвај се разликуваше од онаа на која се најде во претходно споменатите сонди. Тука, хумусниот покривач има дебелина од само 15 см и е прилично сиромашен со наоди. Следниот слој е уште потенок и мери околу 10 см. Седиментите имаат покомпактна текстура и се нешто посветли, а бројноста на наодите благо се покачува. Бројот на керамички фрагменти двојно се зголеми во наредниот слој – IV_2 – кој се одликува со црвеникава боја и со мошне изразена компактност, и кој постепено се претопува во стерилниот хоризонт црвеникава мека карпа. Во споредба со сондите III, XV и XVI, нивото на здравица во овој дел од сонда IV е одвај нешто подлабоко.

Меѓутоа, на истово ниво, во југозападниот крај од сондата, на површина со неправилна кружна форма се јави слој добро просеана земја со светлосива боја, релативно богат со ситни наоди и грубо обработен камен. (Слика 1) Оваа појава продолжува под југозападниот профил на сондата, па затоа сонда IV беше проширена кон југозапад со уште една сонда со идентични димензии од 2 на 2 метри. Токму во проширувањето на сонда IV ситуацијата драстично се менува а стратиграфијата нагло се продлабочува. Додека северозападниот агол на сондата има висинска вредност од 315.56 м. н.в., спротивниот југозападен агол е на 315.86 метри над морето. Од друга страна, висинската разлика помеѓу површината на стерилниот слој во овие два агла од сондата е минимална. Ова секако се должи на интензивното напластување

practice became especially warranted, once it was realized that the earliest horizons are often preserved in negative phenomena, below the level of bedrock. The first impression is that bone and metal artefacts are well-preserved in the local sediment matrix, although it has to be stressed that the number of metal finds retrieved is suspiciously low in comparison to other contemporary sites of similar status.

The results of the excavations by trenches

The eastern “suburb”; test-pits III, XV and XVI

All three trenches are sterile. In all three trenches the layer of fine-grained or poorly consolidated sedimentary rocks appears at a depth of 20-25 cm. The thin soil horizon contains a few redeposited stone blocks and hardly any ceramics. These three trenches are located next to field blocks with average district densities, suggesting that the surface material in this area of the site is derived from localized deposits.

The eastern “suburb”; test-pit IV

This trench located 25 meters southeast of test-pit III and 28 meters south of test-pit XV had a much deeper stratigraphy than the previous group of trenches. More precisely, in its northeast half, the situation hardly differed from that encountered in the other three trenches. Here, the soil horizon is only 15 cm thick and, unlike the neighbouring trenches, it contains a small number of pottery fragments. However, it does not overlies bedrock, but a 10 cm-thick horizon, characterized by fine clayey sediments of bright brown colour, IV_7. The slight increase in the number of finds was a sign that these are not sterile layers. In fact, in the next layer, IV_2, the number of finds is doubled. The sediment in this layer is a compact reddish clay that gradually merges with the sterile rock, distinguished by its more intensive colour, greater solidity and absence of artefacts. In comparison to the previous group of trenches, bedrock was revealed at a slightly greater depth.

However, in the southwest half of the trench, the stratigraphy changes. A roughly round area was discovered at bedrock level, covered with fine, loose sediment with a bright-greyish colour. (Figure 1) It contained a relatively large number of ceramic fragments and roughly cut stone. This feature continues under the southwest profile, so it was decided to extend trench IV in this direction, with another trench of identical dimensions. In the extension of trench IV, the stratigraphy grows rapidly thicker. Whereas the northwest corner of the trench stands at 315.56 meters above the sea, the opposite southwest corner is at 315.86 meters above the sea. At the same time, the bedrock level in both corners of the trench has

на археолошки седименти во југозападната половина од сондата. Имено, крај северниот профил од сондата, веднаш под почвениот хоризонт се јавува темносив слој – IV_8 – релативно богат со органски остатоци, артефакти и особено со грубо приделкан камен и градежна керамика. Се јавува во појас широк помеѓу 60 и 70 см, а се наталожил над или делумно бил вкопан во вториот хоризонт сиво-кафена земја – IV_7. На северниот профил јасно се гледа дека се работи за раб од рушевинска зона, која секако продолжува во северен и северозападен правец. (Слика 2) Под овој рушевински слој, следи хоризонтот на сиво-кафена земја, IV_7, констатиран и на североисточниот профил на сондата. Во југозападниот дел од сондата овој слој е далеку помоќен, со дебелина што варира помеѓу 15 и 20 см. (Слика 3) Долната граница на овој слој ја формира појас со нешто потемна боја и доста ситен камен или чакал, IV_6. Тој е во голема мера развлечен и деформиран, а неговата дебелина ретко надминува 10 см. Долната граница на овој хоризонт е на 315.42 метри над морето. На северниот крај од југозападниот профил тој директно налегнува врз хоризонтот црвеникава глина – IV_2 – што се јавува и на спротивниот североисточен профил. Но на останатото од југозападниот профил, IV_2 постепено почнува да тоне, и помеѓу овој и претходниот чакалест хоризонт се издвојува нов слој сива просеана земја, IV_5. Тој е доста потенок во однос на првиот хоризонт сиво-кафена земја и неговата моќност не надминува 10 см. Овој хоризонт се шири низ најголем дел од површината на југозападната половина од сонда 4 и делумно навлегува во нејзината североисточната половина, што и не наведе да ги прошириме ископувањата во оваа сонда. Под овој слој, а над хоризонтот црвеникава глина, одново се јавува алтернација од песоков слој и слој просеана, сиво-кафена земја, IV_4 и IV_3. Обата се со доста помала моќност во однос на првиот пар, и ретко надминуваат дебелина од 5 см. Оттука, разбирливо е што во текот на ископувањата ова раслојување не беше забележано. Не треба да се исклучи можноста дека овие појави се протегале врз мошне мал дел од сондата покрај југозападниот профил, па не биле забележани при ископувањата.

Последниот хоризонт сиво-кафена полнетица, IV_3, почива врз слојот црвеникава глина, кој е доста помоќен и сочуван низ целата површина од сондата. И на североисточниот и на југозападниот профил овој слој има моќност од над 10 см. Лесно се двои од повисоките хоризонти, благодарение на бојата и големата компактност, но незабележително се стопува со стерилниот слој, кој е одвај нешто поцврст и содржи грутки бела глина со различни димензии. Не беа пронајдени структур-

the same absolute height. This difference is entirely due to the sudden rise in the number and thickness of cultural horizons in the extension of this trench. Immediately underneath the soil horizon, we reached a dark-grey layer – IV_8 – rich with organic residue and artifacts, especially stone rubble and building ceramics. It is confined to a 60-70 cm-narrow strip by the northwest profile of the trench. It overlays and partly cuts through a layer of bright-brownish colour, IV_7. On the northwest cross-section, it is evident that IV_8 belongs to a zone of building debris that spreads north and northwest of trench IV. (Figure 2) On the other hand, the layer below, IV_7, extends over the entire surface of this trench and is also visible on its northeast cross-section. In the extension of test-pit IV, its thickness grows to about 20 cm. (Figure 3) The lower margin of this layer is a band of sediment of a slightly darker colour and much coarser texture than the layer above. It is a mixture of clay and large amounts of sand and small-sized pebbles, IV_6. Its thickness is variable, but does not exceed 10 cm. Its jagged contours are a likely sign of post-depositional disturbance. The lower limit of this horizon lies at 315.42 meters above the sea. On the northern end of the southwest cross-section, it overlies IV_2, the layer of reddish clay, also observed on the opposite northeast profile. To the south, the latter horizon begins to sink and it is separated from IV_6, by a short sequence of discrete layers, visible only in the southern half of the southwest profile. In this corner of the trench, IV_6 rests on a layer of finely sorted and loose sediment of greyish colour, IV_5. Like the superimposing layer, its thickness does not exceed 10 cm. This horizon spreads over most of trench IV and it includes the irregularly shaped feature that induced us to extend test-pit IV. Between this layer and IV_2, there is another alternation of a layer of greyish, loose sediment and a thin layer of sand and pebbles, IV_4 and IV_3. Both are confined to the southeast corner of the trench and their thickness does not exceed 5 cm. This goes a long way in explaining why these strata went unnoticed in the course of the excavations.

The last horizon of greyish-brown fill, IV_3, rests on the layer of reddish clay, IV_2 much thicker than the previous horizons and preserved over the entire surface of the trench. On both the northeast and southwest profiles, it is over 10 cm thick. Thanks to its colour and compactness, it clearly stands apart from the upper horizons. It is somewhat more difficult to determine its lower limit, but the increased solidity and the increased frequency of clods of white clay are sure indicators that the excavations have reached sterile surface. IV_2 does not contain any built remains, but it can be associated with three features, visible on the plan of the trench. One of these is a

ни остатоци во рамките на овој хоризонт. Сепак, во југозападната четвртина од проширената сонда, беше пронајдена групација фрагменти груба, складишна или огнишна керамика измешани со слаби траги од гареж и положени врз стерилна основа. (Слика 4) Со голема веројатност може да се претпостави дека и двете јами откриени во сонда IV му припаѓале на истиов хоризонт. Нивните горни рабови се открија на надморска височина од речиси точно 315 метри, што се поклопува со долната граница на овој хоризонт во јужната половина од сондата. Обете јами биле вкопани во здравица. Тоа што групацијата керамички фрагменти е за 10 см повисока од горниот раб на јамите се должи на природниот пад на нивото на здравицата од север кон југ.

Јама IV_1 беше откриена во централниот дел од проширената сонда. Има овална форма со димензии од 83 на 64.5 см. (Слика 5) Кон дното постепено се стеснува. Оваа јама беше исполнета со фина просеана земја со светлосиво боја, а на самото дно беше отстранет дебел слој чиста пепел. Од оваа целина беше собрано поголемо количество садовна керамика, но не беа пронајдени ниту животински коски, ниту траги од горење. Јамата е длабока околу 25 см. Можно е првично нејзините ѕидови да биле обложени со фрагменти од складиштен сад или пак јамата да била користена како лежиште за питос. Еден поголем фрагмент беше пронајден покрај североисточниот ѕид.

Јама IV_2 се наоѓа во југозападниот агол на сондата. Таа продолжува под југозападниот и југоисточниот профил од сондата и беше само делумно исчистена. Нејзиниот облик и димензии не беа утврдени, па сепак, според откриениот сегмент, таа била со многу поголеми димензии од јама IV_1. Во откриениот дел е длабока околу 40 см. Полнетицата е добро просеана земја со светла, сиво-кафена боја и содржи многу малку наоди, главно животински коски и ситни фрагменти на керамика. Можеби се работи за отпадна јама.

Според ова, на југозападниот профил од сонда IV може да се издвојат 3 или 4 градежни хоризонти. Тие се отцртуваат на профилот благодарение на засиленото присуство необработен или приделкан камен и чакал, но не се сочувани остатоци од подови или темелни партии. Овие слоеви се со различна моќност, а раздвоени се со слоеви полнетица, кои ги одликува малото количество скелетна маса и светлата, сиво-кафена боја на седиментот. Слојот полнетица единствено отсуствува над последниот градежен хоризонт, а на негово место се јавува почвениот покривач, што е уште еден показател за интензивната ерозија на земјиштето. Далеку подобро е сочуван претпо-

concentration of large fragments of cooking vessels or storage jars, mixed with burned organic debris and ashes, and deposited on bedrock in the southwest corner of the trench. (Figure 4) It is highly probable that the two pits discovered in this trench, IV_P_1 and 2 belong to the same building horizon. Their rims lie at 315 meters above the sea, which matches the elevation value of the base of this horizon in the southern half of trench IV. The cluster of coarse pottery in the southwest corner is 10 cm higher, but this merely reflects the variable height of the bedrock surface in this trench.

Pit IV_P_1 was uncovered in the central part of the extended trench. (Figure 5) It has an oval shape and measures 83 by 64.5 cm, but it gets visibly narrower towards the bottom. The infill is a fine and loose sediment of bright greyish colour, IV_1a, that is underlain by a thin layer of pure ashes at the bottom of the pit. This deposit contains large quantities of ceramic fragments, but surprisingly, it did not yield any bones or burning remains. The bottom of the pit lies at a depth of 25 cm. It is possible that, originally, the walls were lined with ceramic fragments or that a large storage jar was fixed in it. One fragment of a large storage jar was found lining its northeast wall. In that case, this is not a closed deposit, even though the material recovered is chronologically homogeneous.

IV_P_2 is in the southeast corner of trench IV, the area with the thickest stratigraphy in this trench. It continues beyond the southeast and southwest profile and it was cleared only partly. Its dimensions and shape could not be determined, but it is obviously much larger than IV_P_1. The maximum depth in the excavated portion is 40 cm. It is filled with bright, greyish-brown earth, IV_1b, that contains few ceramic fragments and bones.

In sharp contrast to the rest of the trenches opened in this part of Vidin Grad, there are no less than three, possibly four, occupation layers in test-pit IV. These are preserved on the southwest cross-section and they are defined by layers of uncut or roughly cut stone, or sand and pebbles of variable thickness. The floors associated with these building phases have not been preserved. We suspect these are substruction levels alternating with infill layers of bright brown or greyish sediments of fine texture. Only the last building horizon, IV_8, lacks the associated infill. It is covered by the soil horizon instead, which is another testimony to the agency of soil erosion at this site. The underlying horizon encompassing layers IV_7 and IV_6 is preserved much better. A small group of roughly worked stone blocks that cut through the layer of reddish clay, IV_2, probably belong to this building phase. IV_2 represents the remains of the

следниот или (броено од горе) вториот градежен хоризонт, кој делумно се отсликал и на северозападниот профил. Тука се забележува мала групација на камења вкопани во слојот црвеникава глина. Последниов слој го претставува третиот или најстариот градежен хоризонт. Интензивната светло-црвена боја и слабото присуство на камен, укажуваат дека се работи за растопена плитарна маса, главно екстрахирана од локалната здравица. Можно е помеѓу овој и претходниот градежен хоризонт да имало уште една населбинска епизода, но таа секако била или мошне краткотрајна или градбата била од ефемерен карактер.

Стратиграфијата откриена во сонда IV е цврст доказ дека источното подградие на оваа населба било населено и тоа во неколку фази. Нешто под 5 проценти од керамичките фрагменти пронајдени во југозападната половина од сонда IV, може да се датираат рамковно во доцната Антика. Тие се исклучиво застапени во хумусниот покривач и, послабо, во полнетицата што му припаѓа на вториот, односно претпоследниот градежен хоризонт. (Графа 1) Со оглед на тоа што дури две-третини од наодите во овој слој може да се датираат во хеленистичката епоха, сметаме дека само последната градежна фаза, застапена покрај северниот раб од сондата, датира во доцноримската епоха. Останатите градежни фази се предримски. Помеѓу материјалот доминира сиво печената керамика, работена на колце, според класични егејски образци и рачно работена керамика, со црвено-кафена боја и груб состав на глината.¹⁰ Овие типови керамика може да се датираат во мошне широк временски интервал од крајот на Железното време до крајот на Хеленизмот, а што се однесува до рачно работената груба керамика, на некои локалитети се сретнува и во римската епоха. Па сепак, отсуството на керамика работена во духот на железнодопската традиција карактеристична за Повардарието, како и ретките фрагменти керамика пресвличена со квалитетен црн фирнајз и украсена со техника на отстранување на лакот, ја ставаат долната граница на оваа фаза најрано во раноантичката или ранохеленистичката епоха. Во моментот тешко може попрецизно да се утврди горната граница на оваа фаза. Отсуството на керамика пресвличена со слаб, посен црн фирнајз, карактеристична за доцно-хеленистичката епоха, не мора да значи дека источното подградие на Видин Град замрело пред римските освојувања на овие краишта. Ова може да е резултат на отежнатиот пристап до оваа керамичка категорија во текот

¹⁰ Сп. со репертоарот керамика пронајден во хеленистичките слоеви на Стоби, Stojanović-Anderson 1992.

earliest building phase. Its bright reddish colour and the scarcity of stone point to the possibility that these sediments are derived from disintegrated mudbrick, extracted from the local bedrock. It is likely that there is another phase of occupation – layers IV_4 and 3 –, between this and the succeeding building horizon, but it was either highly localized or short-lived.

The thick and complex stratigraphy revealed in test-pit IV demonstrates that the area outside the outer eastern wall of the settlement was occupied on multiple occasions. The substantial quantities of surface finds recorded on cadastral parcels 132 and 133 are not offsite material, but come from disturbed subsurface layers. The dense vegetation in the area north of these parcels precludes a systematic survey, but the results of the excavations in test-pits III, XV and XVI have shown that, the area beyond the eastern wall was inhabited, albeit intermittently.

Less than 5% of all finds recovered from test-pit IV date to Late Antiquity. Most of these finds were found in the soil horizon and a small percentage in the infill accumulated during the preceding phase of occupation, IV_7. (Graph 1) Because over two-thirds of the finds from IV_7 can be dated to the Hellenistic period, it is certain that only the last building horizon, represented by the rubble layer IV_8 belongs to the period of Late Antiquity. The rest of the building phases identified in this trench are pre-Roman. The ceramic material consists of two major categories: grey-fired, wheel-made pottery that imitates Classical and Hellenistic Aegean forms and hand-made pottery, characterized by coarse fabrics and surface colour that ranges from reddish to dark brown.¹³ In theory, these broad ceramic categories can date anywhere between the end of the Iron Age and the end of the Hellenistic period and, at some sites, the group of hand-made coarse pottery continues into the Roman period. Nevertheless, the absence of pottery made in the Iron Age tradition characteristic for the Middle Vardar Valley, as well as the small number of Black-Gloss fragments decorated with patterns made by removal or partial application of the gloss, place the lower limit of this horizon at the end of the Classical or the beginning of the Hellenistic period.

At present, it is much more difficult to determine the end of the settlement extramuros. The absence of finds covered with poor black gloss, typical for the Late Hellenistic or Hellenistic-Roman period does not necessarily indicate that this area was abandoned at the time of the Roman conquest. Black-gloss pottery is in general rare at this site and the absence of this late variant could reflect limited access to these

¹³ Cf. with the ceramic assemblages retrieved from pre-Roman layers at Stobi, Stojanović-Anderson 1992.

на првиот век до век и пол по римското освојување на Македонија. И релативно дебелината и комплексната стратиграфија откриена на југозападниот профил од сонда IV, зборува во прилог на една подолготрајна фаза на живеење. Во секој случај, целосното отсуство на материјал што може да се датира во раноцарскиот период, упатува на тоа дека населбата кај источното подградие на Видин Град била напуштена најдоцна до почетокот на раноцарската епоха. Следната и последна фаза на живеење на овој дел од населбата ѝ припаѓа на доцноантичката епоха.

Јужна тераса, сонда I

Како што беше објаснето во претходното поглавје, сонда I беше поставена на дел од теренот каде што на површината доминира материјал од предримската епоха. Ископувањата ја потврдија веродостојноста на сликата што ја даде површинскиот материјал. Најгорниот хоризонт во оваа сонда, I_6, претставен со почвениот покривач е далеку помоќен во однос на оној констатиран во делот на источното подградие, што мора да е резултат на намаленото дејство на ерозијата. Неговата дебелина достигнува и до 30 см, а ретко паѓа под 25 см. (Слика 6) Се одликува со седимент со темнокафена боја, со слабо присуство на скелетна маса и артефакти. Под овој слој, на целата површина од сондата се појави слој светло-сива и посна земја, I_5. Скелетната маса е одвај нешто поизразена во однос на хумусниот хоризонт, но се забележува слабо наслојување, особено на источниот профил од сондата. Не треба да се исклучи можноста дека станува збор за остатоци од слаба субструкција. Имено, оваа концентрација крупен чакал и ситен камен, се јавува на самото дно од слојот сивкаста земја и го претставува некогашното ниво на субструкција. Ова ниво се поклопува со долните краеве од три појави видливи само на источниот профил од оваа сонда. (Слика 7) Се работи за тесни појаси бледојолтеникава глина, дебели не повеќе од 3-4 см, а високи и до половина метар. Нивните долни краеве се забележуваат на релативна длабочина од околу 60 см, што се поклопува со слојот чакал. Тие се поставени паралелно еден на друг, и го пресекуваат слојот сивкаста земја и, делумно, продолжуваат низ хумусниот хоризонт, а почиваат врз следниот хоризонт светлоцрвеникава земја, I_4. Првите два појаса, одесно налево, поставени се на растојание од 20 см, а се наоѓаат на околу 25 см од југоисточниот агол на сондата. Третиот појас се јавува на растојание од околу 115 см од вториот, близу североисточниот агол на сондата.

products during the unstable period that followed the Roman conquest of Macedon. The thick stratigraphy revealed in test-pit IV reflects the longevity of the pre-Roman phase in this part of the settlement. In any case, the complete absence of finds that can be dated to the Roman imperial period is a more convincing proof that, by the time of the High Empire, the settlement had retreated from this area. The subsequent and last phase of occupation in this part of the settlement dates to Late Antiquity.

The southern terrace; test-pit I

As mentioned in the previous section, test-pit I is located in a district in which pre-Roman pottery predominates in the surface record. It represents nearly three-quarters of all surface finds on grid 2. The stratigraphy revealed in this trench does not contradict this observation. The top horizon, I_6, is visibly thicker than the soil horizon revealed in the area east of the outer wall and this can be related to the variable effects of soil-erosion in different parts of this site. On average, its depth ranges between 25 and 30 cm. (Figure 6) The soil is dark-brown, and finely-grained and it includes a small number of stone and artefacts. The next layer, characterized by fine and loose, bright-grey sediment, I_5, covers the entire surface of this trench. Coarse sediments are as rare as in the top layer, but they form an alignment, most clearly visible on the east cross-section. We suspect that this band of large pebbles marks the foundation level of the last building phase at this spot. This layer follows the lower limit of I_5 and coincides with the lower ends of three vertical features, visible only on the east profile. (Figure 7) These are stripes of light-yellowish clay, 3-4 cm wide and up to half a meter tall. Like the supposed substructure level, their ends lie 50 to 60 cm below the surface.¹⁴ The stripes run parallel to each other. They cut through the layer of fine, greyish sediment, I_5, and partly continue into the top-soil horizon. The first two stripes, counting from the south profile are 20 cm apart. The southernmost stripe is nearly 30 cm away from the southeast corner of trench I. The third stripe was discovered about 115 cm from the second one, close to the northeast corner of this trench. Compared to the other pair, it is poorly preserved.

These features are not easily explained. It is possible that they are the remains of walls constructed of perishable material, their face covered with a thick coating of clay. The outer side of the northern wall probably lurks behind the northern wall of the trench. If this interpretation is accurate, it implies that the

¹⁴ On Figure 7, it is apparent that the elevation of this level rises from north to south.

Не е лесно да се објаснат овие појави. Можно е да се работи за сидови од слабо граден објект, со мали димензии, кои од двете страни биле премачкани со дебел слој прочистена глина. Надворешната страна од северниот сид најверојатно останала зад северниот профил на сондата. Треба да се напомене дека овие појави не беа забележани во текот на ископувањето. Доколку постоел, сидот што ја затворал градбава од запад, сосема деинтегрирал, но не смее да се исклучи можноста дека објектот стоел отворен од западната страна. На ваквото толкување му противречи фактот што седиментот помеѓу два соседни појаса, воопшто не се разликува од слојот светлосива земја, на кој овие појави му припаѓаат. Дури и да се работи за сидови од трошен материјал, сепак би требало да се очекува тие да имаат макар за нијанса потемна боја од околниот слој.

Во источната половина од сондата, дебелината на хоризонтот сивкаста земја изнесува нешто над 25 см. Но во западната половина, неговата моќност наеднаш се намалува и на западниот профил тој мери не повеќе од 10-12 см. Овој прекин најлесно се следи на северниот и јужниот профил од сонда I. (Слика 8) Под слојот сивкаста земја, по целата површина на сондата се јавува компактен седимент со светлоцрвеникава боја и слабо присуство на ситен чакал, коски и керамички фрагменти, I_4. Тој е мошне сличен со најстариот хоризонт констатиран во сонда IV. Во источната половина од сонда I, неговата горна граница е на околу 60 см под површината или на апсолутна височина од 327.05 метри н.в. Во западната половина, истиов слој се јавува веќе на длабочина од околу 45 см или апсолутна висина од околу 327.23 метри н.м. Како резултат на оваа висинска разлика, во западната половина од сондата, на нивото на светлоцрвеникава земја се отцрта ниска платформа, чија функција и начин на формирање остануваат непознати. Можно е таа да била оформена при подигањето на објектот што му припаѓа на хоризонтот сивкаста земја.

Во западната половина од сондата, на релативна длабочина од околу 65 см, вкопана во слојот светлоцрвеникава земја беше пронајдена мала групација на необработени камења со средни и големи димензии. Со оглед на тоа што ваков камен не се среќава природно на овој локалитет, тие очигледно биле секундарно депонирани на ова место, но не може да се каже која била нивната првобитна намена, ниту на кој градежен хоризонт му припаѓале.

Хоризонтот светлоцрвеникава глина е со променлива моќност. Во источната половина од сондата, неговата дебелина не надминува 25 см, но во

building in question was small, because its ruins are not projected on the west profile. These features went unnoticed during excavation and it is unclear if the western wall of this building is completely disintegrated or if it was open on the west. However, the problem with this interpretation is that there are no real differences between the sediments trapped in-between the faces of the supposed wall and the rest of the sediment in this horizon. Were these walls built of organic materials, they should have been preserved as patches of shade darker than the surrounding bright-greyish sediment.

In the eastern half of trench I, I_5 has a thickness of over 25 cm, but in the western half, its thickness is visibly reduced and it measures no more than 10-12 cm on the west cross-section. This change is most apparent on the south and north cross-sections. (Figure 8) The layer below, I_4, is a compact, bright-reddish sediment that contains small quantities of pebbles, bone and ceramics. It is very similar to the oldest horizon in trench IV. In the eastern half of trench I, its surface was revealed 60 cm below the surface or 327.05 meters above the sea. In its western half, it was reached only 45 cm below the surface or at 327.23 meters above the sea. This height differential follows a straight line that runs north-south and splits trench I into two equal halves. It forms a low platform in the western half of this trench, but the size of the area uncovered is too small to understand its original purpose. In any case, it must have been built prior to the last construction phase on this spot.

A small concentration of uncut stone was discovered in this layer, in the western half of the trench. These blocks do not form a recognizable pattern. The upper surface of this cluster was found 65 cm below the surface, deeply embedded in I_4. This stone is not derived from the local bedrock and it must have been deposited secondarily at this findspot, but its previous use is unknowable.

The layer of bright-reddish clay is of variable depth. Whereas in the eastern half of this trench its thickness measures between 20 and 25 cm, it is up to 40 cm thick in the western half. It is difficult to ascertain its exact thickness, because I_4 has a fuzzy upper limit. A number of intrusions from the layer above are visible, especially on the south and west cross-sections. There is a large patch of loose, bright-grey sediment in the eastern half of the southern cross-section, I_3, the colour and texture of which are indistinguishable from those of I_5.

With the exception of the pile of stones found in the western half of this trench – that could be later intrusions –, layer I_4 does not include any structural remains. The only unmovable find that is unambiguously linked to this phase of occupation is a roughly

западната половина, тој достигнува моќност и од над 40 см. Мора да се напомене дека овие мерки се приближни, од причини што во сонда I овој хоризонт ја нема истата хомогеност како во сонда IV. На профилите се забележува дека во него се среќаваат грутки сивкаста земја, можеби интрузии од горниот хоризонт. Ова е особено впечатливо на јужниот профил, на чија источна половина се забележува зона на седимент просеана земја со интензивна сива боја, I_3, кој според бојата и составот не се разликува од оној во вториот хоризонт броено одгоре.

Слојот светлоцрвеникава земја содржи ситни керамички фрагменти, но отсуствуваат структурни остатоци. Сè што е сочувано од овој хоризонт е една кружна јама – јама I_1 – вкопана во здравица, на релативна длабочина од над 90 см или апсолутна височина од 326.60 метри над морето. (Слика 9) Таа беше пронајдена точно под зоната сивкаста земја, I_3, што упаднала под горното ниво на хоризонтот I_4. Делумно навлегува под јужниот профил, па точните димензии не се познати. Пречникот на отворот изнесува нешто над 50 см, но на профилот се забележува дека таа се проширува и максималниот дијаметар во внатрешноста мери околу 75 см. Кон дното, пречникот незабележително се намалува, па оттука јамата има речиси четириаголен профил. Длабока е околу 40 см. Исполнета е со фино просеана земја, I_2, грутки гареж, кои стануваат покрупни и поинтензивни на дното и средно количество артефакти, исклучиво фрагменти керамика. Бојата на полнетицата е за некоја нијанса потемна од сивкастиот седимент од хоризонтот I_5 односно, I_3.

Стерилниот слој, I_1, се јавува на релативна длабочина од нешто над 90 см, на целата површина од сондата. За разлика од сонда IV, овде здравицата се одликува со голема концентрација на ситни грутки бела глина и со голема цврстина, благодарение на што лесно се двоји од најстариот населбински хоризонт.

И покрај тоа што културните слоеви се подлабоки од оние затекнати во сонда IV, сонда I има поедноставна стратиграфија. Тука може да се издвојат само два населбински хоризонта, при што постариот бил темелно преработен, можеби со цел да се изнивелира теренот за подоцниот градежен хоризонт, макар што отсуството на какви било траги од цврста градба во оваа сонда го наметнуваат прашањето зошто би била потребна оваа интервенција. Се сретнуваат истите типови и форми керамика како и во сонда IV, со тоа што во сонда I отсуствуваат фрагменти керамика премачкани со црн фирнајс. Како и во сонда IV, доцноримскиот материјал е слабо застапен, со одвај неколку проценти од вкупниот број керамички

circular pit, I_P_1, cut into bedrock, 90 cm below the surface or 326.60 meters above the sea. (Figure 9) It was discovered immediately below the deposit of bright-greyish sediment, I_3, that has breached the upper limit of I_4. This pit continues beyond the south profile of trench I, but it was possible to determine its approximate dimensions. The rim has a diameter of approximately 50 cm, but the maximum diameter, measured ten cm below the rim, is roughly 75 cm. The diameter at the bottom of the pit is not much narrower, so it has a peculiar squat profile. It is nearly 40 cm deep. The infill, I_2, is a bright greyish sediment mixed with burnt remains, that are particularly intensive at the bottom of the pit. It contains average quantities of broken pottery and it is slightly darker than the loose, greyish sediments in deposits I_5 and I_3.

Sterile surface was reached at a depth of about 90 cm. With the exception of the pit found by the south profile, there are no traces of other modifications of the bedrock. Like in trench IV, it is pale reddish clay, but in this case, it is densely interspersed with small white clods, which helped us distinguish it from the layer above.

Although the archaeological layers in trench I are thicker in comparison to those in trench IV, its stratigraphy is simpler. There are two major phases of occupation, preserved in layers I_5 and I_4. The deposits from the latter had been thoroughly reworked. It is tempting to relate this intervention to the later phase of occupation, but the feebleness of the building from this phase would have hardly justified a thorough levelling of the terrain.

The ceramic assemblage is identical to that discovered in trench IV: grey-fired, wheel-made fabrics plus handmade coarse ware, but there are no examples of Black Gloss pottery. Like in trench IV, Late Roman finds represent less than a few percent of the total number of finds and, in this case, they cannot be associated to a concrete layer. (Graph 2)¹⁵ These are either the remains of a humble or short-lived episode of occupation that has not produced a distinct archaeological deposit or offsite material from the Late Roman settlement attested on the neighbouring parcels to the north. It is worth mentioning that, although the majority of the Late Roman finds came from the top two layers, nearly one half was discovered in layer I_3, above the pit by the south profile. This is another indication of the intrusive character of this deposit. There are no major differences between the pottery

¹⁵ Compare this to the sizeable collection of finds datable to the Roman-Late Roman periods in the surface collections from grid 2.

фрагменти, кои во случајов не може да се вратат за конкретен археолошки слој. (Графа 2) Или се тоа само бледи траги од населба што целосно еродирала и се стопила со хумусниот покривач или се работи за резидуум од доцноантичката населба што се протегала врз соседната тераса кон север. На ова место, важно е да се напомене дека иако најголем дел од доцноримските наоди потекнуваат од горните два слоја, близу една половина беше пронајден во зоната полнетица, откриена над јама I_1. Ова е уште еден показател дека оваа појава е подоцнежен упад во хоризонтот црвеникава земја. Нема јасна подвоеност помеѓу наодите пронајдени во долните два хоризонта, што е резултат на испретуреноста на овие слоеви или пак на релативно малата хронолошка разлика помеѓу нив.

Централна тераса, сонда II

Според резултатите од рекогносцирањата, хронологијата на површинскиот материјал драстично се менува на централните тераси од Видин Град, особено на просторот покриен со мрежа 5. Тука доминира материјал што рамковно може да се датира во римската царска епоха и, пред се, во Доцната Антика, иако во мали количини присутни се и предримски наоди. Парцелите покриени во текот на рекогносцирањата активно се обработуваат, па сонда II беше поставена над парцелата покриена со мрежа 5, на необработувана површина. Потсетуваме дека според карактерот на недвижните површински наоди на овој простор, со голема веројатност може да се каже дека ова било центарот на населбата, своевидно плоштадче, барем во периодот на доцната Антика.

Сонда II има најдлабока стратиграфија од сите досега истражени сонди. Во југозападниот агол на сондата, здравица се откри на длабочина од близу 190 см. Ова е секако тесно поврзано со карактерот на градбите, како и со интензитетот на градење на оваа локација, што повторно ги поткрепува претпоставките дека се работи за самиот центар на населбата, каде што биле сместени и главните јавни градби.

Во оваа сонда, како и во дел од сонда IV, на профилите јасно се разликува алтернација од слоеви полнетица и рушевински слоеви, главно сочувани во темелните партии. Ова би требало да се должи на фактот што sukcesивните градби на оваа локација налегнувале една врз друга, поточно теренот не бил целосно нивелиран пред секоја нова градежна фаза.

На помалку од 20 см под површината, на самото дно од хумусниот хоризонт II-7, се најде на третиот рушевински слој, (или првиот броено одгоре) II_6, кој е особено интензивен во северната

откриена во двете принципални слоеви во овој ров, I_5 and I_4.

The central terrace, test-pit II

The 2013 survey showed that the chronology of the surface material changes dramatically in the part of the settlement covered by grids 4 and 5. Approximately 60% of the ceramic finds collected from the surface of grid 5, can be dated to the Roman imperial period and, more specifically, to the Late Roman period. Pre-Roman finds are also present, but they comprise less than 20% of the surface record. These blocks of land are ploughed every year and therefore, test-pit II was positioned on uncultivated land, above these parcels, but still within the central parts of the site. It is worth remembering that the surface architectural remains at this spot suggest that this was an area of public buildings, the equivalent of a public square, at least in Late Antiquity.

This trench has the deepest stratigraphy of all trenches excavated in these two seasons. In the southwest corner of trench II, sterile surface was reached at a depth of 190 cm. This is chiefly conditioned by the character of the buildings erected at this spot and the longevity of occupation, which lends support to the thesis that the centre of the ancient settlement and its public buildings were located on these land-blocks.

In trench II, like in parts of trench IV, the stratigraphy consists of alternating layers of infill and rubble. Whereas the former are the residues accumulated during periods of occupation, the latter are the building remains from these periods. This neatly preserved sequence seems to suggest that the successive buildings were placed on top of each other, without episodes of thorough ground clearance.

The third building horizon in trench II – or the first counting from above -, I_6, was discovered less than 20 cm below the surface, at the bottom of the top-soil layer, I_7. It is particularly intensive in the northeast quarter of this trench; an area covered with uncut or roughly worked stone that continues beyond the northern and eastern limits of the trench. At the bottom of this layer, at a depth of 25 to 30 cm, the foundations of this building were found. It consists of a course of stone blocks larger than those comprising the rubble layer above. In the northern end of the east profile, on the surface of the rubble layer, approximately 334.20 meters above the sea, there is a course of thin flagstones that possibly points to the habitation level during the last phase. (Figure 10) Like in trench IV, the infill has disintegrated into the top-soil layer.

The buildings that belong to the last settlement phase are founded in a layer of loose, greyish-brown

половина од сондата. Тука се откри зона на густо реден, необработен или грубо приделкан камен, која продолжува под северниот и источниот профил на сондата. Во рамките на овој хоризонт, на неговото дно или на релативна длабочина од околу 25 до 30 см, јасно се издвојува темелното ниво, претставено со камени блокови со поголеми димензии. На северниот крај од источниот профил, на апсолутна висина од 334.20 м над морето, се забележува и низа од тенки плочи, што е можеби остаток од некогашното подно ниво. (Слика 10) Полнетицата која му припаѓала на овој градежен хоризонт е целосно разнесена од ерозијата и обработката на земјиштето.

Градбите од овој хоризонт се вкопани во слој просеана, сиво-кафеава земја, со сосема слабо присуство на ситен чакал и релативно малку керамички фрагменти – II_5. И на источниот и на западниот профил тој има моќност од 25 до 30 см и неговата долна граница е на близу 60 см под површината. (Скица 4) На ова ниво, повторно претежно во северниот дел од сондата, се најде на постар градежен хоризонт, II-4, од кој се сочувани поголеми и подобро обработени камени блокови, еден со должина од околу 60 см. Меѓутоа, концентрацијата на градежен материјал е послаба во однос на подоцнежниот градежен хоризонт, па овој слој е со нешто послаба моќност од претходниот. Се сомневаме дека ова е резултат на рециклирање на градежниот материјал во подоцните епохи. Во рамките на овој слој, невозможно е да се раздвои темелната партија од зоната на рушење и нема никакви траги од подно ниво.

Слојот во кој биле вкопани градбите од вториот градежен хоризонт се одликува со бледа црвеникава боја, со средно присуство на камени блокови, необработен камен и чакал. Неговата моќност ректо надминува 20 см, дури и на западниот профил, каде што е најинтензивен.

Овој градежен хоризонт почива врз глинест слој со жолто-црвеникава боја, II-3. Тој се одликува со голема компактност и мошне слабо присуство на скелетна маса, главно песок и ситен чакал. Неговата дебелина достигнува и до 30 см. Изненадува фактот што во овој слој, во источната половина од сондата, беше пронајдено мошне мало количество керамика. Бројот на наоди десеткратно се зголемува во западната половина, но тука на профилот се забележува упад од претходниот градежен хоризонт.

Под овој слој, на релативна длабочина од околу 1 метар или апсолутна висина од 333.35 метри над морето, во северната половина од сондата се откри добро сочуван сид – II_1. (Слика 12) Тој продолжува под западниот и источниот профил и

sediment that contains small quantities of pebbles and little pottery, II_5. On both the east and west profiles it has a thickness of 25-30 cm and its lower limit lies 60 cm below the surface. (Figure 11) The foundation layer of an earlier building phase, II_4 was discovered at the same depth, limited chiefly to the northern third of trench II, below the rubble zone in I_6. The building blocks that belong to this phase are larger and of better craftsmanship than those that belong to the succeeding phase. One of these blocks, sticking out of the west profile, is over 60 cm long. Nonetheless, compared to the later building horizon, this layer contains less building debris and is thinner on the cross-sections. It is more than likely that the finer building blocks were reused in the succeeding phase. Because of its poor state of preservation, it is impossible to distinguish the foundation level from the building debris and nothing survives of the floor.

The debris from this building phase is buried in a matrix of bright, yellow-reddish sediment that contains average quantities of unsorted pebbles. It is most clearly visible on the west profile but, even here, its thickness does not exceed 20 cm.

The underlying layer, II_3, has a fine clayey composition and is fairly compressed. It is yellow-reddish, a shade slightly more intensive than that of the overlying layer. This relatively hard sediment contains small amounts of sand and small-sized pebbles. It has a maximum thickness of about 30 cm. Nevertheless, it yielded very little pottery, especially in the eastern half of the trench, in which only a handful of fragments were found. It is true that the number of finds rises sharply in the western half of the trench, but these were possibly introduced from the layer above. This is evidenced on the west profile, where II_3 is interrupted in the middle by an intrusion from the rubble-rich horizon above.

Below II_3, at a depth of approximately one meter or 333.35 meters above the sea, the excavations revealed the top surface of a well-preserved wall, II_W_1. (Figure 12) Like the building debris from the upper horizons, it is located in the northern half of the trench. This is a sign that there was long-term continuity on building plots in this part of the settlement. II_W_1 is orientated east-west and cuts off the northern third of the trench. To avoid the risk of undermining this wall, the excavations continued only in the southern half of trench II.

This is a massive wall, nearly half a meter wide. It runs across the full width of this trench and it continues beyond its west and east profiles. Measured from the bottom of the foundation level, it is 50 cm high. It was built of roughly cut blocks with a rectangular cross-section, inserted into grey mortar mass. (Figure 13) There are no traces of façade blocks. The surviv-

ја заградува северната третина од сондата. Потсетуваме дека речиси сите траги од градби беа пронајдени во северниот дел од сондата. За да го избегнеме ризикот од рушење на сидното платно, на ова ниво се сопре со ископувања во северната третина од сондата.

Сидот има максимално сочувана широчина од близу половина метар. Може да се следи низ целата должина на сондата. Ориентацијата му е исток-запад. Мерено од дното на темелната партија, висок е близу половина метар. Граден е од грубо приделкани блокови со правоаголен пресек, кои се вметнати во сива малтерна маса. (Слика 13) Нема траги од лицеви блокови. Сидното платно сочувано во два-три реда почива врз поголеми камени блокови. Димензиите и техниката на сидување веќе укажуваат дека овој сид ѝ припаѓал на некоја поголема градба. Ваквата претпоставка добива уште повеќе на сила со откривањето на дел од плочник, веднаш до сидот, од неговата јужна страна. Нивото на плочникот беше пронајдено на апсолутна височина од 333.05 м. над морето, што значи дека висината на сидното платно без темелната партија изнесувала околу 30 см. Плочникот е мошне слабо сочуван. Беа откриени сè на сè, пет или шест блокови, со дебелина од близу 5 см, додека формата и останатите димензии варираат. (Слика 12) Првиот блок броено од источниот профил, е голем речиси колку следните три блока заедно и има неправилна кружна форма, додека останатите блокови се со правоаголна основа. Или поплочувањето било изведено прилично грубо или барем дел од овие блокови се секундарно нафрлани. Блокот што делумно навлегува под јужниот профил на сондата, иако бил положен на исто ниво, е со доста поголема дебелина за да може да биде дел од истиот плочник.

За жал, ова ниво не може да се следи врз целата површина на сондата. На иста висина, во југозападниот агол беше пронајдена поголема концентрација на гараж, која продолжува под јужниот профил. На мала површина беа забележани тесни, линеарни дамки од гараж кои исто така продолжуваат под јужниот профил, но тие беа преслаби за да може да се документираат. Оваа појава добро е сочувана на западниот профил, во вид на слој со дебелина од 7-8 см. Неговата висинска вредност опаѓа за повеќе од 10 см во правец север-југ, на растојание од само 40 см.

Долната граница на првиот градежен хоризонт се поклопува со нивото на плочникот. Во источната половина на сондата тој е положен врз чакалест слој со сиво-зеленикава боја, што сè уште содржи ретки артефакти и коски, II_1b.¹¹ Овој слој е со

¹¹ Меѓу другото, под плочникот беше пронајдена и

ing two or three courses rest on a foundation layer built of much larger and variably shaped building blocks. If we are to go by its dimensions and building technique, this wall almost certainly belonged to a large, maybe public building. This supposition is supported by the discovery of the remains of a pavement, flanking the southern face of wall II_W_1. The surface of this pavement was discovered at an absolute height of 333.05 meters above the sea. This level corresponds to the top-surface of the foundation blocks and the habitation level of this building phase. It shows that the section of wall II_W_1 that stood above ground is preserved to a height of 30 cm.

Only a small segment of this pavement is preserved. All in all, five or six flagstones were found, but their shape and other dimensions vary. (Figure 12) The easternmost block is as large as the next three blocks put together and has a round shape, whereas the rest of the blocks are sub-rectangular. It is unclear if this is the result of a poor execution or if these blocks are in a secondary position. The block that sticks out of the south profile belongs to the same level, but it is much thicker and probably did not belong to this pavement.

Unfortunately, this pavement is not preserved over the entire surface of trench II. At this level, in the southwest corner of trench II, there is a large, but discontinuous burning stain that continues beyond its south and west profiles. More precisely, these are thin dark grey strips that run north-south, parallel to each other. Due to their ephemeral character, they could not be recorded properly. It is possible that this is only the edge of a more substantial deposit that spreads mainly to the west. Indeed, on the west profile this deposit is preserved as a distinct dark-grey band, 40 cm long and 7-8 cm thick. It descends steeply from north to south, and the height difference between its ends is almost 10 cm.

The lower limit of building horizon II_2 coincides with the surface of the pavement. In the eastern half of trench II, the pavement rests on a layer of sand and pebbles embedded in a clayey matrix, II_Ib. Although it appears sterile at first sight, it does contain small quantities of bones and artefacts.¹⁶ This layer is ten cm thick and it overlies the sterile reddish clay.

A different stratigraphy was revealed in the western half of trench II. Here, the foundation blocks of II_W_1 cut through a deposit of compact, brown-reddish clay that has an average quantity of animal bones,

¹⁶ Curiously, the collection of finds discovered under the pavement includes a well-preserved Neolithic axe. Neither the excavated material nor the copious corpus of surface finds from this site include finds that can be dated to this distant time-period.

дебелина од околу 10 см, и под него се јавува сте-рилен, црвеникав глинец.

Поинаква слика се појави на западниот про-фил, каде што темелните партии од сидот II_1 пресекле слој компактна, црвено-кафена глина што содржи средно количество на керамички фрагменти, коски и гараж, II_1a. Овој слој се шири под западниот и јужниот профил од сондата и има длабочина од речиси 60 см. Дното во овој дел на сондата одвај се појави на 332.67 метри над морето. Сметаме дека се работи за секундарно депониран материјал кој мора да ѝ претходи на градбата со плочникот. При нивелацијата на тере-нот за градежната фаза I, рушевините од поста-рите хоризонти биле депонирани во јами. Речиси половина од керамичките наоди од овој последен слој се фрагменти од градежна керамика, кои ве-ројатно им припаѓале на најстарите цврсти град-би на ова место.

И во оваа сонда, како и во сонда I, ископувања-та покажаа дека површинскиот материјал дава прилично реална слика за локалната стратигра-фија. Најголем процент од наодите од оваа сонда може да се датираат во доцноримската епоха. Тие претставуваат околу една третина од наодите од оваа сонда што може да се датираат барем во гру-би временски рамки. (Графа 3) Потсетуваме дека оваа категорија беше застапена со помалку од 10% во сондите IV и I. Меѓутоа, клучната разлика помеѓу составот на материјалот во овие сонди е високиот процент на наоди кои може да се дати-раат во доцнохеленистичкиот или раноцарскиот период во сонда II. Тие се подеднакво бројни како и претходната хронолошка категорија и сочину-ваат над 30% од вкупниот број на наоди собрани од оваа сонда. Оваа категорија на наоди е нешто послабо застапена на површината од овој дел на локалитетот. Тие претставуваат не повеќе од 15% од наодите собрани од мрежите 4 и 5, што е пре-додредено од присуството на моќни градежни хо-ризонти од подоцните епохи.

Додека по обработката на собраниот повр-шински материјал, остана да виси прашањето за постоење на предримска населба во централни-те делови од локалитет, сондажните ископувања оставаат малку простор за сомнение дека и овој дел од теренот бил населен во периодот пред рим-ското освојување. Точно е дека оваа хронолошка категорија не доминира во ниту еден од издвое-

една добро сочувана камена секира, речиси сигурно неолитска. На Видин Град, ниту во текот на ископу-вањата ниту во текот на проучувањето на површински-от материјал, не беше пронајден ниту еден фрагмент што и теоретски би можел да се датира во оваа далечна епоха.

ceramics and cinder, II_1a. This is a powerful layer, that continues beyond the west and south cross-sec-tions and has a maximum depth of approximately 60 cm. Its bottom was revealed at 332.67 meters above sea level. We believe that this deposit is in a second-ary position and must be earlier than the construction of the building with the pavement. It is reasonable to assume that it had been deposited secondarily, to pre-pare the terrain for the construction of this building. Nearly half of the ceramics are tile fragments that probably belonged to the earliest roofed buildings at this location.

Although the composition of the finds excavated from trench II deviates from the composition of the surface finds collected from grids 4 and 5, all periods represented in the stratigraphy of this trench are also represented in the surface record. The highest per-centage of finds from trench II can be dated broad-ly to the Roman Imperial and more specifically to the Late Roman period. They represent 32.5% of all finds from this trench, including those that cannot be attributed to a discrete historical period. (Graph 3) It is worth recalling that this broad chronological cate-gory of finds comprises less than 10% of the material excavated from trenches I and IV. But the key differ-ence between these trenches is the high percentage of finds that date to the Hellenistic-Roman and the period of the High Empire in trench II. Whereas they were either present in very small quantities or com-pletely absent from the surface collections and the material excavated from the southern terrace and the settlement extra muros, in trench II, they are almost as numerous as the Late Roman finds. These findings confirm the presence of an Early Imperial phase in the central terraces of Vidin Grad.

After the preliminary processing of the surface material, the presence of a pre-Roman settlement in the central parts of this site was uncertain. This prob-lem is particularly pronounced on grid 5, on which material datable between the end of the Iron Age and the Late Hellenistic period is represented by less than 20% of the surface collections. The stratigraphic ex-cavations confirmed that the terrace above the area covered by grid 5 was occupied prior to the Roman conquest and it is likely that this settlement extended over parts of grid 5. Although in neither of the de-posits revealed in trench II was this the predominant class of finds, it is clear that this small collection is not a recidivism in the ceramic production from later periods, but older material, derived from destroyed archaeological strata. The percentage of pre-Roman finds ranges from 2 to 3% in the upper horizons to over 30% in the lower archaeological strata. (Figure 14)

ните слоеви, но бројноста на овие наоди укажува дека тие не се рецидиви во подоцното керамичко прозивводство, туку наоди што потекнуваат од растурени културни слоеви. Гледано по слоеви, процентот на предримски наоди расте од 2-3% во горните, до над 30% од вкупниот број на наоди пронајдени во најдолните слоеви. (Слика 14)

Во моментот тешко е да се каже од кога датира најстарата населбинска фаза на овој дел од локалитетот. Најголем процент од предримските наоди од оваа сонда може да се датираат во хеленистичката епоха. Тие ги содржат истите фактурни групи и форми пронајдени во сондите I и IV. Но во оваа сонда, како и меѓу површинските наоди од мрежите 4 и 5, беше пронајдено и мало количество на наоди кои со голема сигурност може да се датираат во Железното време.¹² Кон оваа мала група железнодопски наоди, треба да се приклучи и дел од грубата керамика, што може да се датира само рамковно помеѓу Железното време и римскиот период. Иако малуброен, овој материјал е показател дека централниот дел од населбата бил населен веќе кон крајот на Железното време и опстојувал со или без прекини до римските освојувања. За жал, не се сочувани интактни слоеви од овие епохи, па не може многу да се каже за карактерот и историјата на оваа најстара населба.

Во најнискиот хоризонт сочуван во западниот дел од сондата, II_1a, повеќе од половина од наодите може да се датираат во хеленистичко-римскиот период. Ова е единствената целина, во која доцноримската керамика сосема отсуствува. Ако е точна претпоставката дека се работи за секундарно натрупан материјал, може да се заклучи дека најстарата населбинска фаза застапена со цврста архитектура датира од ова време.

Некаде во периодот на раноцарската епоха, на терен што бил исчистен од постари градби и изнивелиран, настапила градежната фаза I, на која ѝ припаѓале ѕидот I со плочникот. Нема доволно индикативни наоди што би овозможиле попрецизно временски да се определи оваа градежна фаза. Но и покрај ова, бројноста на фрагменти пресвличени со квалитетен црвен фирнајс, што се сретнуваат исклучително ретко помеѓу материјалот од доцноантичките хоризонти, нивните форми, како и карактерот на недекорираната керамика, која се разликува од онаа застапена во последниот населбински хоризонт од сонда IV, водат кон заклучок дека првата градежна фаза не е постара од крајот на 3 век од н.е., односно му припаѓа на раниот

¹² Вклучително и фрагмент сиво печена керамика украсен со врежан мотив на висечки триаголници, Митревски 1997.

At the moment, it is difficult to date the earliest settlement phase at this location. Most of the pre-Roman finds in trench II date to the Hellenistic period. This assemblage includes the same fabric groups and shapes encountered among the material from trenches I and IV. However, like in the surface collections from grid 5, a small group of finds can be dated to the Late Iron Age or Early Antiquity.¹⁷ This chronological category is probably more numerous, because the group of finds that can be dated exclusively prior to the Hellenistic period must include a small fraction of the coarse ware datable only in very broad chronological terms, between the Late Iron Age and the end of the Hellenistic period. Although small, this collection of finds indicates that the central parts of the site were occupied continuously or discontinuously from the end of the Iron Age to the end of Antiquity. There are no preserved archaeological strata from this period in trench II, so it is impossible to say anything specific about the character of the earliest buildings at this spot.

In the lowest horizon II_1a, more than half of the finds date to the Hellenistic-Roman period. This is the only deposit in which Late Roman pottery is missing. If we are correct in assuming that this material is in a secondary position, the earliest buildings constructed in solid material at this spot date to the Late Hellenistic or the Early Roman period. This phase of occupation has been attested only in trench II and on the surface in the central portions of the site.

At some point in the period of the High Empire, the central terrace was cleared from the rubble of earlier buildings to prepare the ground for construction phase one, represented by the building with the pavement. The earliest preserved building horizon in trench II does not contain finds that permit a precise dating. The pottery assemblage from this layer includes a large number of red-slipped fragments, which are very rare or completely absent from the Late Roman assemblages. The character of the plain pottery in this layer is also different from the fabrics that constitute the typical Late Roman assemblage at Vidin Grad. Because of this and the stratigraphic position of building horizon II_2, it has been deduced that this phase dates prior to the late 3rd century AD.¹⁸

¹⁷ One fragment decorated with an incised motif of hatched triangles must be earlier than 600 BC, Mitrevski 1997.

¹⁸ This pottery has close parallels among the material excavated from Gradište, Negotino, a project of Prof. Nicolas Secunda and Goran Sanev from the Archaeological Museum. It was found together with coins that do not postdate the late 2nd century AD. This information and access to the ceramic material were kindly provided by Goran Sanev.

царски период, кој не беше застапен ниту на јужната тераса, ниту на источното подградие.¹³

Карактерот на наодите постепено се менува во вториот градежен хоризонт и во слојот полнетица што го покрил. Тука започнуваат да се јавуваат наоди, особено огнишна керамика, што со голема веројатност може да се датираат во доцната Антика, односно по почетокот на 4 век н.е.¹⁴ Со оглед на тоа што овие слоеви не се интактни, ваквото датирање мора да се земе со одредена доза на резерва. Па сепак, фактот што доцноантичката огнишна керамика е подеднакво застапена и во слојот полнетица над вториот градежен хоризонт и во третиот градежен хоризонт, нè води кон заклучокот дека и двата последни градежни хоризонта датираат по 4 век н.е. Единствено во вториот градежен хоризонт, на нивото на рушевинскиот слој, застапеноста на доцноантичките фактури паѓа под 10 проценти, но ова не му противречи на предложеното датирање. Рушевинскиот слој од вториот хоризонт секако бил вкопан во слојот што временски му претходел.

Материјалот што доминира во последниот градежен хоризонт, веднаш под хумусниот слој, е идентичен со оној откриен во последниот хоризонт во сонда IV. И во двете сонди, овој хоризонт се јавува на приближно иста релативна длабочина од одвај 20 см. Кон истиов хоризонт би можеле да ги додадеме и неколкуте градби што се познаваат на површината во централниот дел од населбата, вклучително и ранохристијанската базилика во југозападниот агол од парцелата на која беше поставена сонда II. Со голема сигурност може да се тврди дека оваа градежна фаза ѝ припаѓа на последните векови од Антиката. Откако оваа фаза завршила кон крајот на 6 век н.е., престанало населбинското живеење на локалитетот Видин Град, односно доколку населбата продолжила да опстојува и по 6-от век, тоа било во многу намален обем.

Западни тераси, сонди V и VI

Сонда V беше отворена на највисоката, западна тераса од локалитетот. Таа е поставена на

¹³ Оваа керамика наоѓа блиски паралели во материјалот собран во текот на систематските истражувања на локалитетот “Градиште“, Неготино, предводени од проф. Николас Секунда и м-р Горан Санев. Словите во кои е пронајден овој материјал се датираат до 2 век н.е. За овие информации и за овозможениот увид во материјалот најсрдечно му благодарам на м-р Горан Санев.

¹⁴ Ончевска-Тодоровска 2008.

The character of the finds changes in building horizon II_4 and the layer overlying it. There is an increase in the number of finds, plain pottery and coarse ware in particular, that can be dated to the Late Roman period.¹⁹ Because these are not intact deposits, their dates cannot be established securely only on the bases of individual ceramic categories. However, this pottery prevails in the collections from the last two building horizons and we believe both postdate the early 4th century. The number of finds that belong to this chronological category does decline in the foundation level of the second building horizon, but this is hardly surprising, because the foundations of this horizon cut into the underlying, earlier layer.

The material discovered in the last building horizon, immediately beneath the top-soil, is identical to the material excavated from the uppermost layer in test-pit IV. In both trenches the top-surface of this horizon lies less than 20 cm below the surface. The buildings remains visible on the surface of the central terrace also belong to this phase. They date to the period of Late Antiquity. By the end of the 6th century AD, the settlement at Vidin Grad either shrank dramatically in size or was completely abandoned.

West terraces, test-pits V and VI

Test-pit V is located on the highest terrace of this site, close to on the southern edge of grid 8, in an area in which most of the surface finds date to the Late Roman period, but there is also a sizeable collection of pre-Roman finds. This block of land has not been cultivated in the last few years, but because it was a part of the plough-zone in the recent past, the trench was positioned near the edge of this parcel, by the dirt-road that provides access to this site from the village of Vodovrati.

Immediately upon removing the top-soil horizon, V_5, about 20 cm below the surface, the excavations came across a zone of building rubble, V_4, particularly intensive in the southwest corner of this trench. It resembles the last building horizon in trench II. It consists of unworked or roughly cut stone blocks and building ceramics that continue beyond the southern and western profiles. To get a clearer view of this cluster of building material, trench V was extended to the south by another trench of two-by-two meters. Like test-pit IV, it was a double trench, measuring four by two meters.

This zone of rubble continues only over a small segment of the extended trench. Only a few blocks were discovered in the northwest corner of the extension. This deposit reappears in the southeast corner of

¹⁹ Ončevska-Todorovska 2008.

јужниот крај од мрежа 8, каде што на површината доминира доцноримски материјал, иако и пред-римскиот материјал е застапен со висок процент. Последниве години оваа парцела не се обработува и густо е обрасната со капинки. Но бидејќи таа до неодамна се обработувала, сондата беше поставена на самиот раб на парцелата, покрај земјениот пат што го сече локалитетот по надолжната оска.

Само што беше отстранет почвениот слој со дебелина од нешто под 20 см, V_5, во југозападниот агол од сондата се појави рушевинска зона, V_4, многу слична на онаа откриена во последниот градежен хоризонт во сонда II. Се работи за поголема концентрација на необработен или грубо приделкан камен и ретки фрагменти градежна керамика, која продолжува под јужниот и западниот профил на сондата. За подобро да ја разбереме оваа појава, сондата беше проширена во јужен правец со уште една сонда со идентични димензии. Така сонда V, како и сонда IV е со димензии од 4 на 2 метра.

Рушевинскиот слој може да се следи само на дел од површината од проширувањето. Беа откриени само неколку блока во северниот дел од проширувањето, по што концентрацијата на камени блокови речиси прекинува, за одново да се појави во југоисточниот агол од проширената сонда. (Слика 15) Благодарение на ваквата дистрибуција, се добива впечаток дека се работи за разрушени темелни партии од сид со правец северозапад-југоисток. Сепак мора да се подвлече дека не постојат доволно сигурни докази за да се поткрепи овој впечаток. Мали групации од идентично обработен камен се среќаваат и покрај источниот и јужен профил од проширената сонда, а рушевинската зона, иако со далеку послаб интензитет, се шири речиси низ целата северна половина од сондата.

По отстранувањето на овој хоризонт не се најде на нови камени блокови, ниту на претпоставените темелни партии. Овој материјал е вкопан во слој фино просеана земја со интензивна, темносива, речиси црна боја, со просечна дебелина од околу 12 см. (Слика 16) Содржи доста гараж, ситен чакал и песок, и грутки од бледо-жолта глина. Може да се следи на сите профили од сондата, со исклучок на северниот и дел од западниот, каде што рушевинската зона наеднаш прекинува. На ова ниво, на северниот крај од западниот профил се јавува хомоген слој од ситен чакал со дебелина од околу 5 см, кој набргу исчезнува на северниот профил. Слојот темносива земја постепено расте од север кон југ, од котата со апсолутна висина од 340.37 метри н.м. во североисточниот агол на сондата, до 340.55 метри н.м. во југоисточниот

the extended trench. (Figure 15) There is a hint at a linear pattern in the distribution of this material and it is tempting to suppose that these are the foundations of a wall that was orientated northwest-southeast. But there is not enough evidence to support this suggestion. Small concentrations of building stone and ceramics were recorded by the south and east profile of this trench. In fact, although sparser, the zone of rubble spreads over the entire northern half of the extended trench.

Upon the removal of this deposit, we did not come across the anticipated building foundations. The stone blocks are buried in a dark grey, almost black, sediment with a fine texture, V_4. On average, it is only 12 cm thick. (Figure 16) It contains cinders, sand small pebbles and clods of light-yellow clay. It is preserved on all cross-sections, except the north and parts of the west profile, an area in which the rubble zone disappears abruptly. At the same level on the north profile, there is a homogenous layer of small pebbles, about 5 cm thick. It is preserved over a length of 1.5 meters, but it does not continue on the north profile.

The deposit of dark-grey sediment and building rubble ascends gradually from north to south. Whereas in the northeast corner of trench V its top-surface was documented at 340.37 meters above the sea, in the southeast corner of this trench, its surface was reached at 340.55 meters above the sea. Its depth, on the other hand, is constant on all four profiles. This layer contains average quantity of ceramics, animal bone and one of the rare metal finds discovered in these excavations, an iron knife blade.

In the northern end of the east cross-section, V_4 overlies a layer of hard, reddish clay, but in the southern half of this trench, it covers a thin layer of brown-greyish sediment, V_3, that contains small quantities of sand and small pebbles and lots of ceramics. The thickness of this deposit ranges from 3-4 to 20 cm. It is particularly intensive in the western half of the south profile and in the northwest corner of trench V, precisely in those parts of the trench in which the overlying building horizon is thinner. In other words, the succeeding horizon has not only covered, but has also cut into V_3, partly destroying it.

With the exception of the northern end of the east cross-section, an area in which deposit V_3 is not preserved, in the rest of the northern half of trench V, this deposit overlies a layer of compact, bright-red-dish clay, encountered in most of the trenches at this site. However, in the southern half of this trench, V_3 rests on a thin layer of sand and pebbles mixed with clay, V_2. It has a maximum thickness of 7 cm. It lies 40 cm below the surface on the east and the eastern half of the south profile, descending gradually

агол, но релативната длабочина е константна на сите профили. Беше пронајдено просечно количество керамика, малку животински коски, но и еден од ретките метални наоди пронајдени во овие ископувања – железно сечиво од нож.

На северниот крај од источниот профил, слојот темносива земја директно налегнува врз слој компактна глина со светлоцрвеникава боја, но во јужната половина тој е положен врз тенок слој посна, сиво-кафена земја, V_3, која содржи мало до просечно количество ситен чакал и песок, и поголемо количество керамика. Дебелината на овој хоризонт варира од 3-4 до 20 см. Најголема моќност достигнува на западната половина од јужниот профил, но и во северозападниот агол на сондата, токму на оние точки каде што претходниот хоризонт содржи помало количество градежен материјал. Се добива впечаток дека претходниот градежен хоризонт не само што налегнал, туку наместа бил всечен во овој слој, поради што тој е само делумно сочуван.

Со исклучок на северниот крај од источниот профил, каде овој слој сосема се губи, во северната половина од сондата, слојот сиво-кафена земја лежи врз слој компактна глина со светлоцрвена боја, V_1, што се среќава во повеќето сонди на овој локалитет. Но во јужната половина од сондата, V_3 почива врз тенок слој ситен чакал и песок што содржи мало количество земјена матрица, V_2. На места има дебелина од речиси 7 см. Се јавува на релативна длабочина од 40 см на источниот профил и источната половина на јужниот профил, по што пропаѓа за околу 10 см во западната половина на профилот. Кон средината на западниот профил постепено се губи во слојот светлоцрвеникава глина во кој бил вкопан. Како и темносивиот рушевински слој, содржи просечно количество керамика и грутки гареж. Сметаме дека и во обата случаја станува збор за субструкциски нивоа, односно остатоци од градежни хоризонти.

Најдолниот културен хоризонт во сонда V, V_1a, е претставен со слој светлоцрвеникава глина со добра компактност и многу малку скелетна маса. Содржи многу мало количество керамика и коски и постепено преминува во стерилен слој, кој се одликува со уште поголема цврстина и зголемена концентрација на грутки бела глина. Во северната половина од сондата тој се јавува на релативна длабочина од околу 40 см, додека на јужниот профил, површината на стерилниот слој е на релативна длабочина од близу 60 см. Оваа разлика се должи исклучиво на подебелата стратиграфија во јужната половина на сондата. Инаку, апсолутните коти на површината од стерилниот

towards west. V_2 disappears from the stratigraphy of this trench towards the middle of the west profile. Like V_4, it contains an average quantity of artefacts, mostly ceramics and burnt organic remains. Because of its composition and place in the stratigraphic sequence, these are likely the remains of an earlier building horizon.

The lowest archaeological layer in trench V is the bright-reddish clayey sediment, V_1. It is highly compacted and contains very little coarse sediments, bones and ceramics. This deposit disappears gradually into the local bedrock, characterized by a more intensive shade of red and high concentration of clods of white clay. In the northern half of the extended trench, bedrock was reached 40 cm below the surface, but on the south profile, the bedrock surface lies at a depth of 60 cm. This difference is due to the greater thickness of the stratigraphy in the southern half of trench V. In both halves of the trench, the sterile surface appeared at the same elevation.

The pit revealed in the northeast corner of this trench, V_P_1, was excavated only partly. It has an irregular oval shape. Its dimensions are uncertain, but the segment that falls into trench V measures 50 by 30 cm. This pit was cut into bedrock. It is filled with fine, greyish sediment that contains very little pottery, cinders and pebbles. V_P_1 cannot be attributed to a particular building horizon. As evidenced on the east profile, it lies below the last building horizon, the remains of which have partly sunk into the pit. Therefore, the small number of artefacts discovered do not offer reliable dating evidence. The bottom of V_P_1 was discovered 339.85 meters above the sea or approximately 80 cm below the surface.

Two building horizons can be distinguished in trench V, visible only on the south profile. The remains from the later building phase are preserved in the dark-grey sediment mixed with building rubble, burnt organic remains and clay, V_4. It corresponds to the last building horizons in trenches II and IV. Like in these two trenches, only the rubble layer survives from this building phase. The infill accumulated during this phase of occupation has been ploughed out or washed away by erosion. This building phase dates to the Late Roman period. Over 80% of the ceramic fragments can be dated to this period. They are identical to the material excavated from the upper horizons in trenches II and IV. The building rubble found in trench V belongs to a building of a much humbler character in comparison to those discovered in the last building horizon in trench II. This impression arises from the small quantity of building rubble and the poor craftsmanship of the building blocks. The dark-grey colour of this deposit is the result of

хоризонт и на северниот и на јужниот крај од сондата се исти и изнесуваат околу 340.17 метри н.м.

Во североисточниот агол на сондата се појави јама, која продолжува под северниот и источниот профил. Според откриениот дел, таа има неправилна, овална форма и прилично големи димензии. Само делот во сондата мери повеќе од половина метар по надолжната и над 30 см по напречната оска. Јамата била вкопана во здравица. Исполнета е со посна, речиси стерилна сивкаста земја, V_1b. Затоа тешко е да се припише на конкретен културен хоризонт. Според стратиграфијата на источниот профил, таа секако е постара од последниот градежен хоризонт кој ја покрил и делумно пропаднал во јамата. Нејзиното дно беше откриено на 339.85 метри н.в., или на релативна длабочина од близу осумдесетина см.

Во сонда V може да се констатираат две градежни фази и тоа само на јужниот профил. Подоцнежната градежна фаза се сочувала во слојот темносива земја. Стратиграфски таа соодветствува со последните градежни хоризонти во сондите II и IV. Слојот што се врзува со оваа фаза по се изгледа го претставува темелното ниво, додека полнетицата, како и во сондите II и IV, целосно се стопила со хумусниот хоризонт. Овој градежен хоризонт е доцноантички. Над 80% од наодите им припаѓаат на истите фактури и фактурни групи констатирани во последните хоризонти во сондите II и IV. Споредено со сонда II, градбата чии остатоци беа пронајдени во сонда V била со многу поскроман карактер. На ова упатува релативно малото количество камен и градежна керамика. Темносивиот седимент во кој е содржан овој рушевински слој можеби ја добил бојата од големото количество органски материјали од кои била изградена градбата.

Од постариот градежен хоризонт е сочувана субструкцијата во вид на тенок слој песок и чакал и делумно полнетицата. Овој хоризонт е во голема мера оштетен при подигањето на градбата од подоцнежната градежна фаза. Како резултат на овој упад, и во овие слоеви е присутна доцноантичката керамика и тоа во големи количини. Сепак, за разлика од горните хоризонти, каде што овој материјал претставува над 80% од вкупното количество наоди, во долните два слоја, неговото учество паѓа под 50%. (Графа 4) Ова е особено силно изразено на јужниот профил, каде што овој хоризонт е најдобро сочуван. Фактот што процентот на доцноантички наоди повторно расте во најдолниот културен хоризонт е јасен доказ дека стратиграфијата во оваа сонда е во голема мера испретурена.

the decomposition of the organic materials used in the construction of this building.

The earlier building horizon is limited to the southern half of trench V and is represented by the brown-greyish infill V_3 and the underlying layer of sand and pebbles, V_2. This horizon has suffered a considerable damage during the later construction phase. Because of this, it contains large quantities of Late Roman finds. However, unlike the overlying layers, in which Late Roman pottery amounts to over 80% of all finds, in the lower strata, less than 50% of the finds date to the Late Roman period. (Graph 4) This distribution is most apparent in the southern half of this trench, in which the earlier horizon is well-preserved. The increase in the percentage of Late Roman finds in the lowest archaeological stratum underlines the degree of disturbance of the stratigraphy in trench V.

The majority of the ceramic finds found in the lower strata belong to the categories of grey-fired, wheel-thrown pottery and hand-made, coarse ware with brown to reddish colour of the surface. These fabric groups were attested in trenches I and IV and the lower strata in trench II, and can be dated to the Hellenistic period, or to Early Antiquity. None of the finds discovered in this trench can be dated to the Late Iron Age.

Trench VI is located about 20 meters southwest of trench V, within the same block of land. It also falls within the area covered by grid 8 and, more precisely, in its southwest corner. Sterile surface appeared at a depth of only 20 to 25 cm. In this trench, it is characterized by a hard clayey sediment. It is light-grey, almost white, and it does not contain coarse particles. In total, 24 ceramic fragments were collected from the top-soil, nearly all of which date to the Late Roman period. This material is probably derived from a thin cultural layer that has disintegrated completely.

West terraces, test-pit VII

Test-pit VII is located on the hedge between cadastral parcels 102 and 103, 18 meters northwest of trench VI. This area has been left out of the ploughzone in the past decade. However, the old plowing furrows are still visible on the surface and on the cross-sections. They are up to 30-40 cm deep and certainly result from mechanized ploughing. Obviously, there was little hope of discovering undisturbed deposits in this part of the site. Because of poor surface visibility, the highest terrace within the walled area was not included in the grid survey.

The stratigraphy in this trench is more or less uniform on all four cross-sections. There were not any building remains or other unmovable finds, like pits

Доминантниот материјал во долните два хоризонта во јужниот дел од сондата е претставен со категориите сиво-печена керамика, работена на колце и рачно месена груба керамика со црвеникаво-кафеава боја на површината. И двете категории беа застапени во сондите I и IV, и најниските хоризонти од сонда II и може начелно да се датираат во хеленистичката епоха. За разлика од сонда II, нема примероци керамика што може да се датираат во Железното време.

Сонда VI беше поставена на околу 20 метри југозападно од сонда V, во рамките на истата парцела. Таа се наоѓа покрај југозападниот агол од мрежа 8. Веќе по вториот или третиот откоп, на релативна длабочина од 20 до 25 см се разоткри стерилен слој, кој во оваа сонда е претставен со цврст глинест седимент, со бледосива, речиси бела боја и отсуство на скелетна маса. Тука, во хумусниот слој беа откриени 24 фрагменти керамика, главно доцноантички. Доколку воопшто на ова место се оформил културен хоризонт, тој целосно дезинтегрирал под дејство на ерозијата и обработката на земјиштето.

Западни тераси, сонда VII

Сонда VII е поставена на границата помеѓу катастарските парцели 102 и 103, 18 метри северозападно од северниот раб на сонда VI. Овој дел од теренот во последниве години не се обработува, иако до неодамна и тој редовно се обработувал. На површината и на профилите сè уште може да се распознаат бразди од орање со механизација, длабоки и над 30 см. Поради густата вегетација, овој дел од локалитетот крај надворешното западно обѕидие, не беше покриен во текот на рекогносцирањата од 2013. Стратиграфијата откриена во оваа сонда е приближно воедначена на сите профили. Не беа пронајдени структурни остатоци.

Како и во повеќето отворени сонди, хумусниот хоризонт во сонда VII, VII_4, е со моќност од околу 20 см. (Слика 17) Се одликува со темнокафеава боја и средно присуство на скелетна маса. Содржи просечно количество на керамички фрагменти. Под хумусниот покривач следува слој fino просеан седимент со светлосива боја, со средно количество на скелетна маса, главно чакал и ситен камен, VII_3. Неговата просечна моќност се движи помеѓу 15 и 20 см, иако на средината од западниот профил достигнува дебелина од речиси 30 см. Овие разлики мора да се ефект на обработката на земјиштето, поради што горната граница на овој хоризонт не следи права линија. Најголем дел од материјалот собран од оваа сонда беше пронајден во овој слој.

or platforms. Like in most other trenches, the top-soil, VII_4, is approximately 20 cm thick. (Figure 17) It contains average quantities of pebbles and artefacts. Underlying this layer is a light-grey sediment mixed with small quantities of sand and pebbles, VII_3. It is easily distinguished from the dark-brown soil horizon above. The majority of the finds from trench VII come from this layer. It has a variable thickness, but on most profiles, it measures between 15 and 20 cm. The top-surface of this horizon is cut by numerous plough-marks. The regular ploughing of this field secured a constant supply of fresh material from VII_3 to the top-soil.

The layer of fine, light-grey sediment rests on a thin layer of light-reddish clay of a much coarser texture, VII_2. It contains large quantities of sand and pebbles and its thickness ranges between 7 and 15 cm. This layer is most intensive in the northeast corner of the trench. In absolute numbers, it yielded an average quantity of ceramic finds, but relative to its volume, it does not lag behind the layer above. The bottom-surface of this layer was reached at a depth of 50 cm. Below this horizon is a layer of poorly consolidated conglomerate that is sterile and almost void of fine particles, VII_1. It consists entirely of poorly sorted pebbles and cobbles.

Only one phase of occupation can be detected in the stratigraphy of trench VII. Like in the majority of the trenches excavated, it includes a thin substruction layer – the light-reddish clay with high concentration of sand and pebbles, V_2 – overlaid by a thicker infill layer – in this case, characterized by fine, light-grey sediment, V_3. Over 90% of the ceramic finds from this trench belong to the two categories that comprise the typical Hellenistic assemblage at this site: the grey-fired, wheel-thrown pottery, inspired by Aegean shapes and coarse, hand-made pottery that follows the local Iron Age traditions. (Graph 5) Less than 10% of the finds can be dated to the Late Roman period and these originate from disturbed deposits in the immediate proximity of trench VII.

West terraces, test-pits VIII to XI

This group of trenches are located on cadastral parcel 103, on the westernmost terrace of this site. The land-use and vegetation are identical to those encountered on the neighbouring parcels. This entire tract of land by the western wall of Vidin Grad is overgrown and was not included in the grid survey. However, as evidenced by the plough-marks and the disturbed stratigraphy in the excavated trenches, until a few decades ago, this land was cultivated regularly.

The situation encountered immediately under the soil horizon in trench VIII made us modify the ex-

Слојот светлосива просеана земја почива врз тенок хоризонт светлоцрвеникава глина, измешан со песок и чакал, VII_2. Има просечна дебелина од 7 см, иако на места, како на источниот крај од северниот профил достигнува моќност и од 15 см. Во апсолутни бројки содржи средно количество движни наоди, но сразмерно со неговата моќност, не заостанува многу зад претходниот хоризонт. Долната граница на овој слој се јавува на релативна длабочина од околу половина метар. Таа е лесно воочлива, бидејќи стерилниот слој во оваа сонда е претставен со слабо консолидаран конгломерат, составен од чакал и камен со мали и средни димензии, VII_1. Тој речиси и да не содржи земјена матрица.

Во сонда VII се сочувал само еден населбински хоризонт. Тој се состои од тенка основа, претставена со слојот црвеникава глина измешан со чакал и далеку помокен слој светлосива просеана земја во кој е содржан материјалот што се наталожил во текот на оваа населбинска фаза. Над 90% од наодите се претставени со репертоар на керамички фактури карактеристичен за хеленистичката епоха: сиво печена керамика работена на витло и рачно работена црвеникаво кафена керамика со груб состав. (Графа 5) Присутен е и еден фрагмент, исто така сиво печен, пресвечен со црн фирнајз. Само неколку проценти од наодите може да се датираат во доцноримската епоха и тие секако потекнуваат од растурени целини од непосредната околина на оваа сонда.

Западни тераси, сонди VIII-XI

Оваа група на сонди беа отворени на К.П. 103, најзападната парцела во рамките на населбата. Оваа како и соседната парцела кон исток не се обработуваат барем една деценија и затоа не беа вклучени во рекогносцирањето по мрежни единици. Браздите од орање сè уште видливи на површината се показател дека, до неодамна оваа парцела активно се обработувала.

Ситуацијата откриена плитко под површината во сонда VIII нè натера да ја смениме тактиката на сондажни истражувања на мали површини и на овој простор беше отворена поголема површина. Сонда VIII беше проширена кон запад и исток со по една сонда со идентични димензии, сонда X и IX, а потоа сонда IX беше проширена кон југ со сонда XI. За да не се јавуваат забуни околу локацијата на проширувањата, секое проширување беше нумерирано како засебна сонда.

Во сонда VIII, на релативна длабочина од околу 30 см и на целата површина од сондата беше откриен добро сочуван плочник. (Слика 18) Составен е од чет-

cavation strategy, and open up a larger area instead of isolated test-pits. Trench VIII was extended to the west and east, by two trenches with identical dimensions, test-pits IX and X. Test-pit IX was then extended to the south, by another trench of 2 by 2 meters, test-pit XI. To avoid the likely confusion about the location of the extensions, it was decided to label each extension separately, even though this is a continuous surface.

In trench VIII, less than 30 cm below the surface and over its entire surface, the excavations revealed a segment of a pavement. (Figure 18) It is built of large quadrangular blocks, the ends of which do not meet. They are inserted into a layer of fine, greyish-brown sediment, VIII_2. It is easily distinguished from the top-soil, VIII_3, which is dark-brown and has a higher fraction of coarse particles. The construction technique of the pavement is similar to that of the pavement discovered in the earliest building horizon preserved in trench II. The key difference between the two pavements is the size of flagstones. Those used in the pavement in trench VIII are much larger and, on average, measure about 0.1 square meters. However, towards the eastern edge of the paved surface, the flagstones are much smaller and of variable shape.

In principle, trench VIII was extended because the paved area continues beyond its eastern and western edges. This was the only way to define and understand its function and character. Upon the removal of the top-soil in trenches IX and X, the eastern and western edges of the paved surface came to light. It is 2.4 meters wide. On the west, it is limited by a narrow strip of fine greyish sediment, in which a few large building blocks have fallen. On the east, the greyish-brown sediment in which the pavement was founded continues. An old hornbeam grows immediately south of trench VIII. There is a large pile of building blocks around its trunk, which is a testimony to the extent of destruction of the archaeological layers caused by ploughing and field clearance. This prevented us from extending trench VIII in this direction. Instead, trench IX was extended to the south by trench XI. The western edge of the pavement was discovered in the eastern third of this trench. It continues south, beyond the south profile of trench XI. This segment is constructed of cobbles of various size and shape and is visibly sparser than the part of the pavement revealed in the other trenches. This must be the result of post-depositional disturbances. (Figure 19)

The most reasonable explanation that springs to mind is that this is a segment of a paved street, orientated north-south, following the long axis of the western terrace. There were other clues that pointed

вртести блокови, чии краеве не се составуваат. Тие се вкопани во посен и добро просеан слој, со светлокафеава, сивкаста боја, VIII_2. Лесно се двој од хумусниот слој, VIII_3 кој има доста потемна боја и погруба текстура. Според слогот, овој плочник наликува на оној пронајден во најстариот градежен хоризонт во сонда II. Клучната разлика е во димензиите на блоковите, кои во сонда VIII се доста поголеми и во просек се движат околу 0.1 метар квадратен, иако кон источниот раб на плочникот се воочува погруб слог и блокови со помали димензии и неправилна форма.

По отстранувањето на хумусниот хоризонт во сондите IX и X, беа дефинирани западниот и источниот раб на поплочената површина. Широка е речиси 2.40 метри. На западната страна граничи со зона на фино просеан, сивкаст седимент, во кој упаднале неколку камени блокови, додека кон исток, продолжува сиво-кафеавиот седимент во кој плочникот бил вкопан. Јужно од сонда VIII, расте стар габер, околу чие стебло е натрупан голем куп од камени блокови извлечени при обработката на оваа парцела. Но ископувањата во сонда XI, сместена во квадрантот југозападно од сонда VIII, покажаа дека поплочената површина продолжува кон југ низ целата должина на сонда XI и под нејзиниот јужен профил. Покрај источниот раб од оваа сонда беше откриен најзападниот ред блокови. И тука се забележува послаб опус и употреба на помали блокови, со неправилни форми. (Слика 19)

Во тој момент како најлогично се наметна објаснувањето дека се работи за дел од градска улица, која се протегала речиси во правец север – југ, по надолжната оска на терасата. На ова упатуваше и појавата на зона од фино просеана земја од западната страна на улицата, што наликуваше на канал за собирање на атмосферски води, и особено фактот, што висинските вредности на блоковите од средината на плочникот беа видно повисоки од оние на рабните блокови. Горните површини на рабните блокови од западната странасе на висина од околу 342.9 метри н.м., додека на централните блокови на нешто над 343 метри н.в. Првобитно оваа вредност секако била повисока, со оглед на тоа што точно по средината на улицата се забележува бразда од плут, а централните блокови се малку пропаднати. Рабните блокови на источната страна се за околу 5 см повисоки од оние на западната, што секако е резултат на тоа што источниот раб на улицата бил дооформен – можеби улицата била проширена – во подоцнежна фаза. На тој начин оформена била блага височинка по надолжната оска на улицата, за да се осигура нејзината дренажа. Оваа одлика е карактеристична за римското патно инженерство.¹⁵

¹⁵ Спореди со доцно-римската улица во Скупи, Корачевиќ 2002.

in this direction. The strip of loose, greyish sediment that flanks the western edge of the pavement looked like the infill of a drainage or a sewage canal. Even more suggestive were the differences between the elevation values of the top-surfaces of the flagstones in the central parts of the pavement and on its edges. The latter are at least ten cm lower than the former. Whereas the top-surface of the westernmost row of cobbles lie at an altitude of 342.9 meters above the sea, those of the cobbles in the central part of the pavement at approximately 343 meters above the sea. A plough mark runs along the middle of the street and the central blocks of the pavement are tilted. Hence, originally, their top-surfaces must have stood slightly higher than today. The cobbles that form the eastern edge of the street are about five cm higher than those on the western edge. It has already been observed that the eastern third of the pavement is composed of blocks of irregular shape, that are not really flagstones. This segment of the street certainly belongs to a separate building phase that consisted of repairs or widening of the existing pavement. However, despite the crudely executed widening of the pavement and the damage caused by mechanized ploughing, the street has retained its elliptical surface, typical of Roman street-construction.²⁰

The remains of a wall, IX_W_1, were discovered next to the strip of loose, greyish sediment that flanks the street on the west. Its top-surface is slightly higher than the central axis of the street. This wall runs parallel to the street, at a distance of about 50 cm from its western edge. It runs across the entire width of the trench. (Figure 20) This wall is constructed of uncut or roughly finished stone blocks bonded with thin layers of mortar. An interesting peculiarity of the masonry technique is visible on the plan of the wall. The building blocks are laid horizontally, in two parallel rows. Smaller, irregularly shaped blocks are inserted into the mortar mass between these two rows of building blocks. This is a massive wall, over 60 cm wide. Only two courses of blocks are preserved. They rest on foundations of large boulders. Including the foundations, IX_W_1 is almost 50 cm high.

This wall disappears abruptly at the border between trenches IX and XI. The southernmost block was found displaced, leaning against the standing segment of the wall. If we are to go by its size, this block belonged to the foundations. Not a single building block was discovered at this level in trench XI. Unlike the paved street, which has preserved much of its original form, the segment of wall IX_W_1 in trench XI was completely removed during ploughing. Possibly, the large number of boulders and building

²⁰ Cf. the Late Roman street in Scupi, Koračević 2002.

На двај нешто повисоко ниво од она на централниот дел од улицата, и на растојание помало од половина метар од нејзиниот западен раб, се откри сегмент од сид, сид IX_W_1, кој е паралелен со улицата и се следи по целата должина на сонда IX. (Слика20) Граден е од необработени или приделкани камени блокови, спојувани со тенок слој малтер. На основата се забележува карактеристичен опус. Блоковите се положени хоризонтално во две низи, а во средината, во малтерната маса, како “клучеви“, вметнати се помали блокови со неправилна форма. Сидот има максимална ширина од 65 см, а сочуван е во еден, најмногу два реда, по што следува темелната партија. Вклучително со темелите, сидното платно е сочувано во висина од околу 50 см.

За жал, точно на границата помеѓу сондите IX и XI, остатоците од сидот наеднаш ги снемива. Всушност, последниот блок од низата беше пронајден дислоциран, неврзан со сидната маса. Судејќи според димензиите, сè работи за блок од темелите на сидот, извлечен при обработката на земјиштето. На ова ниво во сонда XI, не може веќе да се следат траги од сид. За разлика од плочникот од градската улица, тој бил целосно отстранет при орање на земјиштето, па можно е купиштата камени блокови натрупани покрај источниот раб од оваа сонда да му припаѓале токму на овој сид.

Темелните блокови од сидот откриен во сонда IX имаат висинска вредност од околу 342.64 метри н.в. Тие се вкопани триесетина см пониско од нивото на плочникот, па очигледно е дека подното ниво на градбата на која и припаѓал овој сид, - кое не е сочувано – комуницирало со нивото на плочникот. Највисоките блокови од сидот IX_W_1 се неколку сантиметри повисоки од највисоките коти во рамките на плочникот. Тоа значи дека сидот е сочуван нешто над нивото на живеење. Можно е слаби траги од подното ниво да се сочувале на северниот профил од сонда IX, на просторот помеѓу улицата и сидот. Тука, на нешто помалку од 20 см под површината и на исто ниво како површината на плочникот, се забележуваат фрагменти од неколку плочести блокови наредени во низа. Според физичките карактеристики и стратиграфската положба, веднаш под хумусниот слој, тие многу наликуваат на претпоставеното подно ниво кое ѝ припаѓало на последната градежна фаза во сонда II. Вакви траги од наслојување може да се следат на истата релативна длабочина и на западниот и јужниот профил од сонда XI. Како и во останатите сонди, културниот хоризонт што се наталожил на ова ниво сосема се претопил во хумусниот слој.

Од источната страна на улицата, во сонда X, очекувавме да се појави пандан на градбата на

blocks piled up east of trench XI is all that remains of this wall.

The foundation blocks of IX_W_1 discovered in trench IX lie at an absolute height of 342.64 meters above the sea. Their bottom-surfaces lie 30 cm below the street pavement. Obviously, the unpreserved floor of the building was at the same level as the street. The highest points on the wall lie five to seven cm above the highest point of the street, implying that the wall is preserved one course above floor level. It is possible that meagre traces of this level of habitation are preserved on the north profile of trench IX, in the area between the street and wall IX_W_1. Less than 20 cm below the surface and at approximately the same level as the surface of the street, there is a short course of flagstones. By their shape and stratigraphic position, they are identical to the supposed floor of the last building phase in trench II. This level can be observed on the south and west profile of trench XI. Like in the other trenches, the infill layer that accumulated during this phase of occupation has not been preserved.

In trench X, east of the street, we expected to find the counterpart to the building discovered in trench IX. However, we were quickly proven wrong. Approximately ten to 15 cm below the eastern edge of the street, the excavations reached a large concentration of building blocks, tile and pithoi fragments. (Figure 15) It spreads over most of trench X, but it is particularly dense in the western end of this trench. There is a hint of a disturbed foundation wall, about 35 cm wide and orientated northwest-southeast. It was a part of a building earlier than the street, because it runs obliquely to the street and continues underneath its pavement. (Figure 21) It was constructed of uncut or roughly finished stone blocks of small and medium dimensions. Stratigraphically, they belong to the same greyish-brown sediment that underlies the pavement. However, their bottom-surface lies about 15 cm below the edge of the street, at an absolute height of 342.76 meters above the sea. Thus, both the position of this rubble zone in the local stratigraphy and its relation to the street, suggest that they are the remains of an earlier building phase, looted and demolished prior to the last construction phase and the building of the street. The material from this earlier building phase was probably reused in the construction of the new buildings or used to level the terrain prior to construction.

The clearance of the zone of greyish infill west of the street failed to reveal any concrete evidence of a canal. There are not any tangible traces of a well-defined ditch or ceramic fragments from the facing of the supposed canal. The strip of greyish infill does not continue into trench XI. More to the point, was there

која ѝ припаѓал сид IX_1. Веќе по првиот откоп под источниот раб на улицата се појави слаба концентрација на камени блокови, градежна керамика и фрагменти од питос. (Слика 15, појави обоени во црвено) Оваа рушевинска зона се протега низ речиси целата површина на сонда X, но е особено изразена во западната половина, каде што може да се насети трага од сид со широчина од околу 35 см и ориентиран во правец северозапад-југоисток, косо во однос на улицата. (Слика 21) Се работи за необработени или грубо приделкани камени блокови со мали и средни димензии, речиси идентични со оние искористени во источниот дел од улицата. Како и плочникот од улицата, тие му припаѓаат на слојот глинеста, светло-кафеава земја, но вкопани се на приближно 15 см под нивото на работ од улицата или на 342.76 метри н.в. Можно е ова да се остатоци од разрушената градба што стоела источно од улицата, но со оглед на тоа што овој рушевински слој навлегува под плочникот од улицата, сметаме дека се работи за остатоци од постар градежен хоризонт, кој бил во голема мера уништен во последната градежна фаза. Градската улица, како и темелните партии на сид IX_W_1 биле вкопани во овој хоризонт и сосема е веројатно, за делот од плочникот во источниот дел од улицата да бил искористен материјал изваден од градби што му припаѓале на постариот градежен хоризонт.

Паралелно со расчистувањето на нивото на постариот градежен хоризонт, се работеше и на чистење на претпоставениот канал од западната страна на улицата. Набргу беше воочено дека нема доволно елементи – јасно дефинирана јама или фрагменти градежна керамика – што би упатувале на тоа дека се работи за одводен канал. Оваа појава не може да се следиво сонда XI, ниту пак може да се забележи на северниот профил од сонда IX. Станува збор за слој добро просеана земја со која бил исполнет просторот помеѓу улицата и сид IX_1. Овој седимент се одликува со слаба компактност и нешто потемна боја во однос на матрицата во која беа пронајдени остатоците од градби од двата градежни хоризонта, но стратиграфски е на исто ниво со слојот сиво-кафеава земја, IX_3. Содржи мал број на камени блокови што тука упаднале од градбата на која ѝ припаѓал IX_W_1 и мало количество на керамички фрагменти.

Слојот сиво-кафеава земја, IX_3 има дебелина што варира помеѓу 12 и 20 см. Тој е сочуван на повеќето откриени профили, со тоа што во сонда X се забележува како постепено ја губи моќноста во источен правец. Западно од улицата нема структурни остатоци во рамките на овој слој. Единствено на јужниот и западниот профил во

an artificially made canal along the street, it would have been projected on the north profile of trench IX. Instead, there is a cross-section of a deposit of fine sediment contained in the space between wall IX_W_1 and the street, at the same level as VIII_2. It contains very little coarse particles and it is slightly darker than the greyish-brown sediment, VIII_2, in which the building remains from the last construction phase were buried. The number of artefacts found is small, but they are well-preserved. These include a few stone-blocks and large tile fragments. It is still uncertain if this material has tumbled from the building west of the street or if it belongs to the earlier building horizon, recorded in trench X.

The layer of greyish-brown sediment, VIII_2 or IX_3 has an average thickness of 12 to 20 cm. This layer is preserved on nearly all profiles in this group of trenches. In trench X it gradually loses its intensity and thins out towards the east profile of this trench. West of the street, there are not any building remains that can be associated with this horizon. However, on the south and west profile in trench XI, at the same depth at which the remains from the earlier building phase were found, there is a five to seven cm thick layer of very coarse composition, mostly sand and pebbles, XI_4. It underlies the layer of greyish brown sediment (Figure 22, here XI_5) and bears the signature of the substruction layers observed in trenches II, IV and V. The extent to which the buildings from the last building phase have cut into the underlying layer is in full sight on the south profile of trench XI. Like in trench X, the bottom-surface of the pavement blocks lie only about ten cm above the substruction level of the earlier building phase. The substruction layer XI_4 was discovered approximately 40 cm below the surface, but it gradually sinks towards the west cross-section of trench XI.

In test-pits IX and X, the earlier building horizon, IX_3, rests on a layer of dull-reddish clay that contains very few artefacts and is indistinct from the local bedrock. However, in trench XI, this building horizon rests on a layer of fine, loose sediment, XI_3. It consists of a greyish, clayey earth, mixed with clods of reddish clay and large quantities of bone, pottery and burnt debris. This layer spreads over parts of trench IX and continues beyond its north profile, but it is not as thick as in trench XI and contains very few artefacts, IX_2.

The substruction layer of this phase of occupation is partly preserved on the south profile of trench XI. It was discovered at a depth of 60 cm. This layer has a thickness of three to four cm and, like XI_4, it consists mostly of coarse particles. It also descends gradually towards west and is not projected on the west profile of this trench.

сонда XI може да се следи тенок слој што содржи поголемо количество песок, чакал и ситен камен, XI_4, и го претставува нивото на субструкција на овој хоризонт. (Слика 22, тука XI_5=IX_3) На јужниот профил од оваа сонда, јасно се гледа во колкава мера градбите од подоцнежниот градежен хоризонт наседнале врз слојот сиво-кафеава земја. Тука долната површина на блоковите од плочникот лежат само на десетина см над нивото на субструкција од постариот хоризонт. Тоа се јавува на релативна длабочина од нешто над 40 см и постепено тоне во западен правец.

Во сондите IX и X, - со исклучок на тесниот простор помеѓу ѕид IX_W_1 и улицата - под хоризонтот IX_3 се најде на стерилен, светлоцрвен глинец. Но во сонда XI, овој градежен хоризонт налегнува врз нов слој полнетица, XI_3. Тој се одликува со светлосива боја и добра компактност и содржи големо количество на керамички фрагменти, гареж, коски, како и грутки црвеникава глина. Има приближно иста дебелина со претходниот слој, која варира помеѓу 15 и 20 см. Овој слој само делумно продолжува во сонда IX. Тој постепено се губи во слојот компактна светлоцрвеникава здравица измешана со бели грутки глина.

Но во сонда XI и под овој хоризонт се издвојува ниво на субструкција, XI_2. Тоа е сочувано само на јужниот профил од оваа сонда, на релативна длабочина од околу 60 см. Има мала моќност од 3-4 см, а се состои од големо количество песок и ситен чакал. Пред западниот раб од јужниот профил, тој тоне и се стопува со стерилниот слој, па не е застапен на западниот профил од сондата.

На истото ниво, но покрај северниот профил од сонда 9, на просторот помеѓу улицата и ѕидот IX_1, се разоткри горниот раб од јама со неправилна овална форма. Има приближни димензии од 70 на 50 см. (Слика 23) На северниот профил од сонда 9 се забележува дека јамата била вкопана во стерилен слој, IX_1, под нивото на IX_2 односно XI_3, кој тука одново се јавува на длабочина од околу 50 см. Јамата беше исполнета со светлосив, посен седимент, кој освен малото количество керамика и гареж не даде други наоди. Длабока е нешто над 30 см.

Најстариот населбински хоризонт на просторот од овие сонди е слабо сочуван, главно во негативни појави под нивото на здравицата во сонда XI, односно под котата од 342.5 метри н.в. На јужниот профил на оваа сонда се издвојува засебен хоризонт, што се одликува со интензивна црвеникава боја и зголемено присуство на бели грутки глина, XI_1a. Има максимална дебелина од 8 см и незабележително се стопува со стерилниот слој, на релативна длабочина од околу 70 см. На нивото

At the same level, but by the north profile of trench IX, between the street and the wall, the excavations revealed the rim of an ovoid pit. Because it continues underneath the north profile, its dimensions were established approximately. The rim diameter measures 70 by 50 cm. (Figure 23) This pit is cut into sterile rock and it is covered by IX_2. The pit is filled with fine, greyish sediment that contains a handful of ceramic fragments and ashes. It is at least 30 cm deep.

The earliest occupation horizon in this trench is poorly preserved. It survives mostly in negative features, pits and natural depressions. They lie below bedrock level, discovered at about 342.5 meters above the sea. A layer of compact, red clayey sediment, interspersed with white clods of clay, XI_1b, is visible on the south profile of trench XI. It has a thickness of seven to eight cm. Because of its colour and texture, it cannot be distinguished from the local bedrock. However, it does contain small amounts of artefacts and burnt remains, which are probably extracted from a deposit of greyish compact sediment limited to the central parts of this trench, XI_1a. It has a sub-rectangular shape and continues beyond the west profile of trench XI and under the street. Because of its colour and texture it stands out clearly from the surrounding red bedrock. A semi-circular patch of dark-grey earth appeared by the west profile of this trench. (Figure 24) We suspect that this is yet another pit. The whole context strongly resembles the situation encountered in trench IV, in which the earliest occupation levels were discovered in features cut into the local bedrock. Because a relatively large segment of this deposit continues beyond the western limit of trench XI, it was necessary to extend the excavations in this direction. But having run out of time and funds, the excavations were halted at this level.

The situation revealed in trench XI serves to demonstrate just how rapidly the stratigraphy can change at multiperiod sites. There were not any pre-Roman layers in the area covered by trenches VIII through X and even loose pre-Roman finds were extremely rare. Only 6 or 7 fragments that can be dated to the pre-Roman period were found in these three trenches. To be sure, pre-Roman layers were also absent in trench II but, in this trench, pre-Roman finds represented nearly 20% of all ceramic fragments and this high percentage is a sure sign that they are derived from disintegrated archaeological strata. In trench XI, only two or three meters away from trenches VIII-X, the stratigraphy is twice as deep as in the neighbouring trenches and the pre-Roman horizons are well-preserved on the profiles. These abrupt discontinuities in the archaeological strata cannot be always related to the destructive agency of subsequent building activities. The small number of pre-Roman finds discovered in trenches VIII-X suggests that this

на овој хоризонт, во централниот дел од сондата се појави флека со правоаголна форма, која продолжува под плочникот на улицата и под западниот профил на сондата. Се работи за седимент со сивкаста боја и добра компакност, кој лесно се двои од локалната глинеста карпа XI_1b. Кон западниот раб од сондата се забележува и зона со приближно кружна форма, исполнета со земја со темносива боја. (Слика 24) Мошне веројатно е дека ова е горната површина од јама, кој му припаѓала на најстариот населбински хоризонт. Таа навлегува под западниот профил на сондата и за нејзино целосно дефинирање, беше неопходно да се прошири сондата кон запад. Поради недостиг од време, на ова ниво се сопре со работа.

Ситуацијата откриена во оваа група сонди убаво илустрира колку драстично може да варира стратиграфијата на повеќеслојни населби, дури и на мал простор. На просторот покриен со сондите VIII до X, предримски хоризонти речиси и да не беа пронајдени. Отсуствуваа дури и поединечни наоди – од целиот овој простор вкупно беа собрани 6 или 7 фрагменти керамика што може да се определат како предримски – што не беше случај во сонда II на пример, каде што предримските наоди претставуваа и до 20% од вкупниот број датирани фрагменти. Во сонда XI, на растојание од одвај 2-3 метра, стратиграфијата наеднаш двојно се продлабочува и беа пронајдени добро сочувани предримски хоризонти. Сметаме дека овие разлики, односно отсуството на предримски слоеви во одредени сонди не може секогаш да се поврзе со градежните активности од подоцнежните епохи. Според мошне малото количество на наоди собрани од просторот на сондите VIII-X, тука предримскиот хоризонт, доколку воопшто постоел, бил прилично слаб.

Ваквите драстични промени во стратиграфијата на мал простор особено ја отежнуваат директната споредба на резултатите од ископувањата со оние добиени од систематското рекогносцирање на теренот. Со оглед на тоа што сондите се поставени вон мрежните единици по кои беше собиран површинскиот материјал, не може да се претпостави дека стратиграфијата на локации во и вон мрежите се идентични, без разлика на тоа колку блиску се поставени.

Последниот населбински хоризонт во оваа група сонди се совпаѓа со последниот хоризонт констатиран во сондите II, IV и V и стратиграфски и во однос на пронајдениот материјал. Тој датира во доцноантичката епоха. Бидејќи неговите темелни партии се плитко под површината, овој хоризонт е во голема мера растурен и нормално е што доминира помеѓу површинскиот материјал.

part of the terrace was uninhabited in the period prior to the Roman conquest.

These dramatic changes in the stratigraphy of Vidin Grad pose a serious challenge to our attempt to make a direct comparison between the composition of the ceramic record collected during the excavations and the surface survey. Because most of the trenches are located outside the survey grids, the assumption that the stratigraphy is uniform in both the trench and the grid unit is highly tentative, regardless of the proximity between these units.

The last phase of occupation recorded in trenches VIII-XI coincides, both stratigraphically and in view of the character of the finds, with the last building horizons revealed in trenches II, IV and V. It too dates to Late Antiquity. Because the foundation level lies very close to the surface, this layer has suffered major disturbances from mechanized cultivation and the finds from this horizon prevail in the surface record.

Over 90% of the finds recorded in the layer of greyish-brown sediment cut by the last building horizon also date to Late Antiquity. (X_2 in Graph 6, XI_5 in Graph 7) It is impossible to discern any significant differences in the distribution of individual fabric groups between this layer and the overlying top-soil. This is unsurprising knowing the stratigraphic relationship between these two layers, but the uniform distribution of the fabric groups suggests that the interval between the two phases was brief. This building phase is represented by the cluster of building rubble discovered in trench X. It continues underneath the street pavement and, probably, beyond the northern edge of the excavated area. Little can be said about this building phase, apart from the remark that, at least in this part of the site, it has been completely disregarded during the last phase of construction.

This building horizon lies at the same depth as the first building horizon in trench V, V_2. However, whereas pre-Roman finds are well represented in this trench, in trenches IX and X, there are only a handful of ceramic fragments datable within this broad chronological range and only one or two that can be dated to specific periods. If both its stratigraphic position and the character of the ceramic finds are considered, it makes more sense to link this phase to the second building horizon in trench II, albeit the foundation level of the latter was revealed at a greater depth.

The fabric groups identified among the material from the oldest building horizons in trench II, dated tentatively to the Late Hellenistic and the period of the High Empire, are absent in trenches VIII-XI. Over a large segment of the excavated area, the Late Roman horizons were founded directly on bedrock. On the other hand, the older horizons discovered in

Всушност, не треба да се исклучи можноста дека во одредени случаи не се сочувале ниту темелните партии од оваа градежна фаза. Тешко може да се даде поинакво објаснување за прекилот на сид IX_1 на просторот јужно од сонда IX.

И во слојот сиво-кафеава земја доминираат наоди што може начелно да се датираат во доцната Антика. (X_2 во Графа 6, XI_5 во Графа 7) Не може да се забележи ниту најмала разлика во распоредот на фактурните групи помеѓу горните два слоја. Точно е дека слојот сиво-кафеава земја мора да е во голема мера контаминиран со наоди од подоцнежната градежна фаза, но симптоматично е тоа што од овој хоризонт не може да се издвои ниту една засебна фактура. Зоната на градежен шут што навлегува под источниот раб од улицата сведочи дека и во оваа постара фаза било градено од цврст материјал, но слабиот степен на сочуваност на остатоците не дозволува да се каже нешто повеќе. Според релативната длабочина, овој слој се совпаѓа со постариот хоризонт во сонда V, но тука предримските наоди беа далеку присутни отколку во сондите IX и X. Според карактерот на керамичките наоди, овој хоризонт многу повеќе соодветствува со претпоследниот градежен хоризонт од сонда II, иако во оваа сонда темелните партии се на нешто поголема релативна длабочина.

Во сондите VIII-XI не се застапени наоди или хоризонти што може да се датираат во раноцарскиот период. На голем дел од оваа површина постариот доцноантички хоризонт е фундиран директно врз здравица. Постарите населбински хоризонти кои беа откриени во дел од сонда XI и кои се прилично добро сочувани, дадоа материјал што со голема сигурност ги датира во хеленистичката, или најрано, раноантичката епоха. (Графа 7) Нема доволно индикативни фрагменти за да се предложи попрецизно датирање на овие слоеви. Во основа, потребна е голема доза на воздржаност од причини што ископувањата во оваа сонда не беа целосно завршени.

Западни тераси, сонди XII-XIV

Со цел да го утврдиме правецот на протегање на улицата откриена во претходната група сонди, на околу 12 метри северно од сонда VIII, во рамките на истата парцела, беше отворена низа од три сонди, поставени напречно на претпоставениот правец на улицата. Броено од исток кон запад, ова се сонди XII, XIV и XIII. Овие сонди се наоѓаат на околу 50 метра југоисточно од западниот влез во населбата и претпоставуваме дека некаде во нивна близина, улицата откриена во сонда VIII се

trench XI, arguably the least disturbed deposits in the excavated area, produced a rich and compact ceramic assemblage that can be dated to the Early Antique and Hellenistic periods. (Graph 7) Obviously, the possibility that the lowest horizon encountered in trench XI contains Iron Age material cannot be excluded, but considering the complete absence of this material in the upper strata, this seems unlikely.

Western terraces, test-pits XII-XIV

Another three trenches were opened approximately 12 meters north of trench VIII, within the same land-block. They were aligned in a row, perpendicular to the supposed line of the street. The purpose of these trenches was to confirm or reject the idea that the street discovered in the previous group of trenches followed the longitudinal axis of the westernmost terrace. From east to west, these are trenches XII, XIV and XIII. They are located about 50 meters southeast of the western gate of the settlement. It was hypothesized that the street discovered in trenches VIII-XI joined the main thoroughfare that connects the west and east gates of the settlement somewhere in the vicinity of these trenches.

However, our expectations were quickly failed. None of the three trenches produced a positive outcome. Not a single flagstone was discovered that could be related to a street pavement. Trenches XII-XIV are located a short distance from the segment of the street revealed in trench VIII and they form an arc of 20 degrees around the centre of trench VIII. There are two or three possible explanations for the elusiveness of this street. At present, the most acceptable is the possibility that the street made a gradual north-east turn and passed a few meters of the easternmost trench XII. If we are correct in assuming that this was the main street on the westernmost terrace, then it must have turned northwest after crossing the main east-west street of the settlement. Somewhat less likely is the explanation that this segment of the street has been completely demolished by ploughing and the cobbles removed and used elsewhere. There were also doubts if this pavement was really a segment of a street, but its shape, dimensions and building technique leave little room for alternative interpretations.

The stratigraphy in all three trenches is shallow, implying that there were no major buildings in this part of the site. The deepest stratigraphy was recorded in trench XII. (Figure 25) Typically for this site, the top-soil horizon, XII_4, is about 20 cm thick. It covers a light-brownish sediment with a relatively coarse composition, XII_3. It contains average quantities of sand and pebbles, a few building blocks and almost two-thirds of all finds discovered in this trench. Its thickness ranges between 15 and 20 cm and it can

вкрстувала со главната сообраќајница што водела по надолжната оска на населбата.

Набргу се покажа дека овие сонди нема да ја постигнат зацртаната цел. Остатоци од плочникот не беа пронајдени во ниту една од трите сонди. Не беше пронајден ниту еден единствен блок што би можел да биде дел од калдрмата. Сондите беа поставени на мошне кратко растојание од делот на улицата откриен во сонда VIII и покриваа појас во широчина од околу 20 ступена од средината на плочникот. Во моментот прифатливи се две или три објаснувања. Како најверојатна се чини можноста дека улицата постепено скршнувала кон североисток и поминувала на неколку метра источно од сонда XII. Доколку е точна претпоставката дека оваа улица ја опслужувала најзападната тераса од населбата, таа би требало да скршнува кон северозапад, некаде по вкрстувањето со главната надолжна сообраќајница. Помалку веројатно е дека остатоците од улицата биле целосно збришани откако населбата била напуштена, барем од просторот покриен со оваа група сонди, но оваа можност не може целосно да се отфрли. Во еден момент, се појавија и сомнежи дека се работи за улица, но формата, димензиите и начинот на кој бил изведен плочникот оставаат мошне малку простор за поинакви толкувања.

Во сите три сонди се наиде на плитка стратиграфија, што укажува дека на овој дел од теренот немало голема концентрација на цврсти градби. Најдлабока стратиграфија беше откриена во сонда XII. (Слика 25) Тука под хумусниот хоризонт, XII_4, со стандардна дебелина од околу 20 см, се разоткри слој со нешто посветла или светлокафеава боја и прилично груба текстура, XII_3. Содржи средно количество песок, чакал и ситен камен и речиси две третини од вкупниот број на керамички фрагменти пронајдени во оваа сонда. Има моќност од 15 до 20 см, и може да се следи на сите профили од сондата. Според стратиграфската положба, тој соодветствува со претпоследниот градежен хоризонт на овој локалитет, односно со слојот во кој биле вкопани улицата и градбата на која ѝ припаѓал сид IX_W_1. Невозможно е да се каже дали материјалот содржан во овој хоризонт потекнува од подоцната градежна епоха или се наталожил во исто време како и слојот светлокафеава земја. Веднаш под овој хоризонт, се јавува тенок слој светлоцрвена глина со голема компактноста и фина текстура, XII_2. Има максимална дебелина од околу 10 см, и тоа на западниот профил. На јужниот профил, овој хоризонт мери одвај неколку см. Содржи мало количество керамика и постепено преоѓа во стерилна глинеста карпа.

is preserved on all profiles. Stratigraphically, it corresponds to the penultimate building horizon at this site, the layer cut by the buildings from the last major phase of construction. It is impossible to decide if the finds in this layer are later intrusions or contemporary to its formation. Underlying this horizon is a thin layer of reddish clay, with fine composition and great solidity, XII_2. It has a maximum thickness of ten cm, measured on the west profile, but it is only a few centimeters thick on the south profile. Only a handful of ceramic fragments were found in it.

A sub-rectangular pit was discovered in the north-west corner of this trench. It is cut in the sterile clay, 50 cm below the surface. Because it crosses the south and west profiles, it is impossible to establish its approximate dimensions. The unearthed segment of this pit measures 40 by 30 cm. It contains a fine greyish sediment, XII_1, in which only a piece of slag and a few unworked stones were found. It is slightly over 20 cm deep.

The same archaeological stratigraphy was discovered in trenches XIII and XIV, albeit much shallower than that documented in trench XII. (Figure 26) Underlying the top-soil, XIII_3, is a layer of sandy, greyish-brown sediment, XIII_2. It has a maximum thickness of 15 cm. on the north profile, but on the west and south profiles, it is undistinguishable from the top-soil horizon. Like in trench XII, most of the ceramics from these trenches was found in this layer. But the paucity of building debris and the low quantity of ceramic finds, 29 fragments in both trenches, are sure signs that this was not a part of the settlement's built-up area. A small number of finds were discovered embedded in the light-reddish clay at the bottom of these trenches, but there is no evidence of an earlier settlement phase.

The foundation layer of the last building horizon at this site is represented in the stratigraphy of all three trenches, and this is the only archaeological layer in trenches XIII and XIV. The material collected from these trenches is the same as that discovered in the upper strata in trenches VIII-XI, II, IV and V. In all three trenches, over two-thirds of all ceramic finds are Late Roman. (Graph 8) This applies even to the earliest horizon in trench XII, which casts a doubt over its integrity as a distinct archaeological layer. About 15% of the total ceramic record from all three trenches can be dated to the pre-Roman and, most probably, the Hellenistic period. The remaining finds cannot be assigned even to very broad chronological terms. Most of the pre-Roman finds were found in the sandy, greyish-brown horizon, not in the underlying reddish clay. This material is likely derived from disturbed deposits, located near this group of trenches.

На ниво на здравица, во северозападниот агол на сондата се појави јама со приближно правоаголна форма. Конечните димензии остануваат непознати, бидејќи таа продолжува под западниот и северниот профил на сондата. Во делот откриен во сонда XII, мери околу 40 на 30 см. Исполнета е со фино просеана земја со сивкаста боја, XII_1, и освен неколку необработени камења и едно парче згура, речиси е стерилна. Длабока е околу дваесетина см. На останатиот дел од сондата, стерилниот слој се откри на релативна длабочина од околу 50 см.

Во сондите XIII и XIV беа откриени уште поскромни траги од живеење, иако во принцип стратиграфијата останува иста како и во сонда XII. (Слика 26) По отстранувањето на хумусната покривка, XIII_3, која ја задржува дебелината од близу 20 см, се појави песокливиот слој сиво-кафеава земја, XIII_2, чија моќност во овие сонди не надминува 15 см. Најдобро е сочуван на северниот профил, додека на останатите, нема јасно изразена граница со хумусниот хоризонт. Како и во сонда XII, најголем дел од наодите доаѓаат од овој слој, иако нема никакви архитектонски остатоци, ниту од слаби градби. Отсуството на градежен шут, како и малиот број на наоди, вкупно 29 фрагмента и во двете сонди, се сигурни показатели дека овој дел од теренот не бил населен. Сосема мал број на наоди беше откриен во површината на слојот светло-црвеникава глина, XIII_1, но во случајов, не може да се издвои засебен постар хоризонт.

Во стратиграфијата во сите три сонди е застапен слојот во кој бил вкопан последниот градежен хоризонт, и ова е единствениот културен слој на просторот на сондите XIII и XIV. Ова го потврдува и составот на керамичкиот материјал, кој е идентичен со оној откриен во горните археолошки слоеви во останатите истражени сонди. Всушност, процентот на доцноантички наоди во овие сонди не паѓа под 60% во ниту еден од издвоените археолошки хоризонти. (Графа 8) Дури и во најнискиот слој црвеникава глина во сонда XII, две третини од наодите може да се определат како доцноримски. Нешто над 15% од материјалот може рамковно да се смести во хеленистичкиот период, додека останатите не може да се определат ниту во груби временски рамки. Значајно е да се забележи дека речиси сиот хеленистички материјал доаѓа од слојот сиво-кафеава, песоклива земја. И во тенкиот слој светлоцрвеникава глина во сонда XII, преовладуваат доцноримските наоди, па во таа смисла ниту овој слој не може да се издвои како засебна населбинска фаза. Сосема можно е малубројните предримски наоди да потекнуваат од растурени целини во непосредна близина на овие сонди.

Conclusions

The beginnings of the settlement at the site of Vidin Grad reach back to the Late Iron Age, a period represented by a small corpus of finds discovered in trench II and on the surface in the central parts of this site. However, in view of the small number of finds from this and the subsequent, Early Antique period, and the absence of distinct cultural horizons that can be associated with these periods, the earliest settlement at Vidin Grad was either very small or this was a site of a different function and character. Vidin Grad became a fully-fledged settlement of urban or urban-like character at the onset of the Hellenistic period. By then, most of the terraces of this site had been occupied and the settlement spread beyond the line of the outer eastern wall. (Map 2) In a study published in an earlier issue of this journal, it has been observed that the perimetral walls of Vidin Grad and the main entrances into the settlement in particular, have a number of formal parallels among Hellenistic fortifications in the Aegean and throughout the Hellenized parts of the Balkan Peninsula.²¹ Understandably, we are still not in position to propose a definite date for the construction of these walls, but the results of the stratigraphic excavations in conjunction with those from the ceramic survey have ascertained the existence of a sizeable settlement at this site in the Hellenistic period. Hellenistic material was discovered in most of the trenches with preserved archaeological stratigraphy, including areas in which Hellenistic and pre-Roman material in general is underrepresented in the surface record. This implies that the settlement reached its maximum extent at an early stage in its development. The discovery of a Hellenistic phase in trenches II, V, VII and XI, on the central and western terraces, has dispelled the ideas that the pre-Roman settlement had a dispersed plan or that it was located slightly to the east of the centre of the later settlement and is therefore, eccentric to the walled perimeter. The low quantities of pre-Roman finds on the surface in these sectors of the site reflects the local stratigraphy and, more specifically, the presence of large buildings from later periods, not the variable extent of this settlement through time. The ubiquity of Late Roman finds in the surface record leads to the erroneous conclusion that the core of the settlement dates to this late period. We have seen that this is preconditioned by the stratigraphic position of the Late Antique horizons, modern cultivation practices and the agency of soil erosion.

The lower archaeological strata at Vidin Grad are likewise in a poor state of preservation. Most typically, the foundations of buildings from later periods of

²¹ Donev 2020a.

Заклучок

Самите почетоци на населбата на локалитетот “Видин Град“ може да досегаат и до Полното Железно време, кога може да се датираат мал број наоди откриени во сонда I и особено во сонда II, во централните делови од локалитетот. Но ако се суди според малиот број на наоди што се сочувале од оваа, па и од наредната раноантичка епоха, како и според отсуството на археолошки слоеви кои може да се поврзат со овие епохи, “Видин Град“ во тоа време или бил сосема мала населба или локалитет од поинаков карактер. Тој прераснува во позначајна населба од градски или полуградски карактер некаде во хеленистичката епоха, веројатно на самите нејзини почетоци, кога сигурно било населено источното предградие и највисоката западна тераса, а мошне веројатно и централните тераси од населбата. (Мапа 2) Ова не му противречи на датирањето на одбранбените бедеми на “Видин Град“, засновано врз формалните одлики на планот на главните влезови, што беше предложено во една претходна студија.¹⁶ Хеленистички материјал беше пронајден во најголем дел од сондите во кои се сочувала културната стратиграфија, дури и во оние делови од теренот на кои предримските епохи беа слабо застапени помеѓу површинскиот материјал. Тоа е показател дека населбата го достигнала својот максимален обем веќе во хеленистичката епоха, со што се потврдија сомнежите дека слабото присуство на предримски наоди од централниот дел на локалитетот е резултат на карактерот на градбите што биле подигани во јадрото на населбата, а не директен одраз на нејзиниот развоен пат. Доминантноста на доцноантичките наоди помеѓу површинскиот материјал наведува кон погрешен заклучок дека јадрото на населбата главно потекнува од оваа епоха. Сондажните ископувања покажаа дека силната застапеност на оваа фаза на површината е само одраз на нејзината стратиграфска позиција, како и дејствието на природната ерозија кое условило мошне бавно формирање на почвена покривка врз остатоците од последната населбинска фаза. За период од повеќе од еден и пол милениум, се напластиле сè на сè 20 см хумусна покривка, која во голем дел е деривирана од материјалот наталожен во текот на последната населбинска фаза.

¹⁶ Донеv 2020; со тоа што во цитиранава студија се посочуваат паралели за одбранбените ѕидови што датираат во поодмината епоха на Хеленизмот, период во кој населбата се повлекла на помала површина во рамки на оградениот простор.

occupation were dug into earlier layers. As a consequence of this practice, large quantities of material from these layers are incorporated into the upper horizons and the original layers are disturbed, diminished and, in some instances, completely devastated. It is mostly thanks to this destructive process that the early phases of occupation are well-represented among the surface material. Only in those parts of the settlement in which earlier horizons are sealed under large buildings from later periods of occupation is this material underrepresented or absent from the surface record. Hence, the unusual distribution of pre-Roman finds, with density peaks in the peripheral segments of this site, is not necessarily an artefact of our misclassification of certain ceramic categories, but a reliable indicator that, in these areas, the early settlement was more extensive than its successors. In the same vein, the intermittent distribution of pre-Roman finds on the surface of this site cannot be read as evidence of the dispersed plan of the early settlement. This distribution results from the stratigraphic position of the deposits from the early phase of occupation and does not reflect the topography of the early settlement. Most of these remains are preserved in localized, secondary deposits that do not form a continuous layer. The chances that the material from these deposits finds its way on the surface is inversely proportional to its state of preservation. The greater the degree of disturbance, the greater the chances of finding this material on the surface.

On the negative side, because of these processes, it is impossible to say anything concrete about the topography of the Hellenistic settlement at Vidin Grad, and still less about its predecessors. Nearly all vestiges from the Hellenistic period were discovered in negative features, most commonly pits cut into bedrock, or redeposited in the foundation layers of later periods. Only in parts of trenches I, IV and XI did we come across undisturbed pre-Roman horizons. In trenches IV and XI, it was possible to distinguish two or three discrete phases of occupation, which implies that the pre-Roman settlement developed over a longer time-period. Unfortunately, this does not bring us any closer to determining the absolute dates of this phase. At this moment, the only certainty is that the settlement had been fully established by the beginning of the Hellenistic period. It is much more difficult to propose a terminal date for this phase. The scarcity of finds that can be dated to the Late Hellenistic or the Hellenistic-Roman period – most typically, pottery covered with poor black slip or molded Hellenistic cups – seem to suggest that, in the first centuries after the Roman conquest, the settlement at Vidin Grad shrank and was limited to the central terraces of this site. This has already been hinted at by the results of the ceramic survey, and

Од слични причини мошне слабо е сочуван и предримскиот хоризонт на оваа населба. Во сонда II и V на пример, градбите од подоцните градежни фази биле втемелени во постарите слоеви, кои се наоѓале плитко под површината, при што материјалот бил извлечен во новиот хоризонт, а изворниот слој бил силно редуциран или сосема разнесен. Токму благодарение на овој деструктивен процес, постарите наследбински фази се добро застапени во површинскиот материјал. Само на оние делови од локалитетот на кои во подоцнежните епохи биле изградени поголеми објекти или каде што остатоците од постарите хоризонти биле изнивелирани и запечатени под новото ниво на живеење, овој материјал е слабо застапен на површината или воопшто го нема. Оттука и необичниот распоред на површинскиот материјал од предримската епоха, чија концентрација се зголемува на некои периферни делови од локалитетот, не е никаква аномалија туку показател дека на овие места предримската населба била поголема од нејзините наследници. И тоа што предримскиот материјал често се јавува дисконтинуирано на површината не е одраз на разбиениот карактер на оваа населбинска фаза, туку на фактот што тој е често сочуван во локализирани, секундарни депозити, сочувани до различен степен.

Негативните последици од овој процес се очигледни. Многу малку може да се каже за хеленистичката населба на “Видин Град“. Речиси сè што е сочувано од оваа епоха беше пронајдено во негативни појави, јами, или во темелни нивоа, најчесто преработени во некоја подоцнежна градежна фаза. Само во делови од сондите I, IV и XI беа пронајдени недопрени предримски хоризонти во чии рамки можеа да се издвојат барем две или три одделни фази. Тоа значи дека населбата опстојувала во текот на еден подолг временски период пред римското освојување. Сепак, ова сознание не ни помага попрецизно да ги определиме апсолутните термини на оваа фаза. Во моментот може само да се констатира дека населбата веќе била целосно оформена на самите почетоци на хеленистичката епоха. Крајот на оваа фаза е потешко да се утврди. Сосема малото количество наоди што може да се датираат во хеленистичко-римскиот период – на пример, керамика пресвличена со посен црн фирнајз – наведува кон помислата дека во периодот непосредно по основањето на римската провинција, оваа населба продолжила да живее во доста намален обем. Речиси сите фрагменти што може да се сместат во овие временски рамки доаѓаат од централниот дел од населбата. Ова го покажа и систематското собирање на површински материјал и ископувањата во сонда II. На останатите делови од локалитетот кои биле населени во хеле-

it is now confirmed by the stratigraphic excavations on the central terrace. Outside the central terraces of Vidin Grad, Late Roman horizons lie directly on top of the pre-Roman layers.

The period of the High Empire is also represented by a small number of recognizable fragments collected from a limited area of this site. Red-slip fragments were almost exclusively found in trench II and on the surface in the central parts of the site, the same area in which Late Hellenistic material is represented. Of course, Red-slip pottery continues into the Late Roman period and the presence of this broad category does not offer a secure base to infer the existence of an Early Imperial phase. However, in trench II, like in the surface collections from the central terraces, this material appears alongside fabric groups that are not represented among the material from the pre-Roman or Late Roman horizons. These fabrics have a number of characteristics, pale ochre or light brown, soapy paste of medium hardness, that distinguish them from the pottery of earlier and later periods. They are attested both among fine and coarse ware specimens and point to the presence of a distinct phase of occupation with a full ceramic assemblage rather than isolated fabric groups.

Unfortunately, these layers were also considerably damaged during later phases of construction, mostly by the levelling of building remains and the recycling of building material. This is particularly evident in the case of the building with a pavement, discovered in the earliest building horizon in trench II. Both its place in the stratigraphy of this trench and the character of the ceramic material date this building horizon to the period of the High Empire.

Most of the finds that can be dated to the period between the Roman conquest and the end of the High Empire are concentrated in a small area in the central parts of the site, covered by grids 4 and 5, and in smaller and isolated clusters on grid 3 and 8. (Map 3)²² This is an area of three to four hectares or approximately half the size of the pre-Roman settlement. This contraction of the settlement's built-up area cannot be ascribed solely to the political instability that plagued the wider region of the central Balkans at the time of the wars between Rome and Macedon and that lingered on into the following cen-

²² The incidence of these categories of material on the surface of the western terraces was not confirmed during the stratigraphic excavations. In view of the size of the excavated area on the westernmost terrace, this material has likely been brought to the surface from localized, disturbed deposits, mostly concentrated on grid 8. The land block by the outer western wall, or at least its southern half, was not occupied in the Late Hellenistic and Early Imperial period.

нистичкиот период, над овој хоризонт директно налегнале слоеви кои содржат претежно доцноантички материјал.

И раноцарската епоха е застапена со мошне мал број на индикативни примероци. Фрагменти пресвечени со црвен фирнајз беа пронајдени речиси исклучиво во сонда II – и тоа во релативно голем број – и од површината во централните делови од локалитетот, приближно во истите просторни рамки во кои беше застапен и хеленистичко-римскиот материјал. Тука значајно е да се напомене дека керамиката пресвечена со црвен фирнајз продолжува да се јавува и во периодот на доцната Антика, па таа, само по себе, не е сигурен индикатор за постоење на раноцарска фаза. Меѓутоа, заедно со овој материјал се јавуваат и фактурни групи што не се сретнуваат ниту во предримските ниту во доцноантичките хоризонти. Се работи за фактури што се одликуваат со меко печење, висока порозност и бледоокераста или светлокафеава боја на тестото.¹⁷ Ваквите одлики на керамиката се карактеристични како за фината, така и за огнишната или складишната керамика. Со други зборови, на овие локации е присутен културен хоризонт кој се одликува со полн керамички репертоар, не само изолирани примероци.

За жал, и овие хоризонти ја доживеале истата судбина како и нивните претходници, со тоа што тие не биле само користени како темелни нивоа за подоцните градежни фази, туку и како извор на готов градежен материјал. За ова сведочи состојбата во која беше затекнат плочникот кој му припаѓал на објектот претставен со сид II_W_1. Овој сид и според стратиграфската положба и според концентрацијата на одредени фактури и фактурни групи, може да се смести во раноцарската епоха.

Ако се погледне распределбата на овие категории керамика на површината, ќе се забележи дека тие се концентрирани на една релативно мала површина во централниот дел од локалитетот, покриен со мрежите 4 и 5, и помали групации на мрежите 3 и 8. (Мапа 3)¹⁸ Се работи за максимална површина од 3-4 хектара, одвај една половина од некогашната површина на населбата. Ова драстично намалување на површината не може да се доведе исклучиво во врска со нестабилноста што

¹⁷ Види заб. 10.

¹⁸ Последниве не беа потврдени со сондажните ископувања на западната тераса. Со оглед на тоа што во овој дел од локалитетот беше истражена поголема површина, може да се заклучи дека овој материјал потекнува од дискретни, локализирани слоеви, главно концентрирани на мрежа 8. Парцелата покрај самото западно обзидие, барем нејзиниот јужен крај, не бил населен во хеленистичко-римската епоха.

туры and a half. After all, the settlement at Vidin Grad was not much larger during the peaceful and prosperous period of the High Empire. Far more convincing is the explanation that the rise of Stobi, a town that was flourishing by the time of Augustus, had sapped the demographic and economic substrate of the settlement at Vidin Grad.²³ These two settlements are located only seven to eight kilometers apart and the growth of the one would have been possible only at the cost of the other. In this case Stobi, thanks to its strategic position and the privileged status achieved by the end of the first century AD, outcompeted the settlement at Vidin Grad, which did not have any privileged status and was located off the main regional roads. Nonetheless, if the remains of architecture discovered at the bottom of trench II are of any relevance, it can be concluded that the Late Hellenistic to Early Imperial settlement at Vidin Grad did retain its urban appearance, despite its small size and inferior role in the regional urban network.

The observed decline or, more precisely, the decreased size of the settlement at Vidin Grad after the Roman conquest is not an incident of local history. This settlement follows a major regional trend, observed throughout the Hellenized parts of the Balkan peninsula and beyond.²⁴ It was particularly pronounced in old Illyria, Epirus and Achaëa, regions in which minor poleis located in agriculturally marginal and remote areas either lost their urban character or were abandoned after the Roman conquest.²⁵ This was not the outcome of some deliberate policy implemented by the Roman conquerors, but a spontaneous process of centralization in which the well-to-do of local society flocked into a small number of urban settlements that enjoyed better connectivity with the main regional centres and certain legal privileges.

In Late Antiquity, the settlement at Vidin Grad went through another phase of expansion. Interestingly, whether by chance or design, the walled and built-up area of Stobi also shrank at this time.²⁶ With the exception of trenches I and VII, in which Late Roman material comprises a very small fraction of the finds, this period was attested in all trenches with preserved archaeological stratigraphy. In fact, even the absence of Late Roman building horizons in these two trenches cannot be extrapolated to their respective districts. This is obvious in the case of trench VII. The paved street in trench VIII, flanked by a

²³ Mano-Zisi, Wiseman 1971.

²⁴ Donev 2020b; for similar developments in Sicily, see De Ligt 2020.

²⁵ Shpuza 2009; Alcock 1993.

²⁶ This does not necessarily amount to social and economic decline. In fact, Stobi was promoted to a provincial capital in Late Antiquity, Papazoglou 1988.

го зафатила овој простор во времето на римските освојувања и која продолжила во првиот век и пол по основањето на римската провинција Македонија. Населбата продолжила да живее во намален обем низ целиот период на раното Царство, кога општествените околности биле многу поповолни. Далеку поуверливо се чини објаснувањето дека подемот на Стоби, кој зема замав веќе од времето на Август, во голема мера ја стеснил демографската и економската подлошка на населбата кај Видин Град.¹⁹ Овие две населби биле поставени на меѓусебно растојание од само 7-8 км и сосема разбирливо е што развојот на едната бил можен само на сметка на другата населба. Во случајов Стоби, благодарение на својата стратешка положба и привилегираниот правен статус со кој се здобил рано во раноцарската епоха, очекувано на тежнал над соседната населба, сместена настрана од главните регионални патишта и која го задржала peregrinuskiot статус. Ако се суди според архитектурата откриена во долните партии од сонда II, и покрај намалениот обем, населбата изгледа го задржала градскиот карактер во текот на раноцарската епоха.

Ваквиот тренд на намалување на површината или целосно напуштање на градските населби по римските освојувања не е само локална појава. Овој тренд е забележан и на пошироко регионално ниво. Тој бил особено изразен во стара Илирија, Епир, но и во Ахаја, каде што помалите полиси, сместени во зафрлени региони со скромни земјоделски ресурси, или го загубиле градскиот лик или биле напуштени.²⁰ Ова не било последица на некаква плански водена политика од страна на римските освојувачи, туку спонтан процес на централизација, во кој поимотниот слој од локалното население се концентрирал во помал број градски центри со привилегиран правен статус и добра поврзаност со големите регионални центри.

Населбата на локалитетот Видин Град, доживува нов период на експанзија во текот на доцната Антика, епоха во која, случајно или не, Стоби продолжува да живее во намален обем. Со исклучок на сонда I и VII, каде што присуството на доцноримски материјал е премногу слабо за да се констатира засебен градежен хоризонт, оваа фаза е застапена во сите останати сонди во кои беа сочувани археолошки остатоци. И тоа што во овие две сонди не се најде на структурни остатоци од доцноантичката епоха не значи дека и поблиската околина на сондата останала ненаселена. Тоа е очигледно од примерот на сонда VII, каде само

major building, both dated to Late Antiquity, were discovered only about 15 meters west of this trench. By the same token, the absence of Late Antique horizons in trench I cannot be read as a proof that the entire southern terrace of Vidin Grad was uninhabited in this time-period. The dense clusters of Roman to Late Roman finds recorded on grids 1 and 2 during the 2013 survey are certainly derived from disturbed building horizons. Their absence in trench I is most probably accidental. The combined results of the stratigraphic excavations and the ceramic survey lead to the conclusion that this settlement grew to its former size in the Late Roman period.

Two distinct building horizons were identified in this period of occupation. At present, they cannot be distinguished on the basis of the ceramic finds, but they are clearly visible in the stratigraphy and the plans of the contexts revealed in trench II and the group of trenches VIII-XI. The earlier horizon is confined to a small area and it is poorly preserved. It is very likely that a large proportion of the remains of this construction phase were removed and reused in the subsequent phase, but the extent to which it was disregarded during the last construction phase at this site is stunning. This is most apparent in trench X, in which the paved street from the last construction phase was built over a building from the preceding Late Antique phase.

The remains discovered in the second rubble layer in trench II, could belong to the same building horizon, even though they were found at a depth greater than the building rubble in trench X. Regardless of the poor state of preservation of the remains of this construction phase, it seems that, at that point in time, Vidin Grad was a humble settlement. Were there more large buildings made of solid material in this phase, they would have been preserved, if only in segments.

By far the greatest number of architectural remains at Vidin Grad date to the last phase of construction. This is obviously predetermined by their place in the stratigraphy, which does not mean that the scope and intensity of this phase of construction should be underestimated. Lying close to the surface, this building horizon was exposed to the destructive agency of modern cultivation and, with the exception of the segment of the street pavement in trench X, it did not contain any undisturbed contexts. In addition to wall IX_W_1 and the street in trenches VIII-XI, this building phase includes the building debris in the uppermost horizons in trenches II, IV and V and the architectural remains visible on the surface of the central terrace. There are big differences between the size and the construction materials of these buildings. The walls discovered in trenches II and IX are seg-

¹⁹ Mano-Zisi, Wiseman 197x.

²⁰ Shpuza 2009; Alcock 1993.

десетина метри кон запад се најде на поплочена улица и поголема градба од овој период. Дека и отсуството на доцноримски материјал во сонда I е чиста случајност, зборува густината на доцноантички фрагменти керамика документирана на соседната парцела, на нешто под 15 метра источно од сондата, во текот на рекогносцирањата од 2013. Според збирните податоци од овие истражувања и од сондажните ископувања од 2019 и 2020, населбата повторно го достигнала својот стар обем во доцната Антика.

Во рамките на оваа населбинска фаза беа издвоени два градежни хоризонта. Сега засега, не-возможно е тие да се одвојат врз основа на керамичкиот материјал, но може да се следат на основите и профилите од сонда II и групата сонди VIII-XI. Постариот хоризонт се јавува на помала површина и е послабо сочуван. Очигледно е дека и тој послужил како извор на градежен материјал за последната градежна фаза, но зачудува степе-нот до кој постарата населба била негирана во текот на последната градежна фаза. Ова најубаво се гледа од ситуацијата во сондите VIII и X, каде што врз објект од постарата градежна фаза била трасирана улица. Можно е кон оваа фаза да се приклучи и објектот од вториот градежен хоризонт од сонда II, иако тој се јавува на поголема релативна длабочина од остатоците во сонда X. И покрај слабата сочуваност на овој градежен хоризонт, се добива впечаток дека тогашната населба сè уште била со доста скромни димензии. Доколку во овој период постоеле мноштво градби од траен материјал, тие би биле сочувани макар и во сегменти.

Далеку најголем број од архитектонските остатоци на “Видин Град“ и припаѓаат на последната градежна фаза. Тоа во добар дел се должи на фактот што овие остатоци не биле натслоени од некоја подоцножна фаза на градење, но тоа не значи дека треба да се потцени обемот и интензитетот на оваа градежна фаза. Сместена плитко под површината, таа сепак доста страдала при работката на земјиштето и со исклучок на улицата, не даде добро сочувана целина. Покрај сидот IX_W_1 и поплочената улица во сондите VIII-XI, кон истава градежна фаза треба да се додадат и градбите од најгорните хоризонти во сондите II, IV и V, како и површинските остатоци од градби на централната тераса. Овие градби доста се разликувале во однос на димензиите и градежната техника. Додека градбите во сонда II и IX биле изградени во цврста малтерна техника, рушевинските остатоци во сондите IV и V потекнуваат од градби од трошен материјал, а почивале врз слаби темелни партии.

ments of large buildings, built in solid, mortar technique. They hardly compare to those found in trenches IV and V, built of organic material and resting on shallow foundations.

Because the surface covered in these excavations is too small, there is little to be added about the plan and appearance of this settlement to what has been learned from the ceramic survey. However, the lucky unearthing of the paved street in trench VIII, in conjunction with the position of the main entrances into the settlement, provide enough material to propose a hypothetical reconstruction of the street network of ancient Vidin Grad. The course of the main street is chiefly predetermined by the orientation and morphology of the hill occupied by this settlement. (Map 4) Like the modern dirt-road that connects this site to the nearby village of Vodovrati, it ran east-west, following the long axis of the settlement. Excepting the south terrace, this hypothetical street crossed all the other settlement terraces and would have provided direct or indirect access to all parts of the settlement. The buildings that were not facing this thoroughfare were accessed by secondary streets, running along the long axes of the terraces and perpendicularly to the main street. It is highly probable that the pavement revealed in trenches VIII-XI is a segment of one of these lateral streets. Although the attempt to follow its course north of trench VIII was unsuccessful, the orientation of the segment revealed is highly indicative of its direction. Its function was to connect the southern half of the westernmost terrace to the main east-west axis of this settlement. It is a sensible assumption that each settlement terrace was connected to the main thoroughfare by at least one lateral street that followed along their long axes, and that all major buildings were lining these streets.

This hypothetical street network possesses the basic elements of the classic orthogonal scheme, albeit adapted to the local relief. Too little survives from the earlier Late Antique phase at this site to propose even the most speculative reconstruction of its raster. The sharp discontinuity between these two building horizons observed in trench VIII speaks of a radical transformation of this settlement at some point in the Late Roman period. If the settlement was organized along similar lines in the preceding phase, then the lateral street on this terrace must have followed a different route. At present, it is impossible to propose more precise dates for the two Late Antique building horizons. But the sheer presence of two distinct phases of construction, as well as the traces of repairs on the street pavement suggest that this settlement existed throughout of the Late Roman period.

The extent and intensity of the last building phase is also a testimony to the changed social and econom-

Истражената површина е премногу мала за да се каже што и да е за топографијата или изгледот на оваа населба. Сепак, откритието на сегмент од улица на западната тераса, како и поставеноста на главните влезови во населбата познати од претходните истражувања, ни навестува некои основни црти од нејзиниот план. Ориентацијата и морфологијата на брегот врз кој била основана оваа населба во голема мера ги определиле правецот и положбата на главната сообраќајница. (Мапа 4) Таа се движела во правец исток-запад, покрај надолжната оска на населбата. Со исклучок на јужната тераса, оваа хипотетичка сообраќајница поминувала низ сите населбински тераси и обезбедувала индиректен пристап до сите делови од населбата. Градбите кои не излегувале директно на овој пат, биле поврзани преку споредни улици, кои воделе долж населбинските тераси, напречно на главната оска. Сметаме дека плочникот откриен во сондите VIII-XI е дел од една од овие улици. Иако не успеавме да ја следиме оваа улица кон север, ориентацијата на откриениот сегмент, доволно јасно го навестува нејзиниот правец. Таа го поврзувала делот од населбата во јужниот крај од западната тераса со главната улица. Може да се претпостави дека барем една ваква улица имало на секоја населбинска тераса и дека најзначајните градби биле разместени покрај овие улици, по надолжните оски на терасите.

Според основните елементи на уличната мрежа, може да се каже дека доцноантичката населба имала видоизменет ортогонален план, приспособен на локалниот терен. Во моментот, премалку се знае за постарата доцноантичка фаза, за да се каже дали и таа била организирана на сличен принцип. Дисконтинуитетот забележан помеѓу овие два хоризонта во сонда X, се чини зборува за една темелна обнова на населбата во текот на последната градежна фаза. Доколку и во постарата фаза населбата имала сличен план, страничната улица на западната тераса мора да имала поинаква траса. Во моментот, не може попрецизно да се датираат доцноантичките градежни фази на овој локалитет. Постоењето на два одделни хоризонта, како и трагите од поправки или доградби во откриениот дел од улицата укажуваат дека населбата егзистирала во поголем дел од периодот на Доцната Антика.

Интензитетот на последната градежна фаза е и немо сведоштво за изменетите општествено-економски околности во овој дел од Повардарието. После една долга фаза на централизација, во која доминирале помал број на позначајни градски центри, во доцната Антика следува нов циклус на постепена децентрализација, во кој големите градски територии од претходната епоха се фраг-

ic conditions in the Vardar Valley in this period. After a long phase of centralization, in which a few towns dominated this micro-region, Late Antiquity ushered in an era of decentralization, marked by fragmentation of the large urban territories of the preceding phase, the revival of a number of pre-Roman settlements and the founding of new towns.²⁷ Like the centralizing trend that marked the preceding period, this was a broader, regional process that can be observed in most corners of the Balkan Peninsula. To some extent, this trend of decentralization is self-reinforcing, because it is likelier that wealth would have been re-invested locally rather than in some distant centre. However, far more important than the regional distribution of wealth are the changed financial sources and mechanisms of town-building. In this period, the old aristocracy is replaced by the central and provincial authorities and the church as the main sponsors of public construction and maintenance and repair of urban infrastructure. In theory, this means that the survival and well-being of an urban centre would have been less dependent on the local demographic and economic potential.

The disappearance of the state and church apparatus from this part of the Balkan Peninsula towards the end of the 6th century AD sealed the fate of Vidin Grad and many other Late Antique towns, including nearby Stobi. They either lost their urban character or were abandoned completely. There never emerged another major settlement, neither at Vidin Grad nor in its vicinity after the end of Antiquity.

²⁷ Antipatrea: Spahiu 1975; Spahiu 2011; Foinike: de Maria 2012; Scodra: Hohxa, Lahi 1986; Hohxa, Lahi 1988, in this particular case, there is evidence of an Early Imperial settlement at the foot of the citadel; Late Antique expansion in Epirus and Illyria in general, Anamali 1986; In Thrace, Pernik: Čangova et al. 1981; Šumen: Aladžova 2003; prosperity in Late Roman Thrace: Velkov 1981; see also Milčev 1980 and Dinčev 1999. An increase in the number of new urban settlements can also be observed in the Late Roman province of Macedonia Secunda, Papazoglou 1988; Mikulčić 2002.

ментираат, а низа на стари, предримски населби одново се активираат.²¹ Како и претходниот тренд на централизација, и ова е процес што ги надминува локалните хоризонти и може да се следи на ниво на целиот регион на Балканскиот Полуостров. Самиот тренд на децентрализација несомнено водел кон тоа барем дел од локално стекнатото богатство да биде инвестирано во истото место, наместо во далечните градски центри. Меѓутоа, во случајов, далеку позначајно е тоа што во доцната Антика се менува финансиската подлошка на урбаното градителство. Наместо старата урбана аристократија, главни спонзори на изградбата и одржувањето на градските центри стануваат централните и провинциските власти и црквата. Со ова, барем теоретски, појавата и опстојувањето на еден градски центар станало помалку зависно од локалниот демографски и економски потенцијал. Кога државната и црковната суперструктура почнале да пропаѓаат кон крајот на Антиката, населбата кај “Видин Град“, како и многу други атнички гратчиња, била напуштена или барем засекогаш го загубила градскиот лик. По крајот на Антиката, не се развила повторно значајна населба ниту на овој локалитет, ниту во неговото пошироко опкружување.

²¹ Слични тенденции се констатирани на голем број локалитети, особено на утврдени населби од градски карактер. Антипатреа, Берат во Албанија: Spahiу 1975; Spahiу 2011; Фоинике, Финиќ во Албанија: de Maria 2012; Скодра: Нохха, Lahi 1986; Нохха, Lahi 1988, во случајот на Скодра се претпоставува постоење на раноцарска фаза во подножјето на ридот; за доцноантичкиот подем во Епир и Илирја види кај, Anamali 1986. Примери од Тракија:Кракра кај Перник, Čangova et al. 1981; Шумен, Aladžova 2003; за благосостојбата во доцноантичка Тракија види Velkov 1981; Milčev 1980 и Dinčev 1999. Најпосле, пораст на бројот доцноантички градски населби е констатиран и во провинцијата Macedonia Secunda, Papazoglou 1988; Mikulčić 2002

Abbreviations/Кратеници:

IA/ЖВ = Iron Age/Железно Време (8th – 6th century BC)

IA-Hell/ЖВ-Хел. = Iron Age to Hellenistic/железнодопски до хеленистички

EA/PA = Early Antiquity/Рана Антика (5th-4th century BC)

IA-EA/ЖВ-РА = Iron Age to Early Antique/железнодопски до раноантички

EA-Hell/РА-Хел. = Early Antique to Hellenistic/раноантички до хеленистички

Hell/Хел. = Hellenistic/хеленистички

Hell-R/Хел-Р = Hellenistic Roman or Late Hellenistic/хеленистичко-римски (2nd century BC – early 1st century AD)

Hell-LR/Хел-ДР = Hellenistic to Late Roman/хеленистички до доцноримски

R-LR/Р-ДР = Roman to Late Roman/римски до доцноримски (1st – 6th century AD)

Bibliography

Aladžova 2003 = Aladžova, D., 2003. The fortress of Shumen. In: Ivanov, R. ed. *Roman and Early Byzantine Settlements in Bulgaria*. Sofia. Pp. 149-159.

Alcock 1993 = Alcock, S.E., 1993. *Graecia Capta. Landscapes of Roman Greece*. Cambridge.

Ammerman 1985 = Ammerman A.J. 1985. *Plow-Zone experiments in Calabria, Italy*. *Journal of Field Archaeology* 12.1: 33-40.

Anamali 1986 = Anamali, S., 1986. *Processus de transformation dans la region meridionale illyrienne aux I-IV siecles*. *Iliria* 16: 25-41.

Bintliff 2012 = Bintliff, J. 2012. *Contemporary Issues in Surveying Complex Urban Sites in the Mediterranean Region: The example of the city of Thespi-ai (Boeotia, Central Greece)*. In: Vermeulen, F. et al eds. *Urban Landscape Survey in Italy and the Mediterranean*. *Oxbow Books*. Pp. 44-52.

Bintliff 2013 = Bintliff, J. 2013. *Intra-site artefact surveys*. In: Corsi, C. et al. eds. *Good Practice in Archaeological Diagnostics*. Springer. Pp. 193-207.

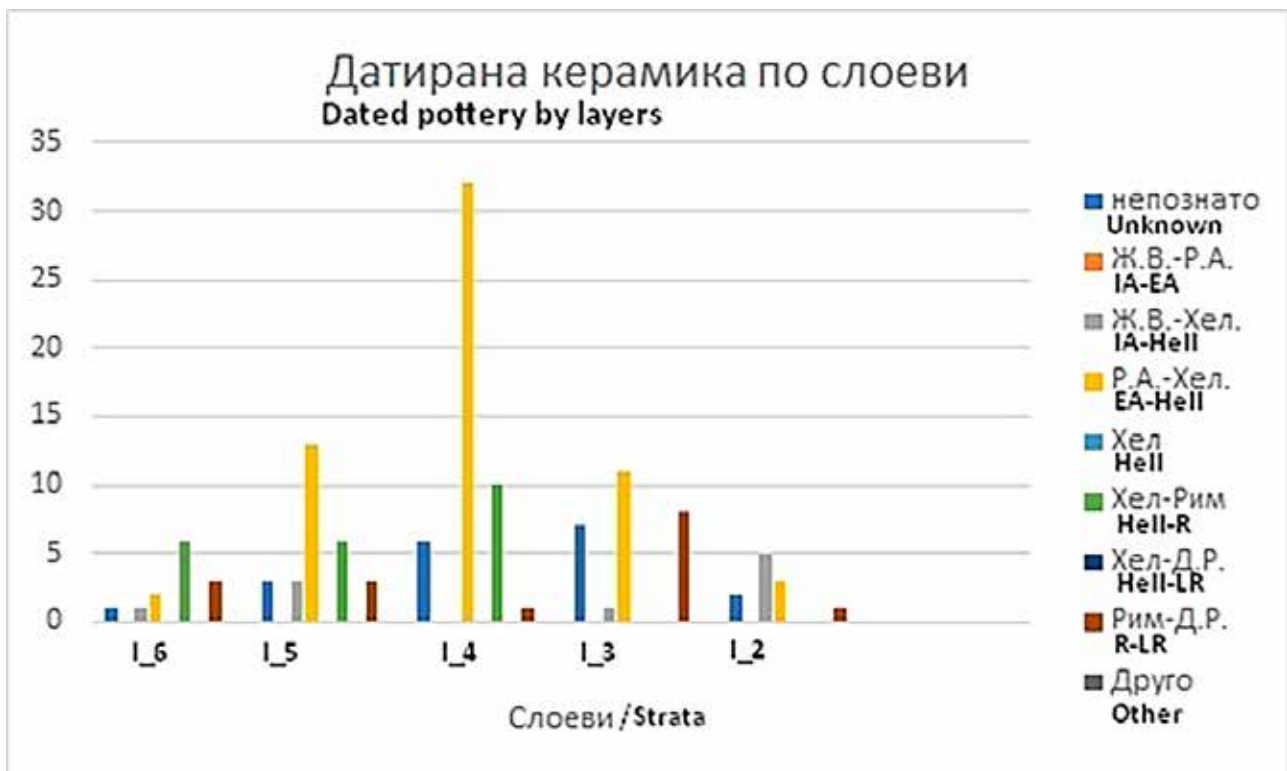
Čangova et al. 1981 = Čangova, J. et al., 1981. *Pernik. Poselišten život na h'lma Krakra ot V hil. pr.n.e. do VI v. na n.e*. Sofia.

De Ligt 2020 = De Ligt, L., 2020. The Impact of Roman Rule on the Urban System of Sicily. In: De Ligt, L., Bintliff, J., eds. *Regional Urban Systems in the Roman World, 150 BCE-250 CE*. Leiden. Pp. 217-280.

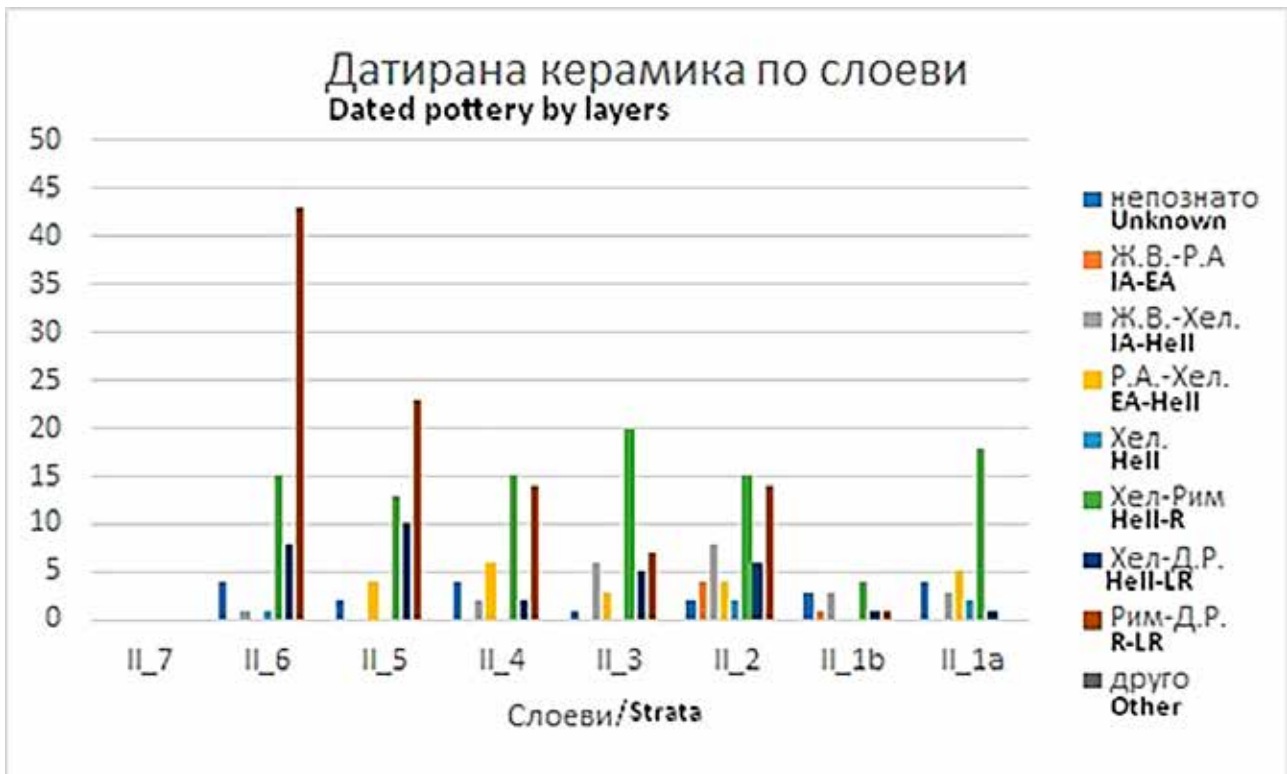
- De Maria 2012* = De Maria, S., 2012. *Dieci anni di attività archaeologiche a Phoinike. Ricerca, formazione, valorizzazione. In: de Maria, S., ed., Le ricerche delle missioni archaeologiche in Albania. Nella ricorrenza dei dieci anni di scavi dell'università di Bologna a Phoinike (2000-2010). Bologna. Pp. 27-53.*
- Dinčev 1999 = Dinčev, V. 1999. *Za granicata na gradskata forma na život v kâsnoantičnite diocezi Thracia i Dacia-nadcenenite centrove. Arheologija XL-1/2: 13-32.*
- Donev 2020a = Donev, D., 2020. *The perimetral walls of Vidin Grad in the Middle Vardar Valley, North Macedonia. Patrimonium 18: 345-378.*
- Donev 2020b* = Donev, D., 2020. *Aspects of Roman Urbanization in the Hellenistic Balkans. In: Willett, R., ed. 2020. The Economics of Urbanism in the Roman East. Heidelberg. Pp. 25-36.*
- Hohxa, Lahi 1986* = Hoxha, G. Lahi, B., 1986. *Kalaja e Shkodrës. Gërmime arkeologjike të vitit 1986. Iliria 16-2: 266-268.*
- Hohxa, Lahi 1988* = Hoxha, G. Lahi, B., 1988. *Shkodër (Kala). Gërmime arkeologjike të vitit 1988. Iliria 18-2: 262-264.*
- Keller, Rupp 1983* = Keller, D.R. Rupp, D.W. eds. 1983. *Archaeological survey in the Mediterranean area. Oxford.*
- Koračević 2002* = Koračević, D., 2002. *Scupi. Skopje.*
- Mano-Zissi, Wiseman 1973* = Mano-Zissi, Dj., Wiseman, J. eds. 1973. *Studies in the Antiquities of Stobi I. Princeton.*
- Mikulčić 2002* = Mikulčić, I., 2002. *Spätantike und frühbyzantinische Befestigungen in Nordmakedonien. Städte, Vici, Refugien, Kastelle. München.*
- Milčev 1980* = Milčev, A. 1980. *Thrakische Siedlungen und Festungen in Bulgarien während des I. Jahrtausends v.u.Z. In: Vulpe, R. ed., Actes du 2^e Congrès International de Thracologie. Histoire et Archéologie, I. Bucharest. Pp. 343-364.*
- Millett 1991* = Millett, M. 1991. *Pottery: Population or Supply Patterns? The Ager Tarraconensis Approach. In: Barker, G. Loyd, J. eds. 1991. Roman Landscapes. Archaeological Survey in the Mediterranean Region. Rome. Pp. 18-26.*
- Mitrevski 1997* = Mitrevski, D., 1997. *The Proto-Historical Communities in Macedonia Through Burials and Burial Manifestations. Skopje.*
- Mitrevski 2003* = Mitrevski, D. 2003. *Prehistory in the Republic of Macedonia – FYROM. Grammenos, D.V. ed. 2003. Recent Research in the Prehistory of the Balkans, Thessaloniki.*
- Ončevska-Todorovska 2008* = Ončevska-Todorovska, M., 2008. *Docnoantička grnčarija vo Republika Makedonija. Skopje.*
- Papazoglou 1988* = Papazoglou, F., 1988. *Les villes de Macédoine à l'époque romaine. Athens.*
- Radovanović 1924* = Radovanović, V.S. 1924. *Tikveš i Rajec. Antropogeografska Ispitivanja. In: Cvijić, J. ed. Srpski Etnografski Zbornik – Naselja i Poreklo Stanovništva 17. Zemun. Pp. 131-365.*
- Roosevelt et al. 2015* = Roosevelt, C.H. et al., 2015. *Excavation is Destruction Digitization: Advances in Archaeological Practice. Journal of Field Archaeology 40.3: 325-346.*
- Shpuza 2009* = Shpuza, S., 2009. *Cités et territoires. L'Illyrie méridionale a l'époque romaine. Mélanges de l'École française de Rome 121/2: 481-502.*
- Spahiu 1975* = Spahiu, H. 1975. *Berat. Fouilles archéologiques 1973. Iliria 3: 495-501.*
- Spahiu 2011* = Spahiu, H. 2011. *Late Antique Wall and Buildings in the Castle of Berat. Illyria 35: 55-74.*
- Stojanović-Anderson* = Stojanović-Anderson, V., 1992. *Stobi. The Hellenistic and Roman Pottery. Princeton.*
- Tripcevich, Wernke 2010* = Tripcevich, N. Wernke, S.A. 2010. *On-site Recording of Excavation Data Using Mobile GIS. Journal of Field Archaeology 35.4: 380-397.*
- Van Leusen, Nobles 2018* = Van Leusen, M. Nobles, G. 2018. *3-D Spatial Analysis: the Road Ahead. In: Matsumoto, M. Uleberg, E. eds. Proceedings of the 44th Annual Conference on Computer Applications and Quantitative Methods in Archaeology. CAA 16 – Oceans of Data. Oxford. Pp. 471-478.*
- Velkov 1981* = Velkov, V., 1981. *Thrace and Lower Moesia during the Roman and the Late Roman epoch. Klio 63.1: 473-483.*



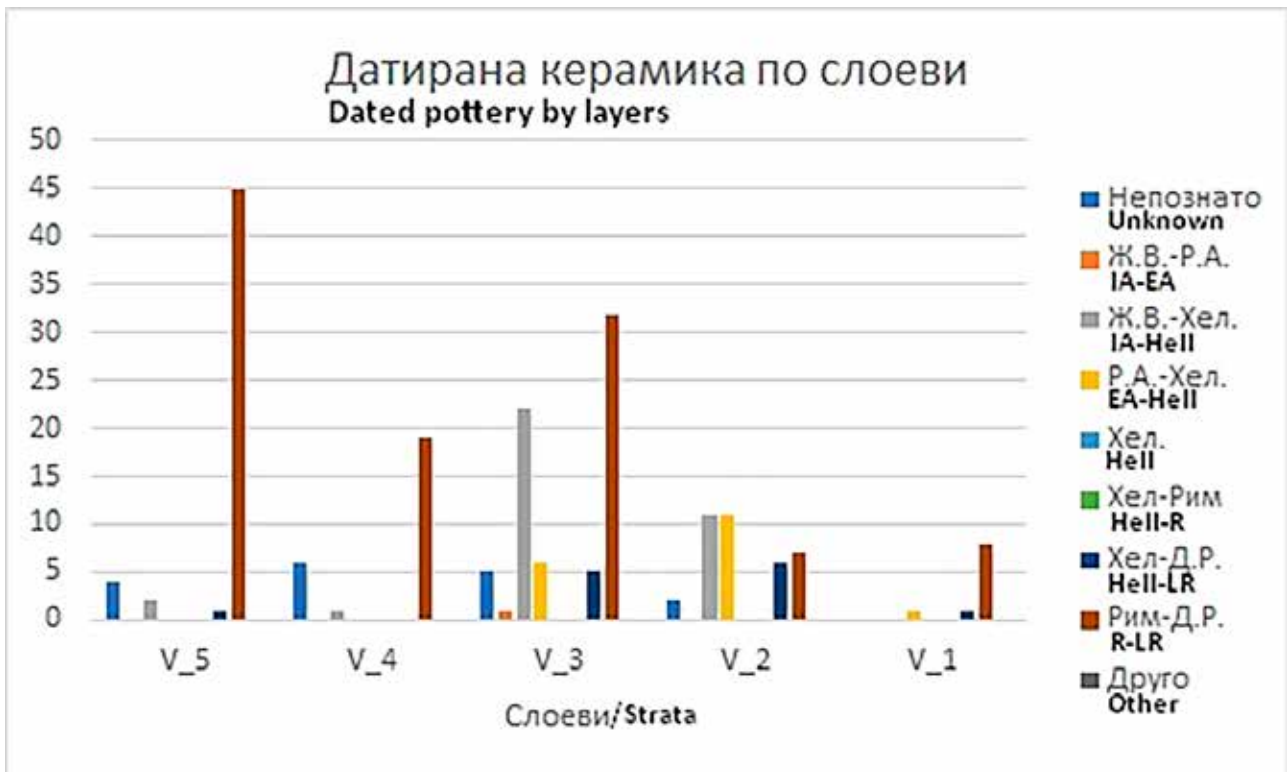
Graph 1/Графа 1: Distribution of dated ceramics by layers in trench IV/
Распределба на датираната керамика по слоеви од сонда IV



Graph 2/Графа 2: Distribution of dated ceramics by layers in trench I/
Распределба на датираната керамика по слоеви од сонда I



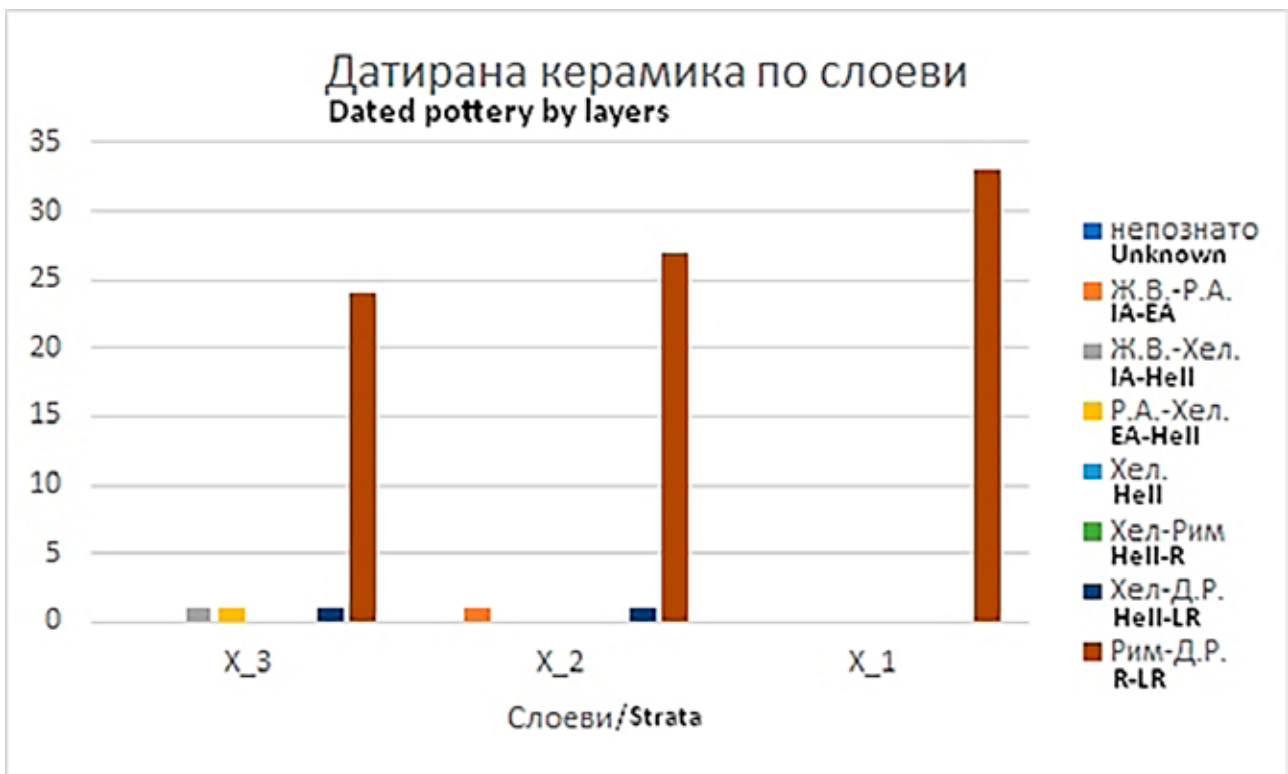
Graph 3/Графа 3: Distribution of dated ceramics by layers in trench II/
Распределба на датираната керамика по слоеви од сонда II



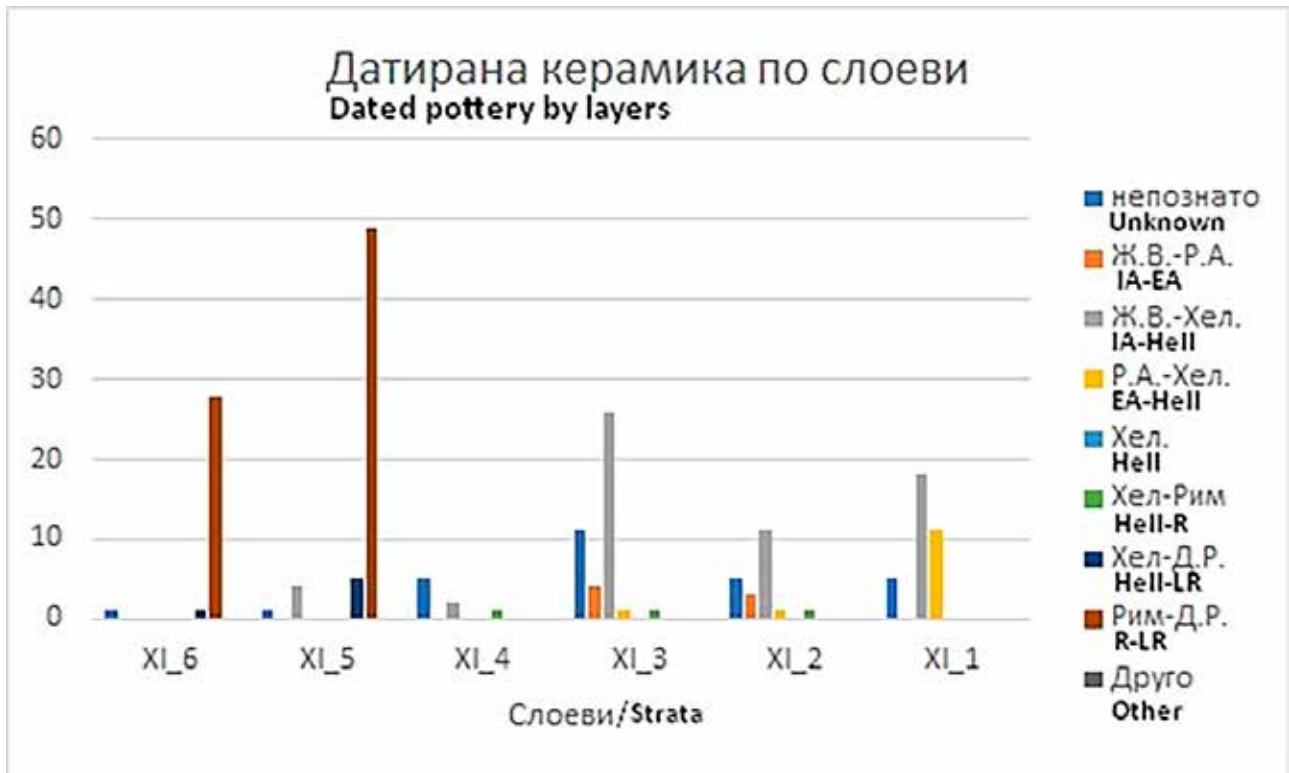
Graph 4/Графа 4: Distribution of dated ceramics by layers in trench V/
Распределба на датираната керамика по слоеви од сонда V



Graph 5/Графа 5: Distribution of dated ceramics by layers in trench VII/
Распределба на датираната керамика по слоеви од сонда VII



Graph 6/Графа 6: Distribution of dated ceramics by layers in trench X/
Распределба на датираната керамика по слоеви од сонда X



Graph 7/Графа 7: Distribution of dated ceramics by layers in trench XI/
Распределба на датираната керамика по слоеви од сонда XI



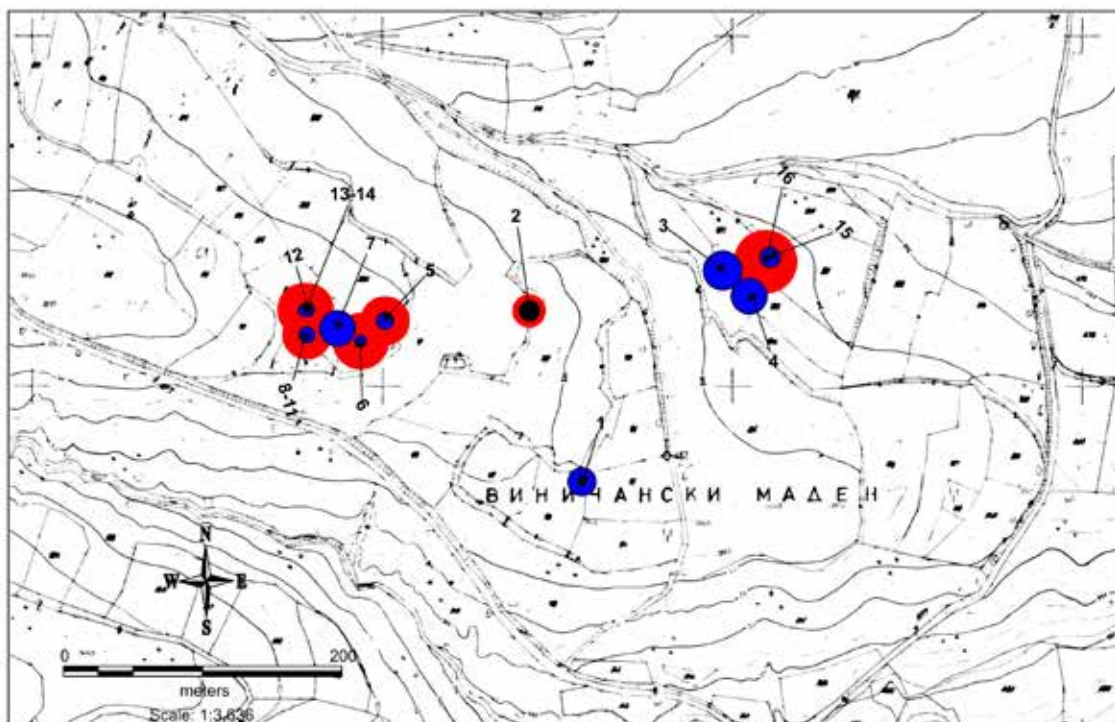
Graph 8/Графа 8: Distribution of dated ceramics by layers in trench XII/
Распределба на датираната керамика по слоеви од сонда XII



- 2019
- 2020

Distribution of excavated trenches and survey grids/Распоред на сондите од ископувањата и мрежни единици од рекогносцирањето

Map 1/Мапа 1: Distribution of excavated trenches and survey grids/
Распоред на сондите од ископувањата и мрежни единици од рекогносцирањето



% of Roman-Late Roman finds

Procent na rimski i docnorimski naodi



% of pre-Roman finds

Procent na predrimski naodi

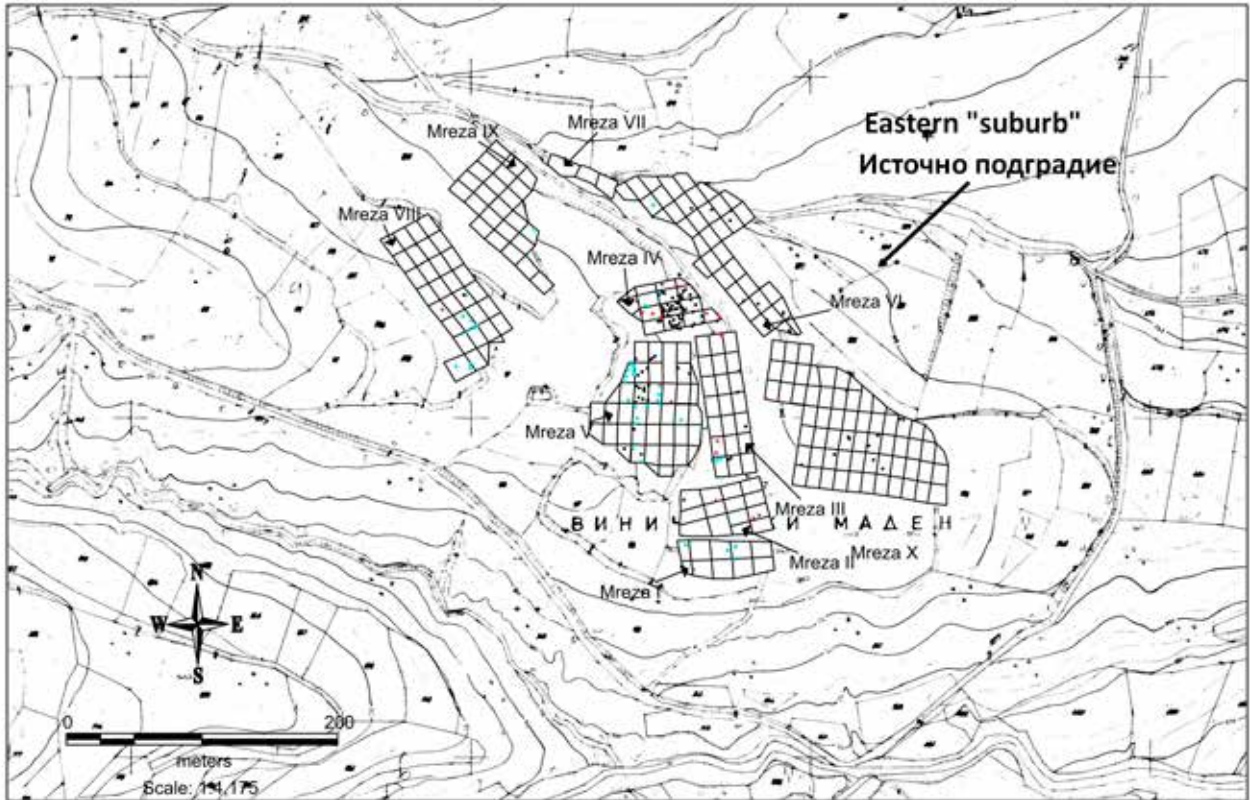


% of Hellenistic-Early Roman finds

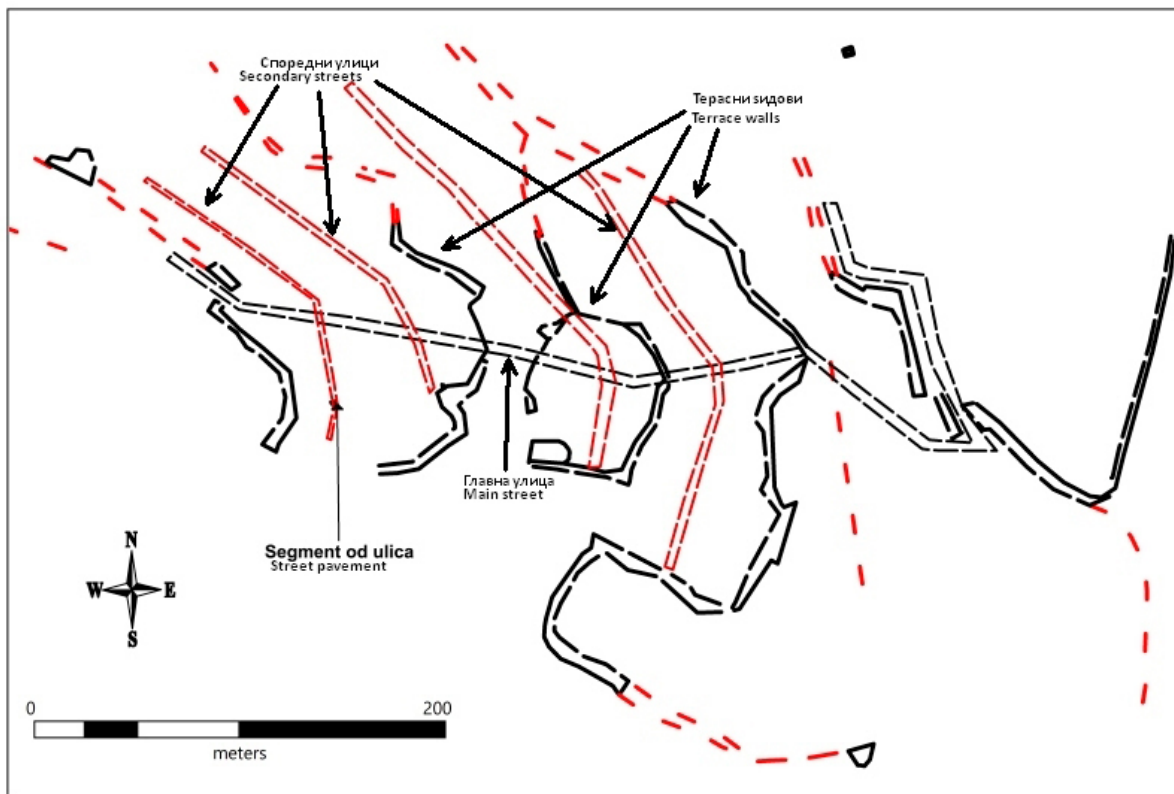
Procent na docnhelenisticki i ranocarski naodi



Map 2/Мапа 2: The chronology of the excavated material across trenches (in percentage)/
Хронологија на материјалот од ископувањата по сонди, изразен во проценти



Map 3/Мапа 3: Distribution of pottery from the Early Imperial period/
Распоред на керамика од раноцарската епоха



Map 4/Мапа 4: A hypothetical reconstruction of the defenses and the street network of Vidin Grad/
Реконструкција на одбрамбените ѕидови и уличната мрежа на “Видин Град“

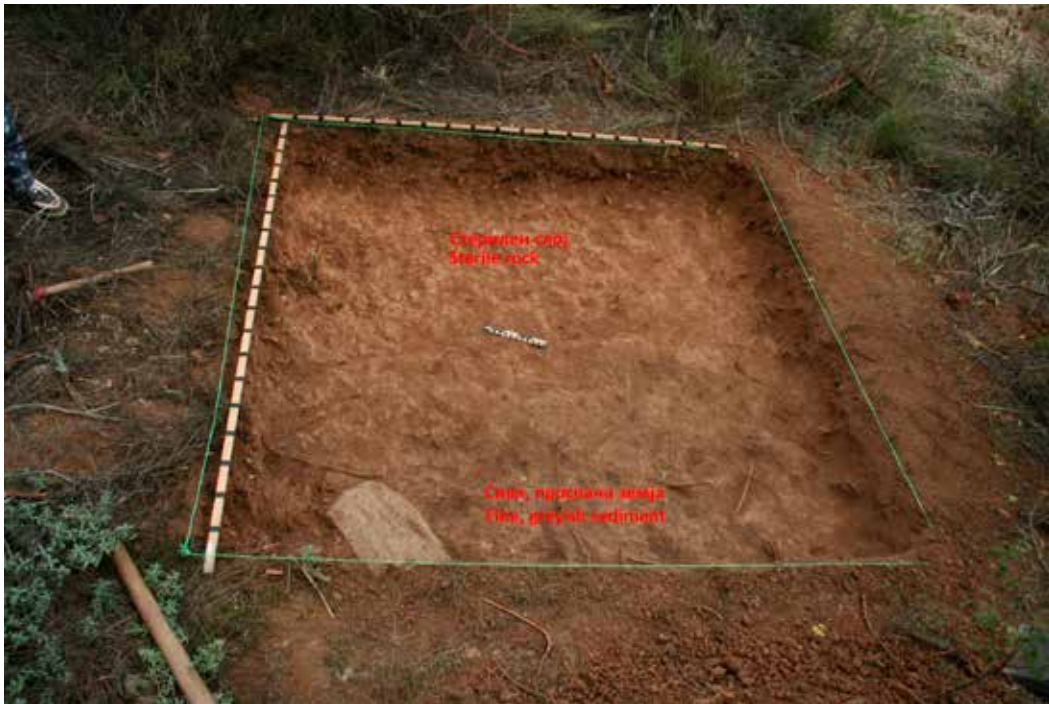


Figure 1/Слика 1: The situation in trench IV prior to extension/
Ситуација во сонда IV пред проширувањето

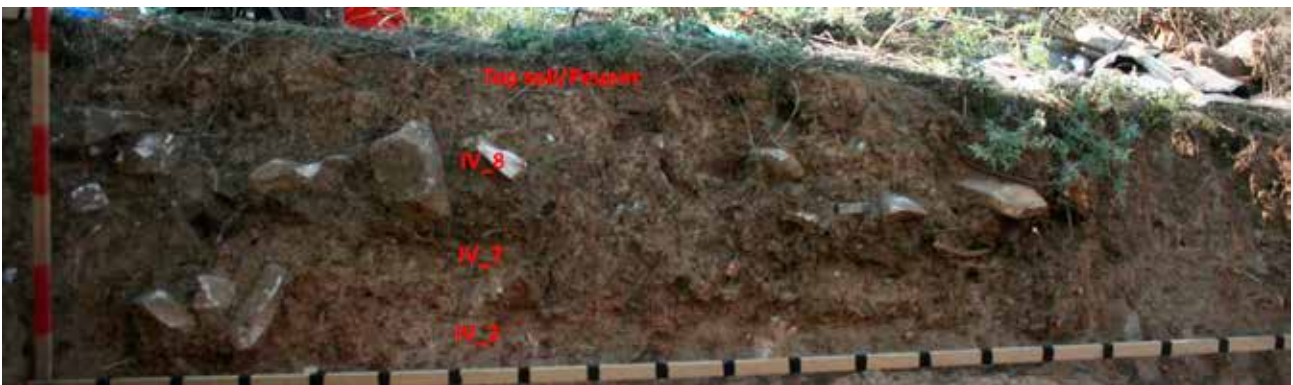


Figure 2/Слика 2: Trench IV, northwest profile/
Сонда IV, северозападен профил

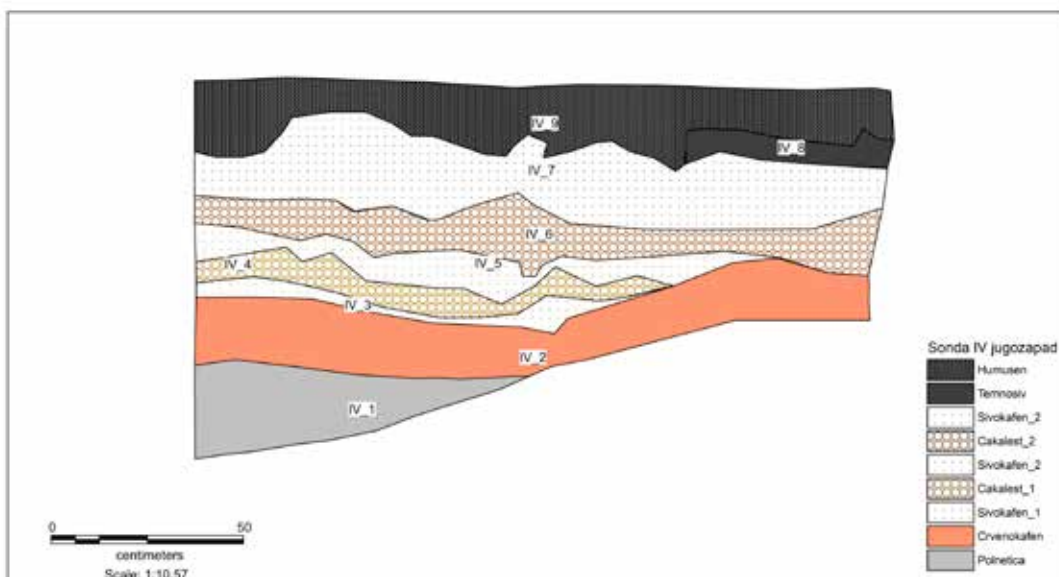


Figure 3/Слика 3: Trench IV, a drawing of the southwest profile/Сонда IV, скица на југозападен профил



Figure 4/Слика 4: Trench IV, northwest corner, a concentration of coarse pottery/
Сонда IV, северозападен агол, концентрација на фрагменти груба керамика

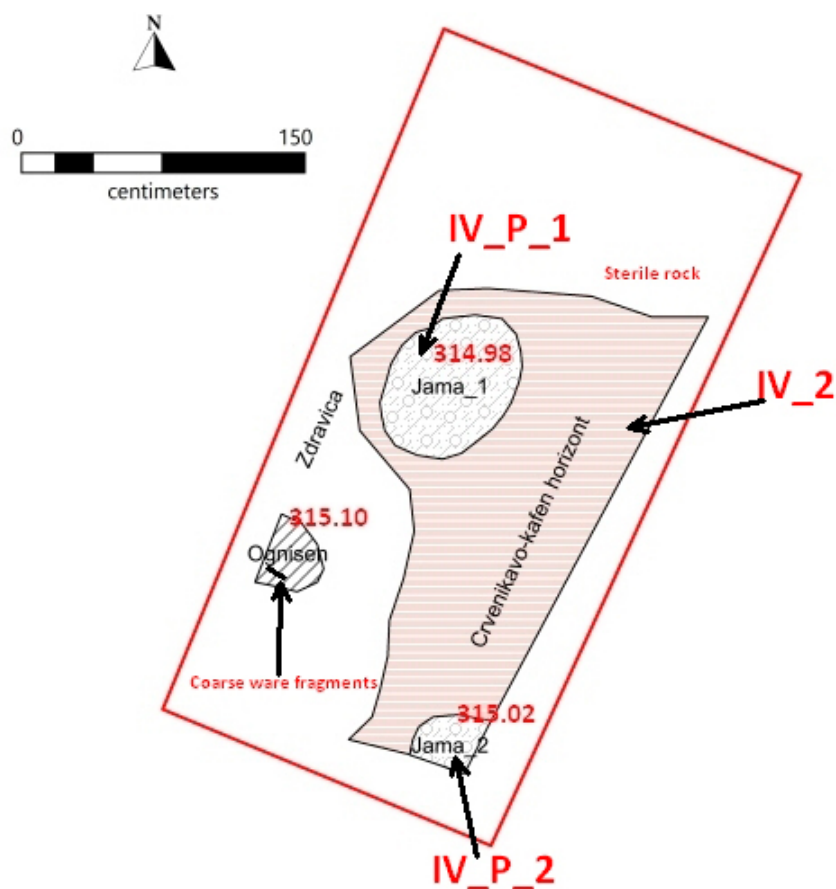


Figure 5/Слика 5: Trench IV, a plan of the remains from the earliest phase of occupation/
Сонда IV, план на остатоците од најстарата населбинска фаза

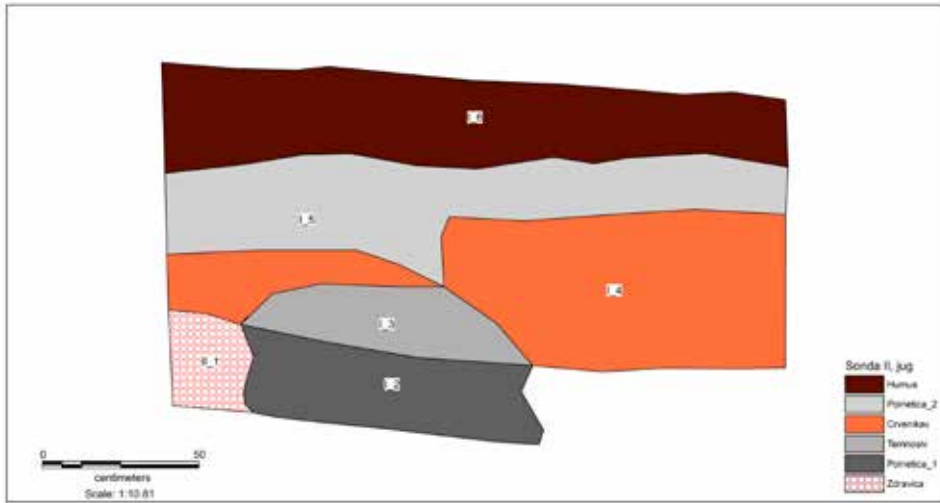


Figure 6/Слика 6: Trench I, a drawing of the south profile/Сонда I, јужен профил

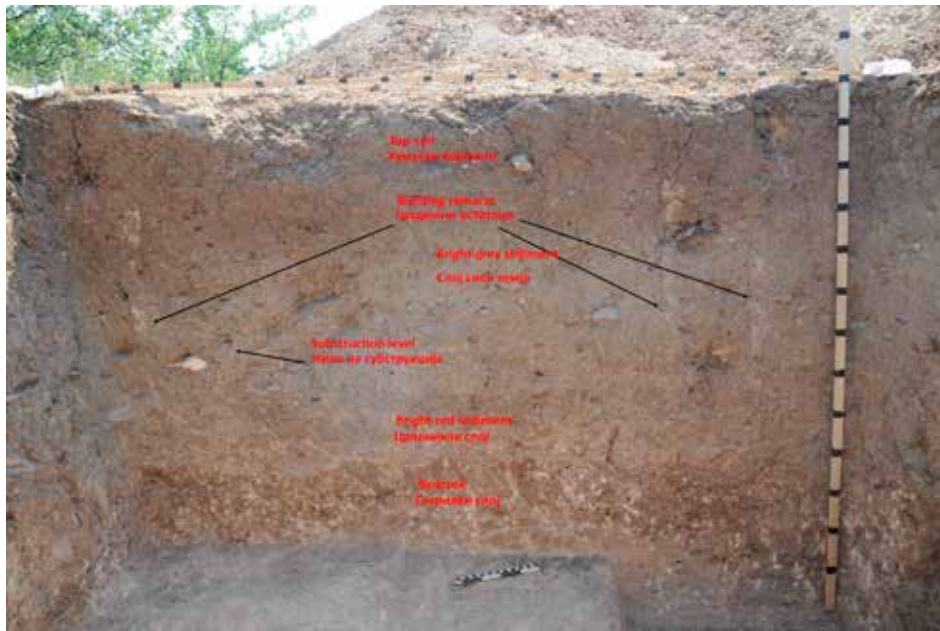


Figure 7/Слика 7: Trench I, a rectified photograph of the east profile/ Сонда I, орто-фото од источниот профил



Figure 8/Слика 8: Trench I, a photograph of the “platform”/Сонда I, фотографија од “платформата“

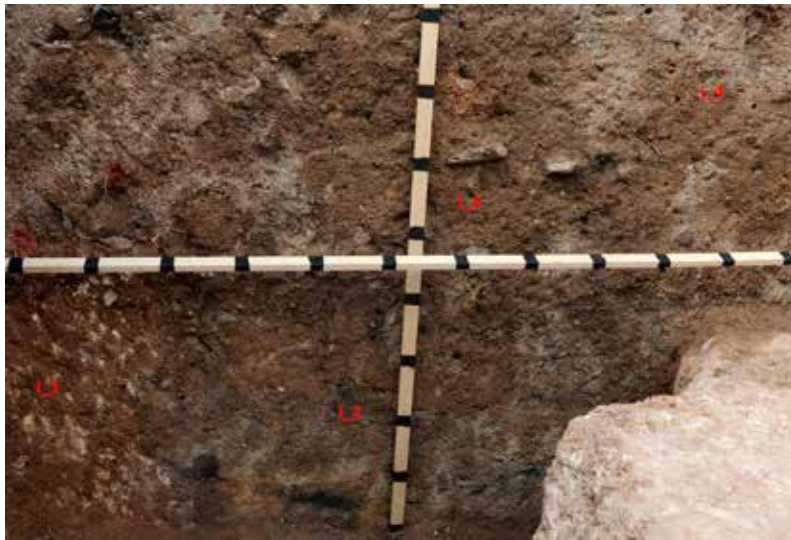


Figure 9/Слика 9: Trench I, a cross-section of the pit/Сонда I, пресек на јамата



Figure 10/Слика 10: Trench II, the remains of the last building horizon/ Сонда II, остатоци од последниот градежен хоризонт

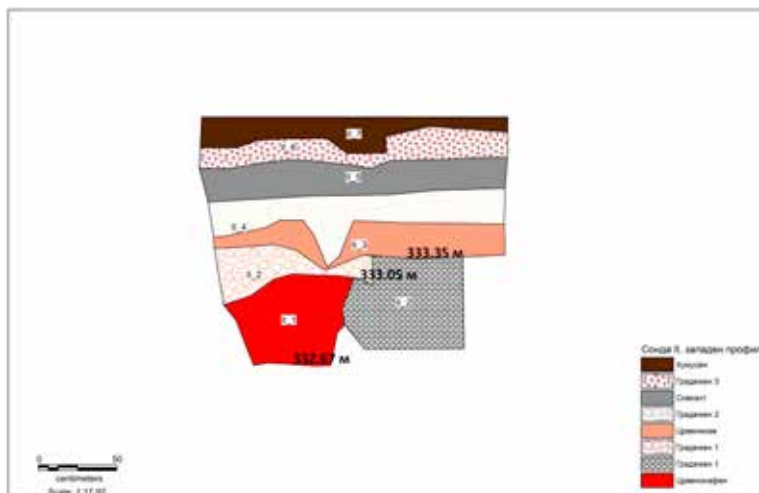


Figure 11/Слика 11: Trench II, a drawing of the west profile/Сонда II, скица на западен профил



Figure 12/Слика 12: Trench II, the earliest building horizon/
Сонда II, најстариот градежен хоризонт



Figure 13/Слика 13: Trench II, the segment of wall II_W_1/
Сонда II, сегмент од сидот II_W_1

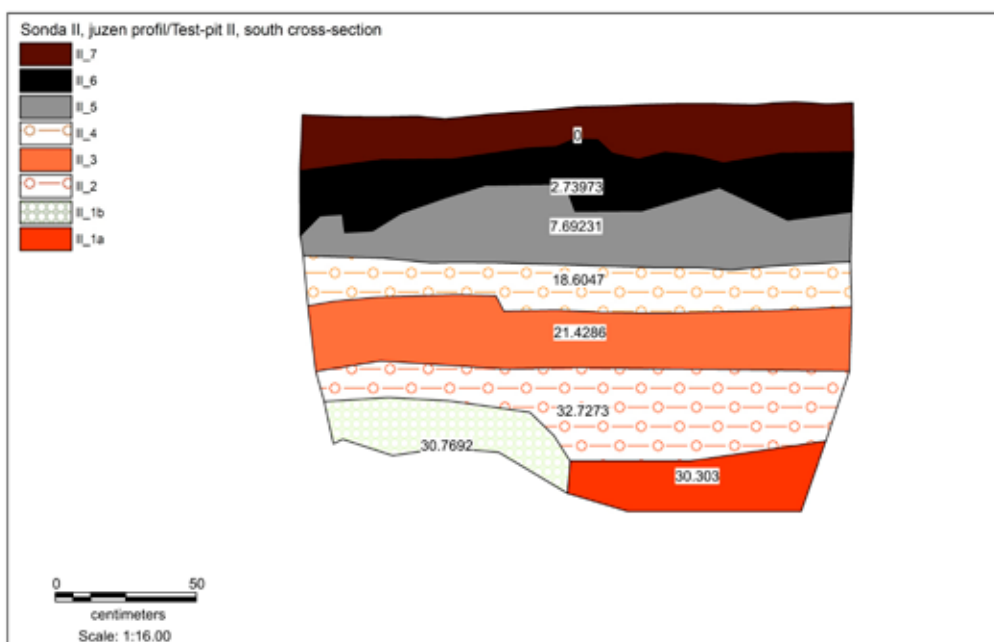


Figure 14/Слика 14: Trench II, south profile, distribution of pre-Roman finds by layers (in percentage)/
Сонда II, јужен профил, распоред на предримски наоди по слоеви, изразени во проценти

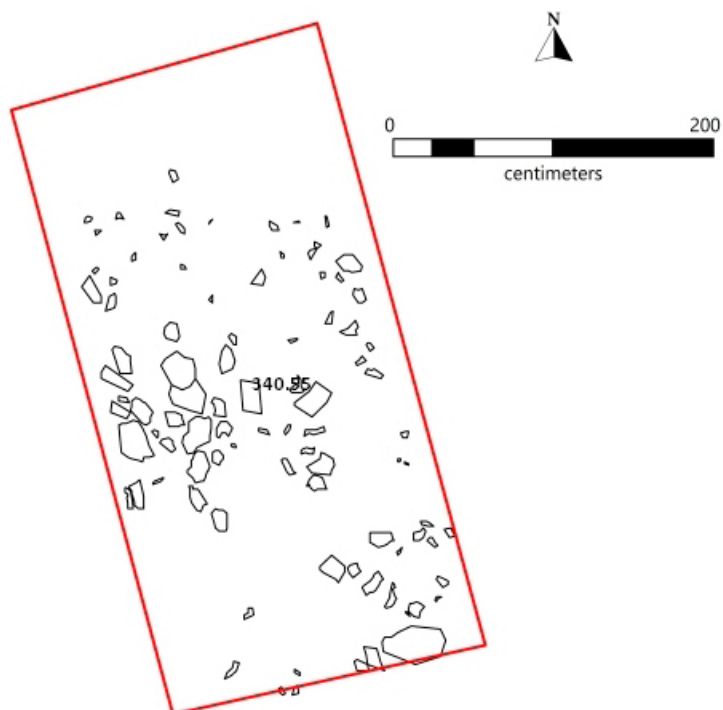


Figure 15/Слика 15: Trench V, a plan of the remains of the last building phase/
Сонда V, план на остатоците од последната градежна фаза

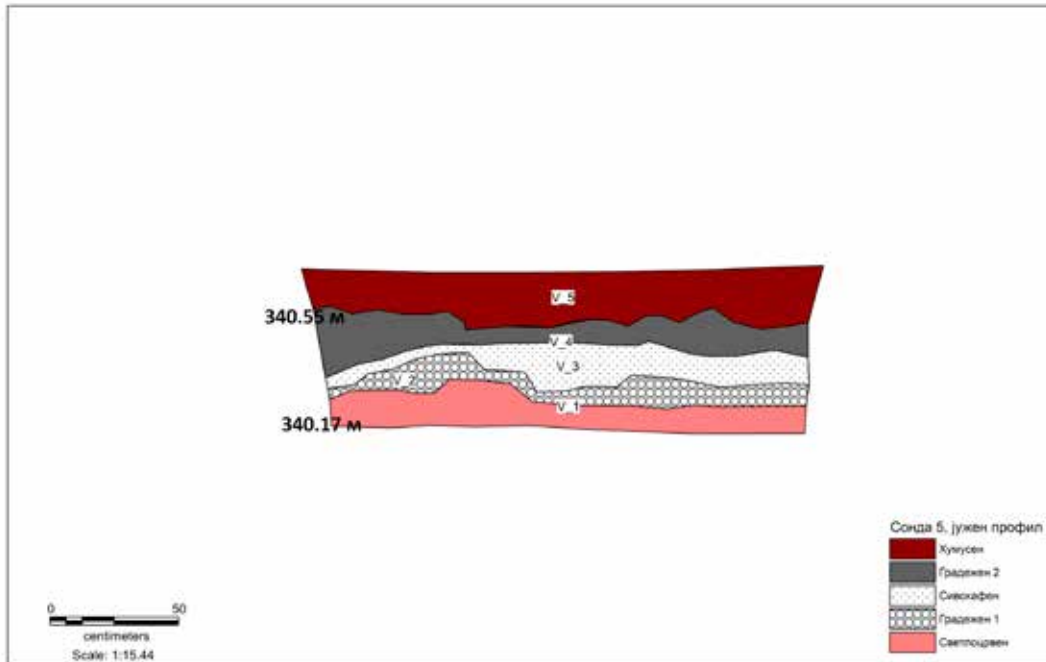


Figure 16/Слика 16: Trench V, a drawing of the south profile/Сонда V, скица на јужниот профил

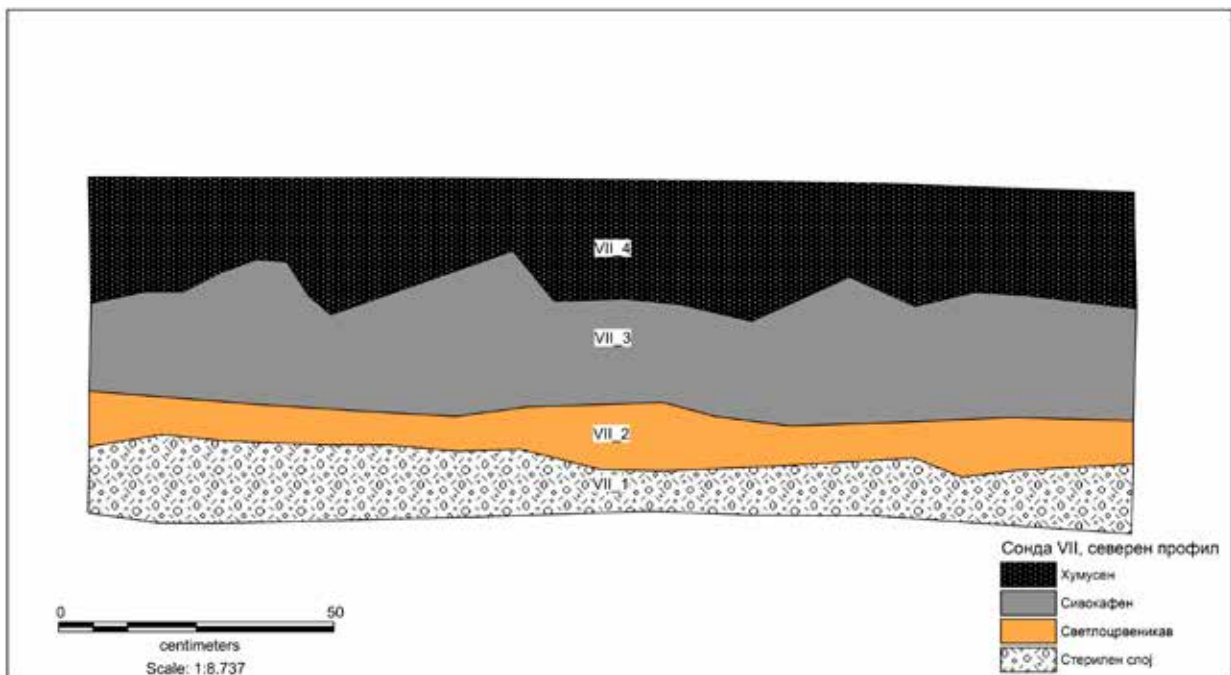


Figure 17/Слика 17: Trench VII, a drawing of the north profile/Сонда VII, скица на северниот профил

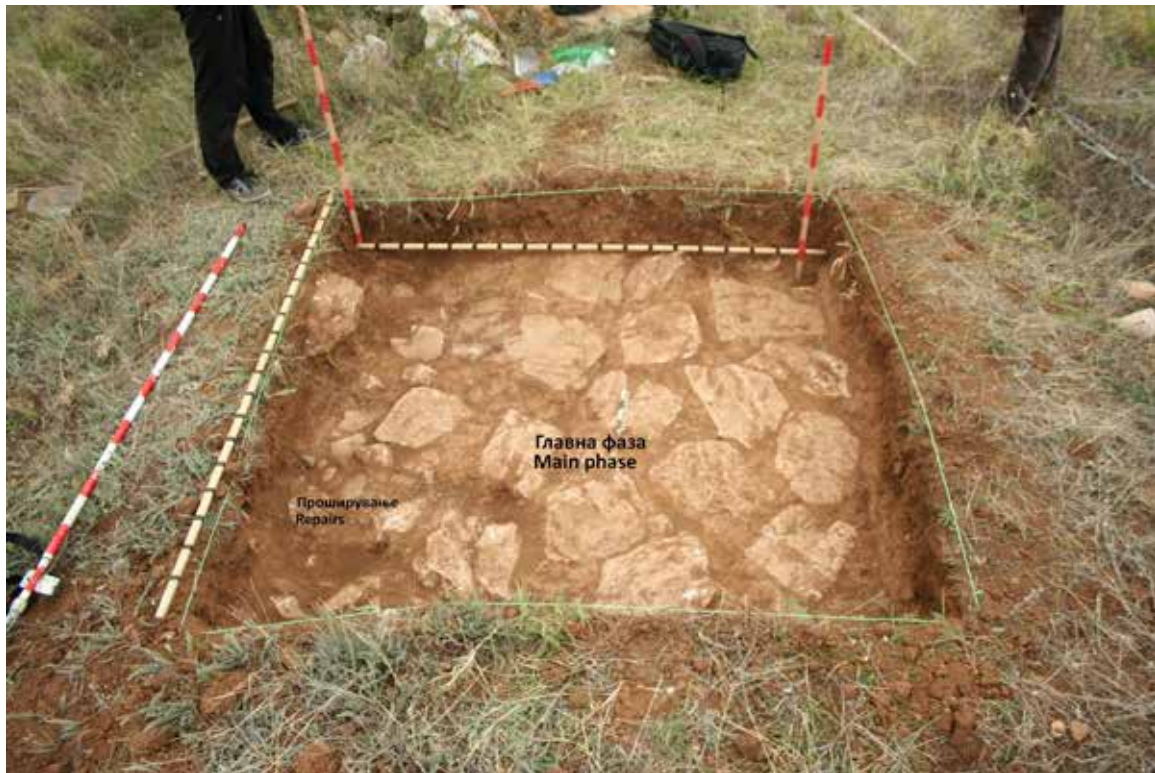


Figure 18/Слика 18: Trench VIII, the street pavement/Сонда VIII, дел од улица

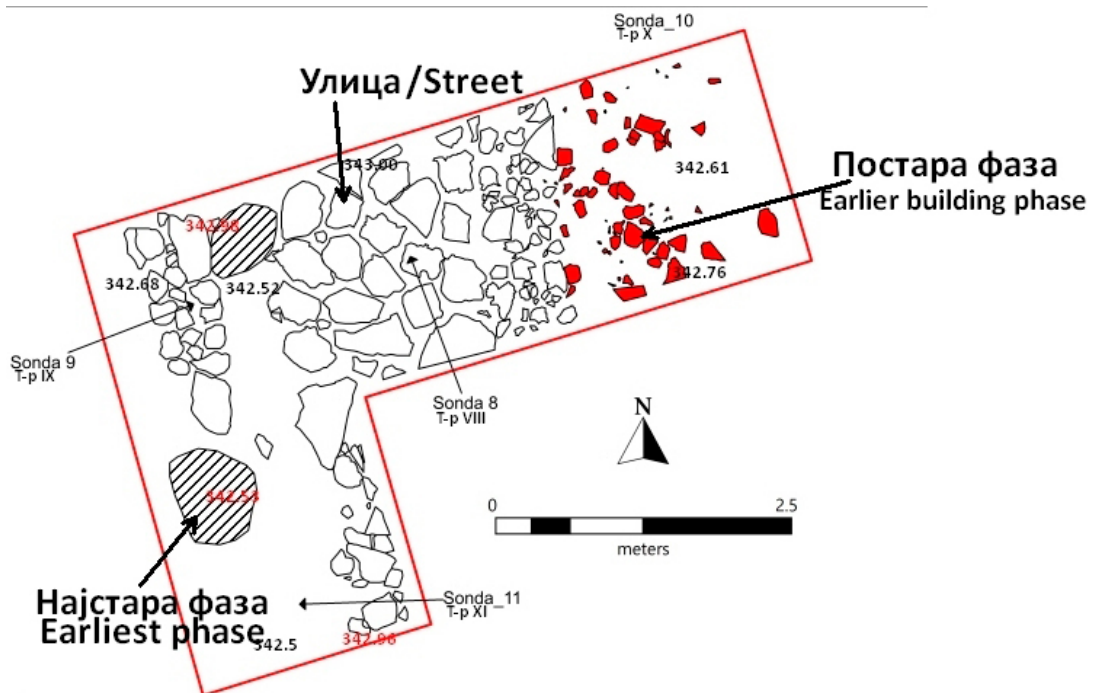


Figure 19/Слика 19: A plan of the remains in trenches VIII-XI/
План на недвижните наоди од сондите VIII-XI

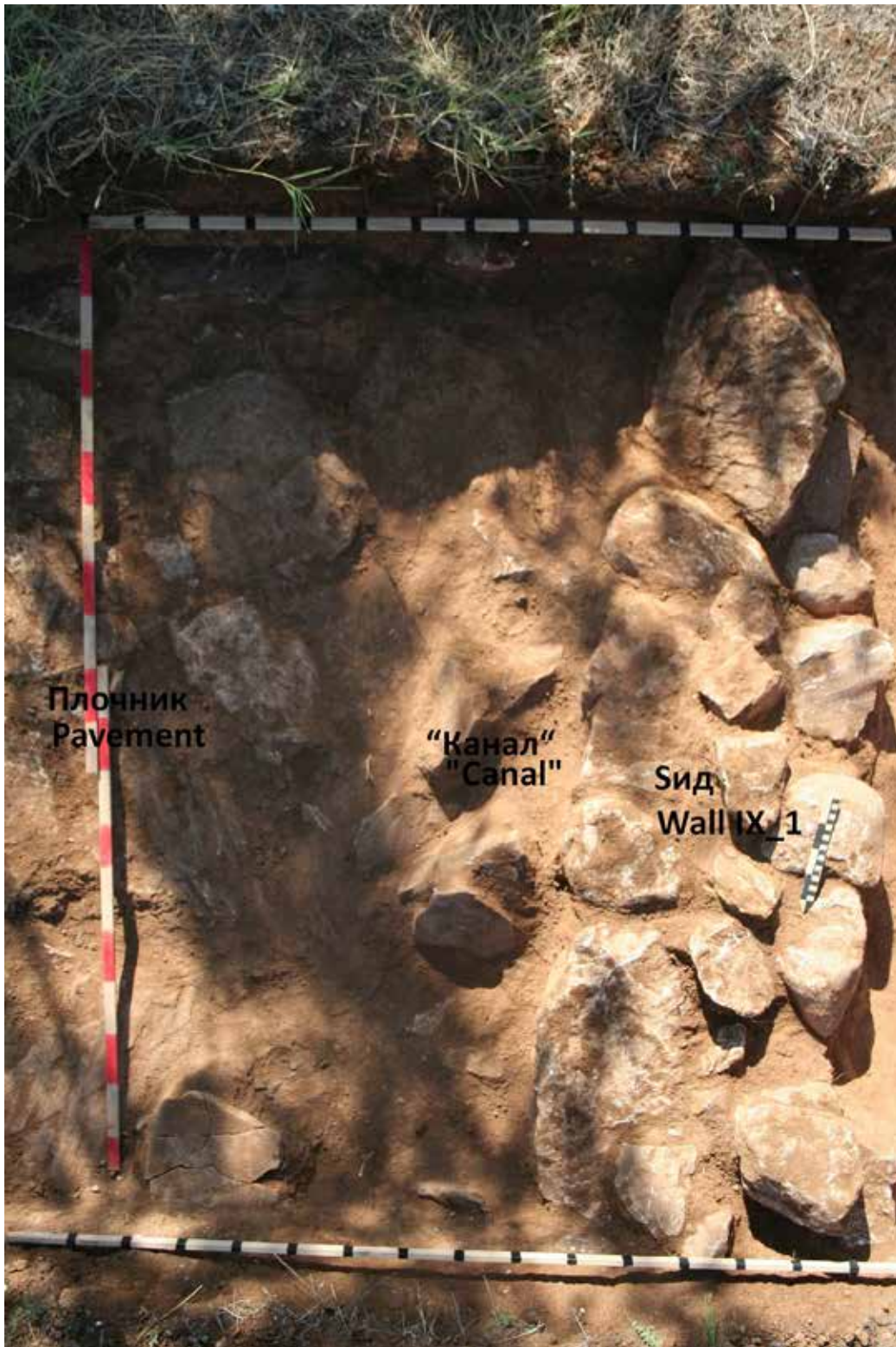


Figure 20/Слика 20: Trench IX, a rectified photograph of the architectural remains/
Сонда IX, ортофотографија од архитектонските остатоци



Figure 21/Слика 21: The situation in trenches VIII and X/ Ситуација во сондите VIII и X

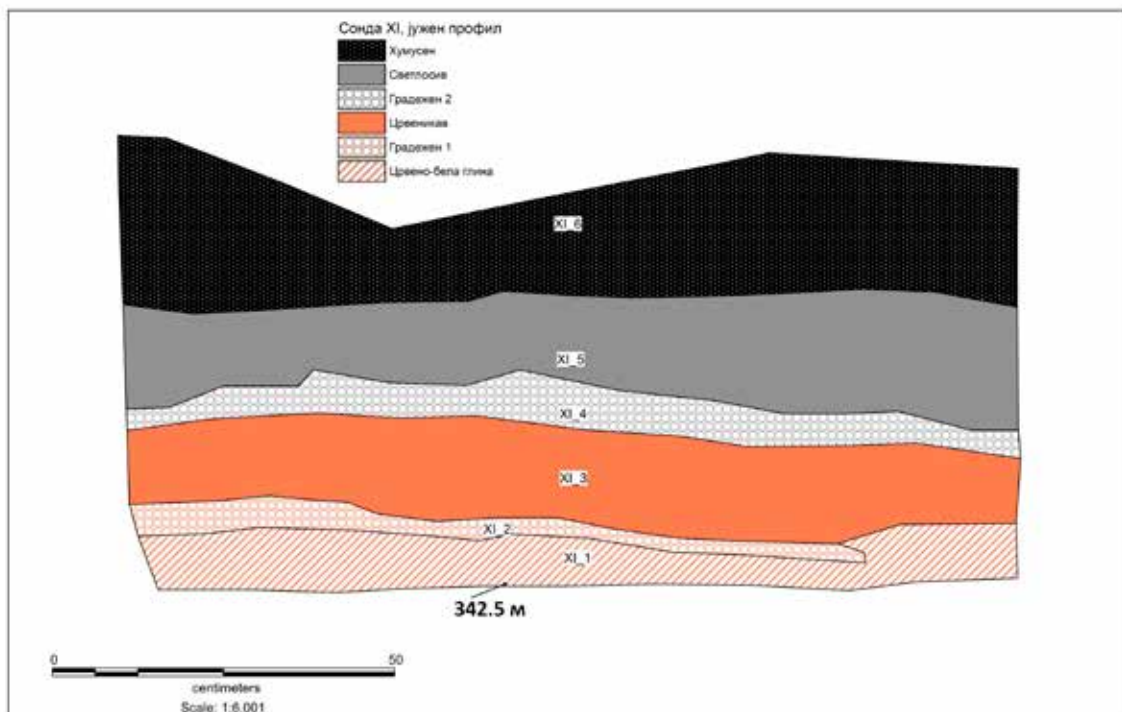


Figure 22/Слика 22: Trench XI, a drawing of the south profile/Сонда XI, скица на јужниот профил

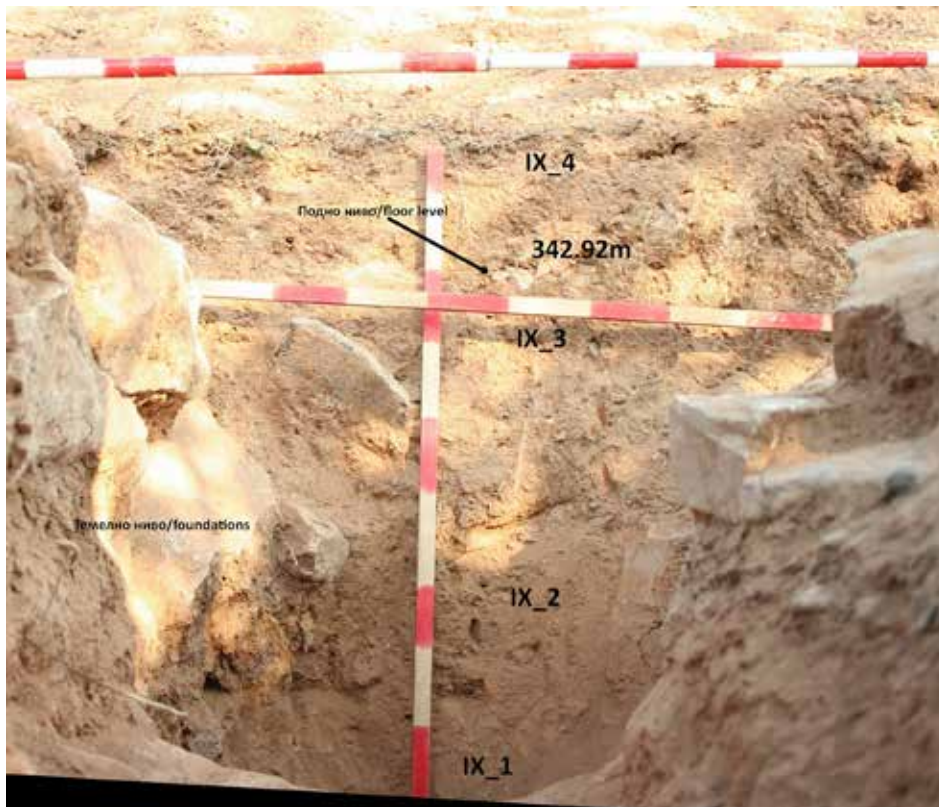


Figure 23/Слика 23: Trench IX, a cross-section of the pit/Сонда IX, пресек на јамата

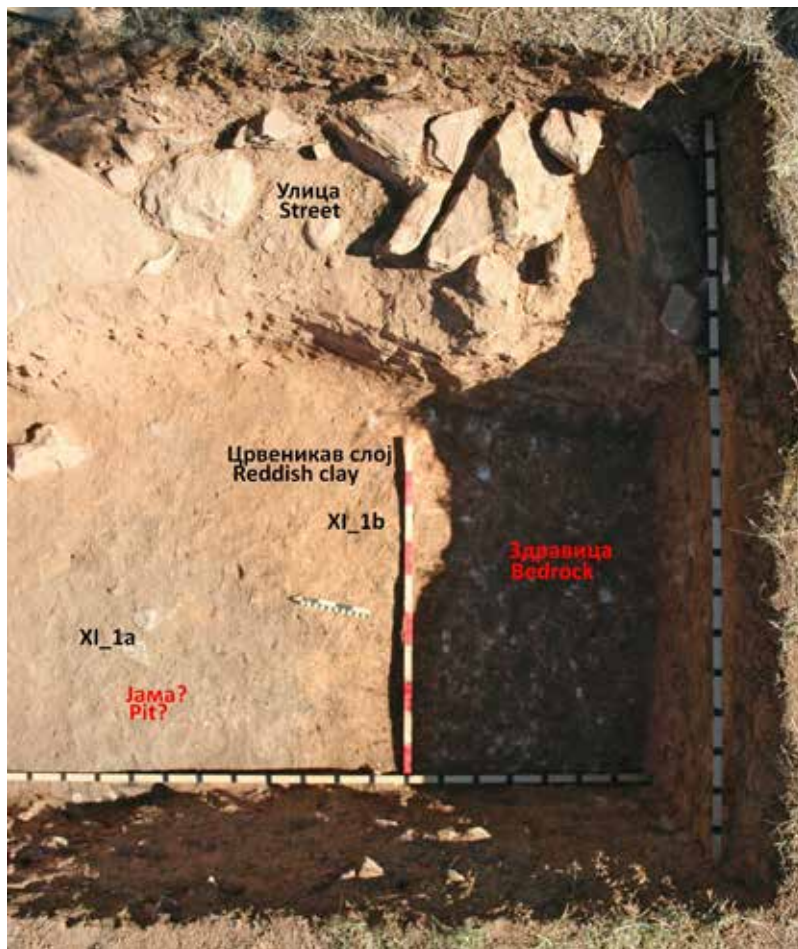


Figure 24/Слика 24: Trench XI, a rectified photograph of the remains of the earliest phase/ Сонда XI, ортофото од основата на најстариот слој

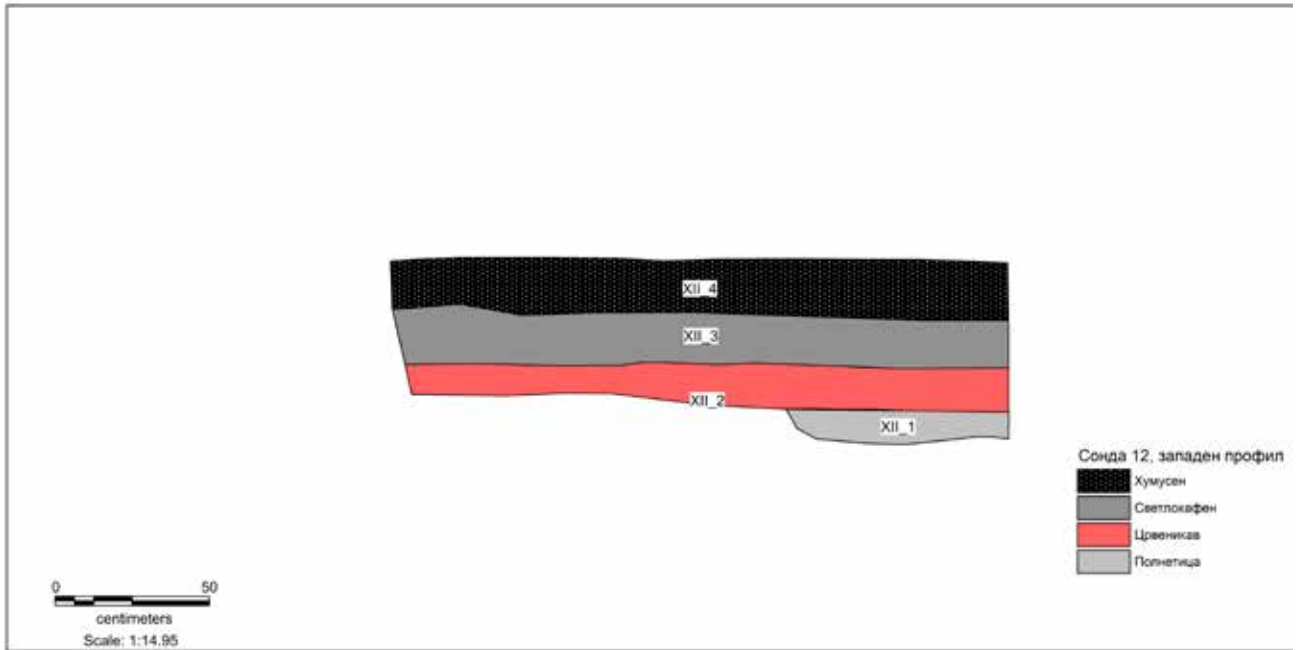


Figure 25/Слика 25: Trench XII, a drawing of the west profile/Сонда XII, скица на западниот профил



Figure 26/Слика 26: The situation in trenches XIII and XIV/Ситуацијата во сондите XIII и XIV